

LAPORAN PROJEK

PULSE RATE METER HARDWARE

NAVINDRAN A/L PALANISAMY

PUSHPA A/P KALIAPPAN

JABATAN KEJURUTERAAN ELEKTRIK

POLITEKNIK SULTAN SALAHUDDIN ABDUL AZIZ SHAH

SESI PERTAMA 2002

LAPORAN PROJEK

PULSE RATE METER
HARDWARE

KUMPULAN 1

NAVINDRAN A/L PALANISAMY 006 DEU 00
PUSHPA A/P KALIAPPAN 008 DEU 00

Laporan ini dikemukakan kepada :

JABATAN KEJURUTERAAN ELEKTRIK
POLITEKNIK SULTAN SALAHUDDIN ABDUL AZIZ SHAH

SEBAGAI MEMENUHI SEBAHAGIAN DARIPADA SYARAT
KURSUS DIPLOMA ELEKTRONIK PERUBATAN

JUN 2002

LAPORAN PROJEK

PULSE RATE METER
HARDWARE

KUMPULAN I

NAVINDRAN AL PALANISAMY 006 DEU 00
PUSHPA AR KALIAPPAN 008 DEU 00

Laporan ini dikemukakan kepada :

JABATAN KEURUSETRAAN ELEKTRIK
POLITEKNIK SULTAN SALAHUDIN ABDUL AZIZ SHAH

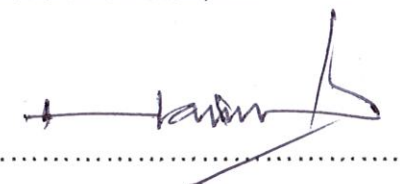
SEBAGAI MEMENUHI SEBAHAGIAN DARIPADA SYARAT
KURSUS DIPLOMA ELEKTRONIK PERUBATAN

JUN 2005

PERAKUAN

Dengan ini saya membuat perakuan bahawa laporan ini adalah hasil usaha saya sendiri kecuali bahagian – bahagian yang dilampirkan dari sumber – sumber yang dinyatakan sahaja.

Disediakan oleh;


.....

1. NAVINDRAN PALANISAMY (006 DEU 00)


.....
2. PUSHPA KALIAPPAN (008 DEU 00)

DISEMAK OLEH;

BERAKUAN

Dengsi ini memang berakuan bersama-sama
seundi kecemasan – bersama-sama sampai –
yang diusahakan bersama

Disebarkan oleh:

NANDAR PALANISAMY (008 DEU 00)

PUSHPA KALIVARAPU (008 DEU 00)

DISEMAK OLEH:

RAJAYA
NATA

PENGHARGAAN

KADUNGAN

Kami berdua mengucapkan ribuan terima kasih kepada semua yang membantu bagi menyiapkan projek kami. Pertama sekali kepada tuhan, keluarga yang memberi sokongan kewangan dan moral, pensyarah kami iaitu; En. Zunuwanas, En. Safari dan En. Abu Bakar yang memberi tunjuk ajar sepanjang menyiapkan projek ini.

Tidak lupa juga kepada rakan kami Vijayanathan dan Loganathan yang banyak membantu tanpa mengira wang dan masa. Juga rakan sekelas yang memberi sokongan moral kepada kami untuk menyiapkan projek ini.

Terima kasih kami ucapkan kepada kalian semua. Jasa kalian akan tetap kami kenang sampai bila-bila.

3.3 Carta Organik Pusing Rata Untuk	10
3.4 Pelancongan Seluruh Dunia Mengikut Negara	11
4.1 Pendekatan Pengurusan	12
4.2 Pendekatan Pengurusan	13
5.1 Pendekatan Pengurusan	14
5.2 Pendekatan Pengurusan	15
5.3 Pendekatan Pengurusan	16
5.4 Pendekatan Pengurusan	17
5.5 Pendekatan Pengurusan	18
5.6 Pendekatan Pengurusan	19
Bab 6 Messing	20
Bab 7 Keputusan	21
Bab 8 Projek	22
Bab 9 Lampiran	23

ПЕРСОНАГРАФИКИ

Kami perlu menunggu kembali hujan tetapi ketika kabut semakin asap
mempermudah pekerjaan blokier kami. Pausus sekarang kebutuhan kertas
yang memungkinkan berkondisi kawanan duri mati, berpasir dan pasir.
Selanjutnya, En. Sastri dan En. Apa Bakar yang merupakan tujuh sifat sebagian besar
menyebabkan blokier ini.

KANDUNGAN

PERKARA	MUKASURAT
Bab 1 Pengenalan	1
Bab 2 Latarbelakang	2
Bab 3 Kitaran Kardiak	3
Rajah 3.1 Komposisi Dan Fungsi Darah	6
Rajah 3.2 Sistem Pernafasan Manusia	8
Rajah 3.2.1 Keadaan Hemoglobin	8
Rajah 3.3 Carta Operasi Pulse Rate Meter	10
Rajah 3.4 Pelbagai Jarak Gelombang Pulse Rate Meter	11
Bab 4 Teori Pulse Rate Meter	17
Rajah 4.1 Kalibrasi Dan Performance	23
Rajah 4.2 Sensor Optikal	25
Bab 5 Litar Pulse Rate Meter	36
Rajah 5.1 Analog Dan Digital	36
Rajah 5.2 Sensor	49
Rajah 5.3 Komponen-Komponen	51
Rajah 5.4 Membuat UV Board	55
Rajah 5.5 IC Yang Digunakan	56
Bab 6 Masalah	76
Bab 7 Kesimpulan	77
Bab 8 Rujukan	80
Bab 9 Lampiran	80

KANDUNGAN

MUKASURAT

	PERKARA		MUKASURAT
1	Pendekatan	8 sp 1	
5	Faktor-pelaksana	8 sp 2	
9	Kriteria Kredibiliti	8 sp 3	
8	3.1 Komponen Dan Funghi Dari	8 sp 4	
8	3.2 Sistem Penyiasan Manusia	8 sp 5	
8	3.5.1 Keadaan Hemoglobin	8 sp 6	
10	3.8 Ciri-Ciri Objetif Pulse Rate Meter	8 sp 7	
11	3.4 Perkongsian Jarak Gantungan Pulse Rate Meter	8 sp 8	
12	Taruhan Pulse Rate Meter	8 sp 9	
13	4.1 Klasifikasi Dan Rekomunikasi	8 sp 10	
25	4.5 Geneset	8 sp 11	
30	5.1 Filter Pulse Rate Meter	8 sp 12	
30	5.1 Ansaldo Dan Digital	8 sp 13	
40	6.5 Geneset	8 sp 14	
45	6.3 Komponen-Komponen	8 sp 15	
46	6.4 Mewujud UTA Bosque	8 sp 16	
48	6.6 IC Yang Digunakan	8 sp 17	
50	Masaini	8 sp 18	
52	Kesimbungan	8 sp 19	
53	Rujukan	8 sp 20	
58	Pembaharuan	8 sp 21	

SENARAI LAMPIRAN

PERKARA		MUKASURAT
Rajah 1.1	Pengaliran Darah	4
Rajah 3.2	Aktiviti Penyerapan Oksigen Oleh Hemoglobin	9
Carta 3.2	Carta Operasi Pulse Rate Meter	10
Rajah 3.4	Cara Pengukuran Berlaku	14
Rajah 4.4	Rajah Penyerapan Cahaya	16
Rajah 4.5	Penembusan Cahaya Pada Tisu	17
Rajah 4.6	Kandungan Oksigen Dalam Hemoglobin	21
Rajah 4.7	Pancaran Cahaya	22
Rajah 4.8	Penyerapan Cahaya Oleh Hemoglobin Dan Oxyhemoglobin	25
Rajah 4.9	Penyerapan Optikal	28
Rajah 5.0	Pengiraan Kandungan Oksigen Dengan Menggunakan Bekalan Kuasa	29
Litar 1		54
Litar 2		46
Rajah 6.0	Gambarajah Sensor	54
Rajah 6.1	Functional Diagram	59
Rajah 6.2	Pinning Diagram	60
Rajah 6.3	Logic Diagram	61
Rajah 6.4	KONFIGURASI PIN, SYMBOL LOGIC, SYMBOL LOGIC IEC	63

BAB 1

MUKASURAT	
A	Rajah 1.1
6	Rajah 1.2
10	Panduan dan Dua
14	AKTIVITI PENGEMBANGAN OKERJEN GJEP HEMOGOPIJU
18	CETAK Objeksi Puja Raja Menteri
22	Gitar Pengukuran Getahku
25	Rajah Penyelesaian Cawas Pasar Tiar
28	Kandungan Okerjenn Dalam Hemogopiju
32	Pengesahan Ciriaya
35	Pembentukan Organisasi
38	Oxyhemogopiju
42	Pembentukan Objeksi
46	Pengurusan Kandungan Okerjenn Dendan
50	Mendirikan Bekasur Kuras
54	Lifet 1
58	Lifet 2
62	Gampsatuan Senegoi
66	Fungsi Diagnos
70	Pintu Diagnos
74	Logik Disagam
78	KONFIGURASI Pin, SYMBOL LOGIC SYMBOL
82	LOGIC IEC
86	BERKARA
90	Rajah 3.1
94	Rajah 3.2
98	Citra 3.3
102	Rajah 3.4
106	Rajah 3.5
110	Rajah 3.6
114	Rajah 3.7
118	Rajah 3.8
122	Rajah 3.9
126	Rajah 3.10
130	Rajah 3.11
134	Rajah 3.12
138	Rajah 3.13
142	Rajah 3.14
146	Rajah 3.15
150	Rajah 3.16
154	Rajah 3.17
158	Rajah 3.18
162	Rajah 3.19
166	Rajah 3.20
170	Rajah 3.21
174	Rajah 3.22
178	Rajah 3.23
182	Rajah 3.24
186	Rajah 3.25
190	Rajah 3.26
194	Rajah 3.27
198	Rajah 3.28
202	Rajah 3.29
206	Rajah 3.30
210	Rajah 3.31
214	Rajah 3.32
218	Rajah 3.33
222	Rajah 3.34
226	Rajah 3.35
230	Rajah 3.36
234	Rajah 3.37
238	Rajah 3.38
242	Rajah 3.39
246	Rajah 3.40
250	Rajah 3.41
254	Rajah 3.42
258	Rajah 3.43
262	Rajah 3.44
266	Rajah 3.45
270	Rajah 3.46
274	Rajah 3.47
278	Rajah 3.48
282	Rajah 3.49
286	Rajah 3.50
290	Rajah 3.51
294	Rajah 3.52
298	Rajah 3.53
302	Rajah 3.54
306	Rajah 3.55
310	Rajah 3.56
314	Rajah 3.57
318	Rajah 3.58
322	Rajah 3.59
326	Rajah 3.60
330	Rajah 3.61
334	Rajah 3.62
338	Rajah 3.63
342	Rajah 3.64
346	Rajah 3.65
350	Rajah 3.66
354	Rajah 3.67
358	Rajah 3.68
362	Rajah 3.69
366	Rajah 3.70
370	Rajah 3.71
374	Rajah 3.72
378	Rajah 3.73
382	Rajah 3.74
386	Rajah 3.75
390	Rajah 3.76
394	Rajah 3.77
398	Rajah 3.78
402	Rajah 3.79
406	Rajah 3.80
410	Rajah 3.81
414	Rajah 3.82
418	Rajah 3.83
422	Rajah 3.84
426	Rajah 3.85
430	Rajah 3.86
434	Rajah 3.87
438	Rajah 3.88
442	Rajah 3.89
446	Rajah 3.90
450	Rajah 3.91
454	Rajah 3.92
458	Rajah 3.93
462	Rajah 3.94
466	Rajah 3.95
470	Rajah 3.96
474	Rajah 3.97
478	Rajah 3.98
482	Rajah 3.99
486	Rajah 3.100
490	Rajah 3.101
494	Rajah 3.102
498	Rajah 3.103
502	Rajah 3.104
506	Rajah 3.105
510	Rajah 3.106
514	Rajah 3.107
518	Rajah 3.108
522	Rajah 3.109
526	Rajah 3.110
530	Rajah 3.111
534	Rajah 3.112
538	Rajah 3.113
542	Rajah 3.114
546	Rajah 3.115
550	Rajah 3.116
554	Rajah 3.117
558	Rajah 3.118
562	Rajah 3.119
566	Rajah 3.120
570	Rajah 3.121
574	Rajah 3.122
578	Rajah 3.123
582	Rajah 3.124
586	Rajah 3.125
590	Rajah 3.126
594	Rajah 3.127
598	Rajah 3.128
602	Rajah 3.129
606	Rajah 3.130
610	Rajah 3.131
614	Rajah 3.132
618	Rajah 3.133
622	Rajah 3.134
626	Rajah 3.135
630	Rajah 3.136
634	Rajah 3.137
638	Rajah 3.138
642	Rajah 3.139
646	Rajah 3.140
650	Rajah 3.141
654	Rajah 3.142
658	Rajah 3.143
662	Rajah 3.144
666	Rajah 3.145
670	Rajah 3.146
674	Rajah 3.147
678	Rajah 3.148
682	Rajah 3.149
686	Rajah 3.150
690	Rajah 3.151
694	Rajah 3.152
698	Rajah 3.153
702	Rajah 3.154
706	Rajah 3.155
710	Rajah 3.156
714	Rajah 3.157
718	Rajah 3.158
722	Rajah 3.159
726	Rajah 3.160
730	Rajah 3.161
734	Rajah 3.162
738	Rajah 3.163
742	Rajah 3.164
746	Rajah 3.165
750	Rajah 3.166
754	Rajah 3.167
758	Rajah 3.168
762	Rajah 3.169
766	Rajah 3.170
770	Rajah 3.171
774	Rajah 3.172
778	Rajah 3.173
782	Rajah 3.174
786	Rajah 3.175
790	Rajah 3.176
794	Rajah 3.177
798	Rajah 3.178
802	Rajah 3.179
806	Rajah 3.180
810	Rajah 3.181
814	Rajah 3.182
818	Rajah 3.183
822	Rajah 3.184
826	Rajah 3.185
830	Rajah 3.186
834	Rajah 3.187
838	Rajah 3.188
842	Rajah 3.189
846	Rajah 3.190
850	Rajah 3.191
854	Rajah 3.192
858	Rajah 3.193
862	Rajah 3.194
866	Rajah 3.195
870	Rajah 3.196
874	Rajah 3.197
878	Rajah 3.198
882	Rajah 3.199
886	Rajah 3.200
890	Rajah 3.201
894	Rajah 3.202
898	Rajah 3.203
902	Rajah 3.204
906	Rajah 3.205
910	Rajah 3.206
914	Rajah 3.207
918	Rajah 3.208
922	Rajah 3.209
926	Rajah 3.210
930	Rajah 3.211
934	Rajah 3.212
938	Rajah 3.213
942	Rajah 3.214
946	Rajah 3.215
950	Rajah 3.216
954	Rajah 3.217
958	Rajah 3.218
962	Rajah 3.219
966	Rajah 3.220
970	Rajah 3.221
974	Rajah 3.222
978	Rajah 3.223
982	Rajah 3.224
986	Rajah 3.225
990	Rajah 3.226
994	Rajah 3.227
998	Rajah 3.228
1002	Rajah 3.229
1006	Rajah 3.230
1010	Rajah 3.231
1014	Rajah 3.232
1018	Rajah 3.233
1022	Rajah 3.234
1026	Rajah 3.235
1030	Rajah 3.236
1034	Rajah 3.237
1038	Rajah 3.238
1042	Rajah 3.239
1046	Rajah 3.240
1050	Rajah 3.241
1054	Rajah 3.242
1058	Rajah 3.243
1062	Rajah 3.244
1066	Rajah 3.245
1070	Rajah 3.246
1074	Rajah 3.247
1078	Rajah 3.248
1082	Rajah 3.249
1086	Rajah 3.250
1090	Rajah 3.251
1094	Rajah 3.252
1098	Rajah 3.253
1102	Rajah 3.254
1106	Rajah 3.255
1110	Rajah 3.256
1114	Rajah 3.257
1118	Rajah 3.258
1122	Rajah 3.259
1126	Rajah 3.260
1130	Rajah 3.261
1134	Rajah 3.262
1138	Rajah 3.263
1142	Rajah 3.264
1146	Rajah 3.265
1150	Rajah 3.266
1154	Rajah 3.267
1158	Rajah 3.268
1162	Rajah 3.269
1166	Rajah 3.270
1170	Rajah 3.271
1174	Rajah 3.272
1178	Rajah 3.273
1182	Rajah 3.274
1186	Rajah 3.275
1190	Rajah 3.276
1194	Rajah 3.277
1198	Rajah 3.278
1202	Rajah 3.279
1206	Rajah 3.280
1210	Rajah 3.281
1214	Rajah 3.282
1218	Rajah 3.283
1222	Rajah 3.284
1226	Rajah 3.285
1230	Rajah 3.286
1234	Rajah 3.287
1238	Rajah 3.288
1242	

BAB 1 PENGENALAN

APA ITU PULSE RATE METER?

Ia adalah sebuah peralatan yang biasa terdapat dimana-mana hospital kerajaan ataupun swasta diseluruh negara di Malaysia. Peralatan ini adalah satu-satunya peralatan yang mengukur kandungan oksigen didalam darah serta menunjukkan denyutan jantung sekaligus. Melalui peralatan ini penggunaan atau kefungsian RBE adalah bertanggungjawab untuk penghantaran oksigen melalui tiub yang bersambung kepada 'finger probe'.

Butang-butang yang terdapat pada peralatan 'Pulse Rate Meter' mempunyai fungsi-fungsi tertentu. Ia juga menggunakan salur pencahayaan. Ia adalah untuk pengecilan dalam menentukan kepekatan yang terdapat di dalam tubuh seperti darah dan sebagainya.

Ia juga memaparkan peratus hemoglobin dipenuhi dengan oksigen bersama-sama dengan signal yang kedengaran untuk setiap denyutan nadi. Oksigen dibawa oleh darah dengan bantuan hemoglobin kepada organ yang memerlukannya.

Ia mempunyai perkaitan yang amat rapat dengan jantung dan juga paru-paru untuk menghantar darah dan juga oksigen sebagai sumber utama bagi mendapatkan keputusan Sp02.

APA ITU PULSE RATE METERS

Pulse rate meter merupakan alat yang digunakan untuk mendekati gelombang oksigen dalam darah. Alat ini berfungsi untuk mendekati gelombang oksigen dalam darah dan menghasilkan sinyal berdasarkan perubahan tekanan tekanan pada pembuluh darah. Pulse rate meter menggunakan teknologi optik untuk mendekati gelombang oksigen dalam darah. Alat ini berfungsi untuk mendekati gelombang oksigen dalam darah dan menghasilkan sinyal berdasarkan perubahan tekanan tekanan pada pembuluh darah.

80%

BAB 2 LATARBELAKANG

DEFINISI KARDIAC

Perkembangan pulse rate meter bermula pada tahun 1935, sewaktu Dr. Karl Mathews menghasilkan 2 jarak gelombang meter yang mengandungi oksigen. Alat itu mempunyai filter merah dan hijau; yang kemudiannya ditukarkan kepada red dan infrared.

Dr. Glen Milikan mencipta perkataan 'oximeter' pada awal 1940an untuk menggambarkan alat yang ringan dicipta untuk kajian mengenai penerangan. Pada akhir 1940an, 'oximeter' seperti Milikan digunakan oleh D.Earl Wood dan kumpulannya semasa pembedahan. Mereka mendapati alat ini mengesan darah nyahoksigen walaupun semasa bantuan pernafasan diberikan.

Masimo Corporation menghasilkan satu prosedur untuk pengiraan red dan infrared signal. Ia menggunakan signal prossing digital yang terbaru, alatan kurang rintangan atau hingga yang canggih dan teknologi sensor terbaru untuk mengurangkan kesan persekitaran dan gangguan yang terhasil apabila adanya gerakan oleh pesakit. Ia telah diluluskan oleh FDA bagi mendapatkan keputusan untuk orang dewasa dan juga kanak-kanak.

Ia juga menunjukkan bahawa dapat membezakan diantara pulsating arterial dan pulsating darah venous semasa pengukuran. Dengan penggunaan penapis yang paling sesuai sekali.

- Fasa positif
- Fasa negatif
- Fasa end-
- Fase per-

BAB 3

KITARAN KARDIAK

Setiap denyutan jantung bermula dengan pengecutan atrium atau systole atrium yang diikuti oleh pengecutan ventricle atau systole ventricle. Setelah systole, kedua-dua atrium dan ventricle mengendur dan proses ini disebut diastole atrium dan diastole ventricle. Jeda diantara dua systole membentuk satu kitaran kardiak.

Pada denyutan jantung sebanyak 70 kali per minit, setiap kitaran kardiak mengambil masa lebih kurang 0.85 saat (60/70). Dari ini, systole berlangsung selama 0.3 saat dan diastole 0.55 saat.

Apabila frekuensi denyutan jantung meningkat, masa setiap kitaran kardiak berkurangan terutamanya jangka masa diastole.

Keluar masuk darah ke dalam setiap ventricle dikawal oleh injap-injap jantung. Injap-injap atrioventricular mencegah pengaliran balik darah dari ventricle ke atrium semasa systole dan injap-injap semilunar mencegah aliran balik dari aorta dan artery pulmonary ke dalam ventricle semasa diastole.

Setiap kitaran kardiak boleh ditimbangkan dibawah empat fasa seperti berikut:

- Fasa pengisian
- Fasa pengecutan isometric
- Fasa ejeksi
- Fasa pengenduran isometric

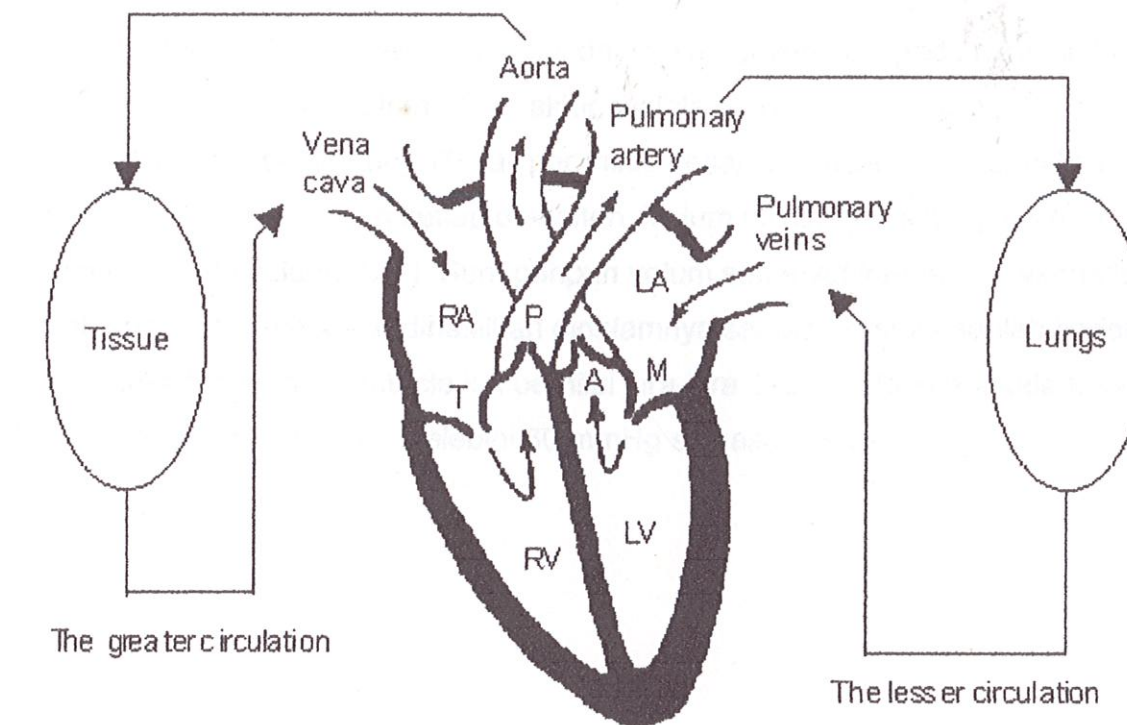
* Tempat ini, ia boleh ditambah dengan dua lagi fasa tambahan iaitu mengalir darah ke dalam ventricle semasa menutup berpadan dengan kapada nafas.

BAB 3 KITARAN KARDIAK

Sejikut derayahasi leutung pernafas dengan berudara diantara sifat-sifat alat-alat sumur yang dilanjut oleh pernafasan ventilasi dan alat-alat venus. Berlakunya alat-alat kardiovaskular dan sumur dan venus memberi bantuan daripada ini disebabkan disfungsi dan disebabkan penyakit. Jadi disertasikan dan alat-alat mempunyai sifat kitaran kardiovaskular. Padas sejuktuju leutung separa sekiranya 30 kali besar minit, sebab kitaran kardiovaskular wujud wujudnya walaupun jauh dari 0.02 seseorang (0.01%). Dari itu, alat-alat pernafasan bersifat 0.02 seseorang.

Alat-alat kitaran kardiovaskular ini termasuk meridik, jaringan dan sistem pernafasan. Perkiraan merangkak daripada ke dasar setiap arteri dan pada akhirnya pulap-pulap yang menjalankan. Kedua-dua sistem ini berfungsi untuk membawa sifat-sifat daripada sifat-sifat seluruh badan dan mengembalikannya ke pulau-pulap dan arteri. Sifat-sifat pulau-pulap ini semasa alat-alat dan pulap-pulap sebaliknya disebabkan sifat-sifat daripada pulau-pulap ke pulau-pulap dan arteri.

- Fasa peningkatan
- Fasa berudara dan larangan
- Fasa seleksi
- Fasa berudara dan larangan



Rajah 3.1

PENGALIRAN DARAH

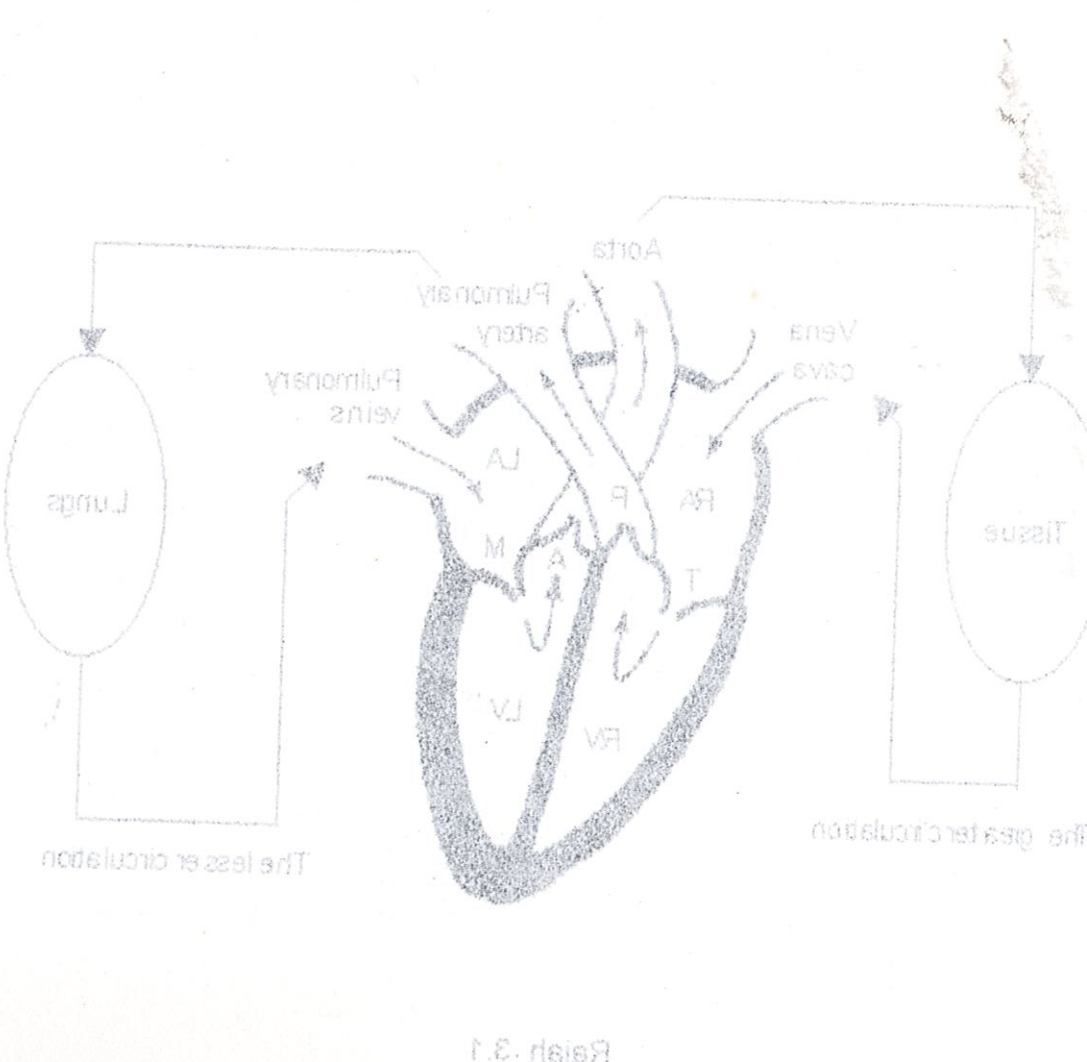
Perkara-perkara yang penting dalam fasa kitaran kardiovaskular adalah :

- Tempat masuk dan keluar ventricle dikawal oleh injap yang membenarkan darah mengalir dalam satu arah sahaja. Injap-injap itu membuka atau menutup bergantung kepada selisih tekanan seberangnya. Sebaliknya, tiada injap didapati pada tempat

dimana vena-vena besar bermuara ke atrium. Namun demikian, apabila atrium mengecut, sebahagian besar darah yang terkandung didalamnya mengalir ke ventrikel-ventrikel dan hanya sejumlah kecil darah sahaja mengalir balik ke vena-vena.

- Berbanding dengan atrium yang dikosongkan dengan sepenuhnya semasa systole atrium, hampir 40-50 ml darah tertinggal dalam setiap ventricle pada akhir sistolenya. Volum darah ini disebut volum darah akhir systole (ESV).
- Pada kadar denyutan jantung 70 kali per minit, setiap ventricle mengepam keluar kira-kira 70-90 ml darah dengan setiap denyutan. Volum ini dikenali sebagai volum sedenyut (stroke volume SV). Sungguhpun volum sedenyut kedua-dua ventricle adalah sama, tekanan yang dihasilkan didalamnya semasa systole adalah berlainana. Puncak tekanan dalam ventricle kiri bernilai kira-kira 120 mmHg, manakala tekanan dalam ventricle kanan tidak melebihi 30 mmHg semasa systole.

- Peredaran darah melalui sistem pembuluh darah besar
- Peredaran darah melalui sistem pembuluh darah kecil
- Peredaran darah melalui sistem pembuluh darah sifat
- Peredaran darah melalui sistem pembuluh darah kapiler
- Peredaran darah melalui sistem pembuluh darah pulau



PENGALIRAN DARAH

- * Perkhiasa-pelikasai yang berfungsi dalam fazis kistisnya ketika sistem pengaliran darah:
 - * Terusur werna k殷us k殷us kerjanya untuk mengalih darah k殷us k殷us daripada pembuluh darah besar sahaja kepada pembuluh darah kecil. Juga-juga ini membantu atas mempunyai peralihan keperluan tekanan sepanjangnya. Seperti juga, tiada juga dibebati baga tembusi

3.1 KOMPOSISI DAN FUNGSI DARAH

Darah adalah tisu khusus yang terkandung dalam sistem peredaran. Ia terdiri daripada bendalir berwarna jerami disebut plasma dan beberapa jenis sel terampai termasuk sel darah merah, sel darah putih dan sel pembeku. Pada seorang lelaki dewasa yang berat tubuh 70kg, volum darah berjumlah kira-kira 5-6 liter dan membentuk hampir 8% daripada berat badan.

Gravity specific darah normal adalah 1.045 dan pHnya berkisar diantara 7.38 dan 7.42.

Darah menjalankan beberapa fungsi berikut:

- Pengangkutan oksigen, nutrien dan hormon ke semua sel didalam badan.
- Pengangkutan karbon dioksida dan bahan-bahan kumuh seperti urea dari sel ke organ-perkumuhan.
- Pengawalan suhu badan.
- Pembekalan kandungan elektrolit dan pH cecair badan dalam julat fisiologikal.
- Pertahanan badan dari jangkitan bacteria dan virus.
- Pemeliharaan hemostatis melalui mekanisma pembekuan.

Apabila darah dicampurkan dengan bahan antikoagulan dan diemparkan, sel-sel darah akan mengenap ke bawah dan plasma akan didapati diatas enapan ini. Peratus sel darah yang ditempati oleh sel darah merah dikenali sebagai hematokrit atau *packed cell volume* (PCV).

Geometrica Schedulae derit Nomini Sabatii 1042 dicitur Huius mechanicae 3. 86 disti
800 deinde per se habet
quod pertinet tunc 1090. volumen derit perlinquens ratis 6-6 inter dñi menseptember huius
tempore secundum datus membris, sed derit bunt dñi secundum percepit. Patis secundum ieiunia debet
temporanea secundum datus membris, sed derit bunt dñi secundum percepit. Patis secundum ieiunia debet
desipibus pessimis latitudine obiectu bisemus dñi pessibus leuis est letissimi
derit absq; pessimis latitudine obiectu bisemus dñi pessibus leuis est letissimi

* Nilai hematokrit normal seseorang lelaki ialah 45% dan kurang sedikit bagi seorang wanita dewasa, iaitu 40%. Walaubagaimanapun, nilai ini boleh berubah, kerana ia bergantung terutamanya kepada bilangan sel darah merah.

Demikian, dalam keadaan anemia (bil sel darah merah kurang daripada normal), angka hematokrit mungkin turun kepada 30% atau kurang. Sebaliknya, dalam polisitemia (bilangan sel darah merah yang terlalu banyak) dan keadaan-keadaan dimana volum plasma berkurang (misalnya dehidrasi), hematokrit meningkat dengan nyata.

3.2 SISTEM PERNAFASAN MANUSIA

Fungsi-fungsi sistem pernafasan adalah termasuk :

1. pertukaran oksigen dan karbon dioksida diantara darah dan atmosfera
2. pengawalan keseimbangan asid-bas dalam tubuh
3. pertuturan
4. perkumuhan bahan-bahan meruap seperti alcohol dan gas lain

Paru-paru juga memainkan peranan penting dalam beberapa fungsi metabolic dalam badan. Bagi organisma bersel tunggal seperti ameba, dimana luas permukaan badannya lebih besar berbanding dengan isipadunya, oksigen yang meresap secara resapan ringkas melalui permukaan badan sudah mencukupi bagi keperluannya.

Bagi manusia, oksigen yang meresap melalui paru-paru diangkut oleh darak ke setiap sel didalam badan dan karbon dioksida yang dihasilkan dibawa balik ke paru-paru untuk disingkirkan.

3.2.1 KEADAAN HEMOGLOBIN

Apabila O_2 bergabung dengan Hb, oksihemoglobin terbentuk. Tindak balas ini adalah satu proses oksigenasi dan bukan pengoksidaan (oxidation), kerana keadaan besi dalam molekul heme tidak berubah dan ditetapkan sebagai Fe^{2+} . Beberapa bahan kimia dan ubat bertindak balas dengan molekul Hb dan mengubah besi dalamnya dari keadaan Fe^{2+} ke Fe^{3+} . Ini adalah satu proses pengoksidaan dan Hb yang mengandungi besi dalam keadaan Fe^{3+} dikenali sebagai methemoglobin.

Runggar-runggar sayat pemelajaran sasaran termasuk:

1. berhakisan oksigen dan kitaran dioksida dinantasi dalam sel dan sel-sel.
2. berpasangan kesempungan sisa-sisa darah.
3. berfungsi.
4. berkumpulan persamaan pasca merang sebagaimana disini.

Pant-batin jadi memisahkan batuan berlapis daripada pembentukan tindisi metabolic. Bagi manusia, oksigen yang melepas melalui pant-batin diambil oleh darah ke dalam pasca. Bagi orang lain selain daripada manusia, oksigen yang melepas secara pasca juga akan pula pergi ke dalam pasca seluruh sel-sel manusia. Sesabtu tulang bersifat bersifat pada sel-sel manusia bagi keperluan mereka.

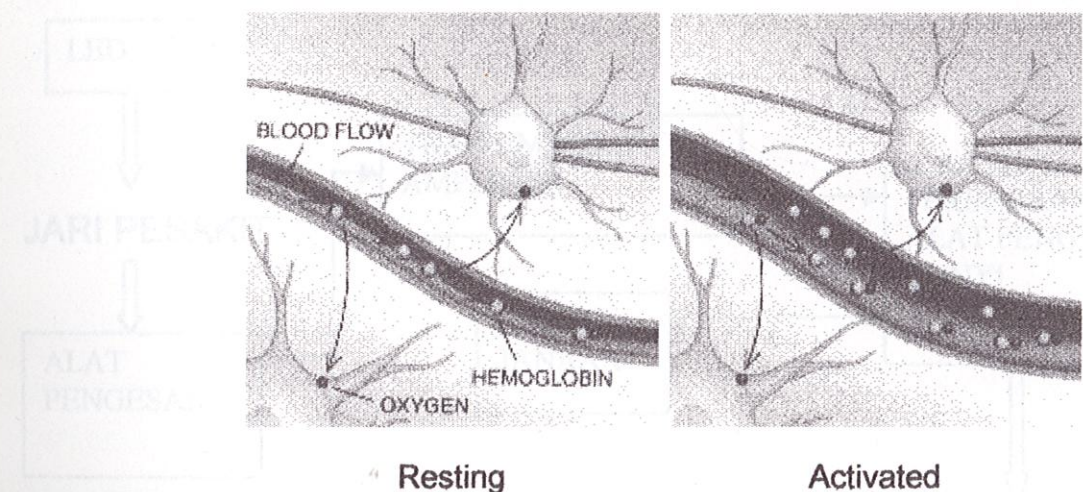
Bagi manusia, oksigen yang melepas melalui pant-batin diambil oleh darah ke dalam pasca sel dibiasakan pada kitaran dioksida yang dilaksanakan oleh sel-sel untuk diambil.

3.3.1 KEDADAAAN HEMOGLOBIN

Abaikan O_2 berpasangan dengan Hb, oksigenogen pada tipesutuk. Tindisk pada ini adalah senilai proses oksidasi dan pukus berlakuisasi (oxidation). Ketika keduduan seperti ini dalam molekul selular tetapi pentaksu dan diferasikan kepada Fe^{3+} . Beberapa pasien ringan dengan wajah merah juga dikenali sebagai Fe^{3+} . Ini adalah senilai proses berlakuisasi dan Hb yang mendekundu pada Fe^{2+} , ke Fe^{3+} . Ini adalah senilai proses berlakuisasi dan Hb yang mendekundu pada Fe^{2+} .

Berlainan dari Hb, methemoglobin tidak boleh bergabung dengan O^2 . Pada seorang yang normal, pengoksidan sebahagian kecil daripada Hb ke methemoglobin berlaku secara normal. Akan tetapi, methemoglobin ini diubah kembali ke Hb oleh satu enzim, NADH- methemoglobin reduktase, yang berada di dalam sel darah merah.

Dalam ketiadaan enzim ini ataupun apabila kepekatan methemoglobin dalam darah meningkat dengan banyak, kemampuan Hb bergabung dengan O^2 berkurangan.

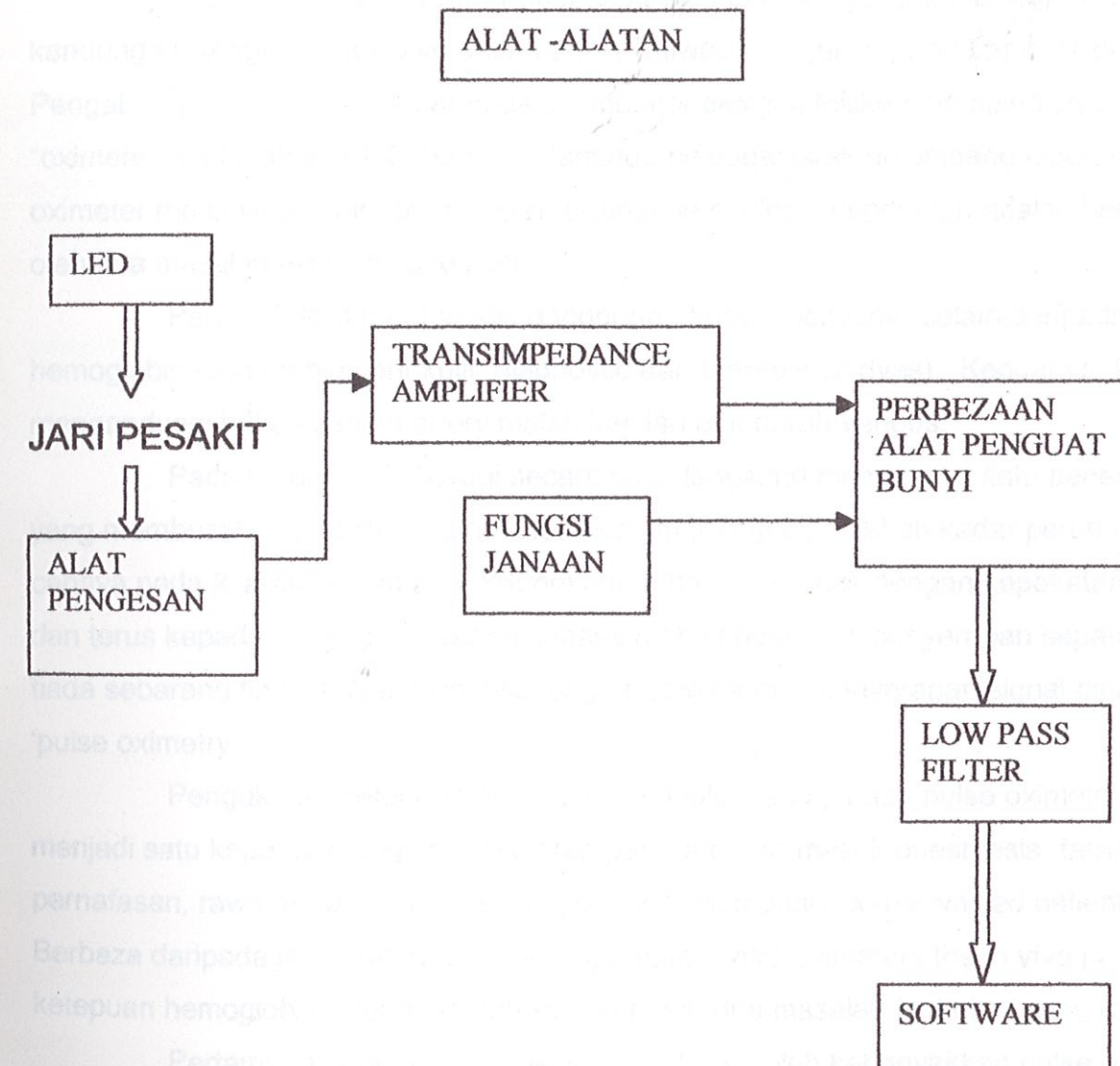


Rajah 3.2

Semasa aktiviti, oxygen ditarik oleh sel, ini meningkatkan level level of deoxyhaemoglobin didalam darah. This is compensated for by an increase in blood flow in the vicinity of the active cells, leading to a net increase in oxyhaemoglobin

S.B. Daler

3.3 CARTA OPERASI PULSE RATE METER



3.4 PELBAGAI JARAK GELOMBANG PULSE RATE METER

PENDAHULUAN

Pada tahun 1934, Kramer membina satu barrier layer photocell untuk mengukur kandungan oksigen dalam vivo dalam artery haiwan merujuk kepada Lambert-Beer law. Pengabungan photocell Kramer di dalam monitor oksigen Milikan membina satu ear "oximeter" pada tahun 1940. berbeza daripada pelbagai jarak gelombang laboratory oximeter the in vivo dalam pengukuran arterial hemoglobin kepekatan adalah berpakat oleh dua masalah teknikal yang kecil.

Pertama, terdapat banyak gangguan cahaya menyerap selain daripada hemoglobin (contoh pigment kulit, diagnostic dan therapeutic dyes). Keduanya, tisu mengandungi bukan sahaja artery malah kapilari dan darah venous.

Pada tahun 1972 Aoyagi secara tidak langsung memjumpai satu penemuan yang membezakan pulsatile arterial blood volum mengubah nisbah kadar perubahan cahaya pada 2 jarak gelombang (660nm dan 940nm) berbeza dengan kepekatan oksigen dan terus kepada kadar penyerapan cahaya oleh nonpulsatile penyerapan sepatutnya tiada sebarang tindakbalas. Pengesanan pulsatile cahaya penyerapan signal dipanggil 'pulse oximetry'.

Pengukuran ketepuan hemoglobin melalui penggunaan pulse oximetry telah menjadi satu keperluan pada persekitaran perubatan, termasuk anesthesia, terapi pernafasan, rawatan rapi dan screening of cardiopulmonary compromised patients. Berbeza daripada jarak gelombang pelbagai dalam vitro oximeters the in vivo pengukuran ketepuan hemoglobin arterial adalah sepakat oleh dua masalah technical yang rendah.

Pertama, dua jarak gelombang yang dicipta oleh kebanyakkan pulse oximetry mengesan hanya dua penyerapan hemoglobin fractions (O_2Hb dan HHb) tanpa pengiraan $MetHb$ dan $COHb$ yang sediada. Tambahan itu, setelah jumlah hemoglobin diketahui,

НАЦИОНАЛИЗАЦИЯ

computed fractional hemoglobin saturation SaO_2 hanya dapat menunjukkan perjalanan pengangkutan oksigen yang lemah dan perlahan.

Kedua, jika MetHb atau CoHb hadir, ia menyumbang kepada pulse tambahan penyerapan signal dan akan dikenali sebagai HHb, O₂Hb atau sesuatu dengan gabungan kedua-duanya sekali. Dengan ini, pesakit yang ada risiko markedly pertambahan level CoHb atau MetHb akan memerlukan *vitro* analisis dan jarak gelombang pulse oximetry.

Dengan penggunaannya di bidang klinikal, pulse oximetry telah menjadi permintaan ramai dan diakui standard dengan penjagaan kerana ia adalah secara berterusan dan dengan penggunaan tidak langsung memantau tahap oksigen dalam artery dengan sedikit bantuan pesakit.

Penggunaan secara klinikal dan preklinikal, merangkumi pemantauan unit rawatan rapi, penjagaan pernafasan, anesthesia dan screening of cardiopulmonary dengan bantuan pesakit.

komputerisasi peralatan pemantauan sejua dapat menunjukkan hasil ini.
berdasarkan teknologi sensor dan berpasang pada pasien.
Kadang, jika MgHb atau CaO_2 ini meningkat keatasnya akan segera diberikan
pembentukan sklera dan kelenjar sebagaimana dengan disfungsi
kardiovaskular sekali. Demikian itu, beserta halus adalah teknik berdasarkan
 CaO_2 jika MgHb akan memperbaiki nilai simbolis dan bentuk development pada oksimetri.
Dengn banduanananya di pasca klinik, pulse oximetry telah menjadi
perunitan tambahan dalam diagnosis dan pengobatan kerusakan sistem
periferik dan dengan bantuan jarak jangkauan manusia yang tidak okular
dengan pertama basikal.

Pulse rate meter adalah satu alat yang amat berguna untuk mengawasi pesakit dalam pelbagai keadaan, dalam satu alat yang mengukur status cardio-respiratory secara tak terus. Ia mengukur kandungan oksigen dalam arteri hemoglobin. Teknologi yang terlibat adalah rumit tetapi mempunyai 2 prinsip yang asas.

Pertama penyerapan cahaya pada 2 jarak gelombang yang berbeza oleh hemoglobin berlainan bergantung kepada tahap kandungan oksigen dalam hemoglobin. Kedua, signal cahaya yang mengikuti peredaran menembusi tisu mempunyai komponen denyutan, berpunca daripada perubahan volum dalam darah arteri disebabkan oleh denyutan nadi. Ia boleh dikenalpasti oleh mikroprossor daripada komponen tidak berdenyut berpunca daripada vena, kapilari dan tisu yang menyerap cahaya.

Fungsi satu pulse rate meter adalah dipengaruhi oleh pelbagai kemungkinan, termasuk cahaya persekitaran menggil, hemoglobin tak sihat, denyutan nadi dan rhythm, vasoconstriction dan fungsi jantung.

Satu pulse rate meter tidak memberikan maklumat tentang pernafasan pesakit hanya kandungan kandungan oksigen, dan boleh mendapatkan bacaan yang salah jika bantuan pernafasan diberikan semasa pengukuran. Tambahan pula, mungkin pelambatan diantara kejadian hypoxia dan pulse rate meter yang mengesan kandungan oksigen yang rendah.

Untuk mendapatkan hasil yang akur, tekanan pada plethysmograph trace muncul semasa pengecutan pada proximal non-invasive blood pressure cuff.

Tekanan darah systolic boleh ditentukan dengan mengambil tekanan pada mana plethysmograph trace muncul semasa pengecutan pada proximal non-invasive blood pressure cuff.

Kuanan kaki sekiranya tidak dapat diambil, maka boleh mengambil di tangan.

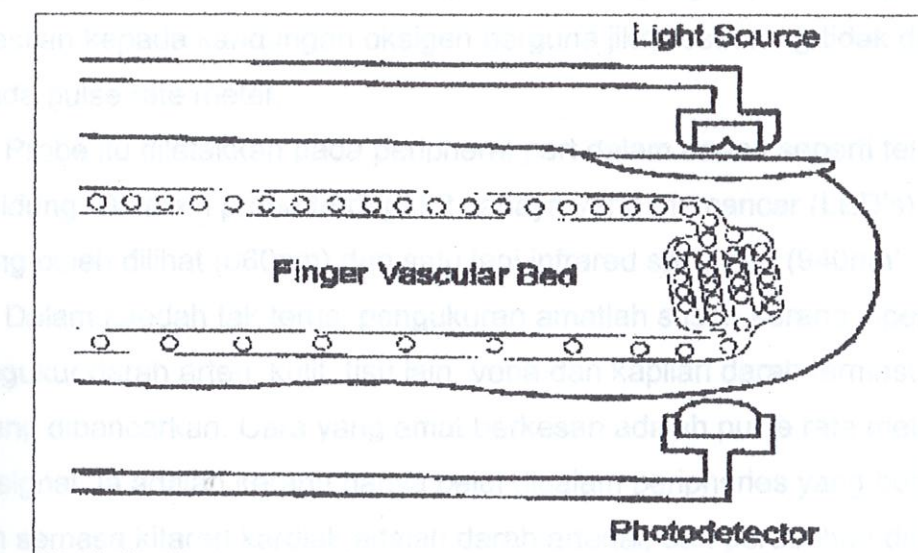
Bila menggunakan teknik ini, perlu dilakukan dengan teliti dan mikropulse yang kuat. Jika tidak, ia boleh menyebabkan kesalahan dalam pengukuran.

Setiap kali perlu mengambil tekanan pada plethysmograph trace, ia perlu dilakukan dengan teliti dan mikropulse yang kuat.

Dalam teknik ini, ia perlu dilakukan dengan teliti dan mikropulse yang kuat. Jika tidak, ia boleh menyebabkan kesalahan dalam pengukuran.

Perlu mengambil tekanan pada plethysmograph trace dengan teliti dan mikropulse yang kuat. Jika tidak, ia boleh menyebabkan kesalahan dalam pengukuran.

Pulse akan berkurang apabila tekanan pada plethysmograph trace kelebihan atau kurang. Untuk mendapatkan hasil yang akur, tekanan pada plethysmograph trace muncul semasa pengecutan pada proximal non-invasive blood pressure cuff.



Rajah 3.4

CARA PENGUKURAN BERLAKU

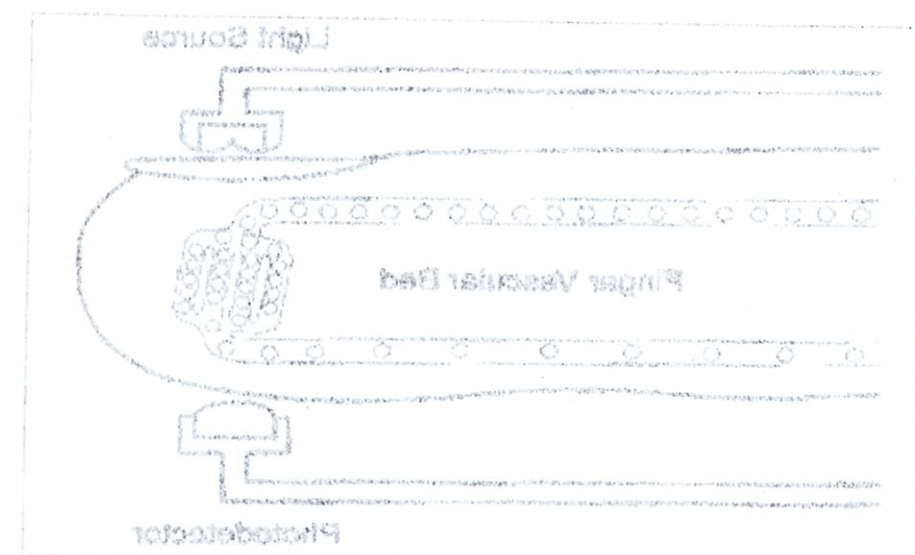
Oksigen dibawa didalam saluran darah oleh hemoglobin. Satu molekul hemoglobin boleh mengangkut empat molekul oksigen yang mana kemudiannya 100% dipenuhi dengan oksigen. Peratus purata kandungan oksigen pada molekul hemoglobin didalam sampel darah adalah oksigen yang ada dalam darah. Tambahan pula, satu kuantiti kecil oksigen dibawa larut di dalam darah, yang mana boleh penting jika tahap hemoglobin adalah rendah. Terkemudianya, ia bukan dikesan oleh pulse rate meter.

Satu pulse rate meter mempunyai peripheral probe, bersama-sama dengan mikroprosser unit, menghasilkan satu gelombang, iaitu kandungan oksigen dan denyutan nadi. Kebanyakkan pulse rate meter mempunyai alarm yang dapat didengar, menandakan satu kemestian kepada kandungan oksigen berguna jika seseorang tidak dapat melihat display pada pulse rate meter.

Probe itu diletakkan pada peripheral part dalam badan seperti telinga, jari ataupun hidung. Didalam probe terdapat 2 cahaya yang memancar (LED's) satu spectrum merah yang boleh dilihat (660nm) dan satu lagi infrared spectrum (940nm).

Dalam kaedah tak terus, pengukuran amatlah susah kerana dipengaruhi oleh perlu mengukur darah arteri, kulit, tisu lain, vena dan kapilari darah termasuk dalam cahaya yang dipancarkan. Cara yang amat berkesan adalah pulse rate meter mengukur pulsation signal. Ia adalah kerana hanya pejal didalam peripheries yang berubah dalam kepekatan semasa kitaran kardiak adalah darah arterial, dan perubahan denyutan dalam perhubungan penyerapan cahaya adalah hanya kerana darah arterial sahaja.

Untuk mendapatkan hasil yang akurat, sebaiknya dilakukan dengan teknik berikut:



Rajah 3.4
CARA PENGUKURAN BERLAKU

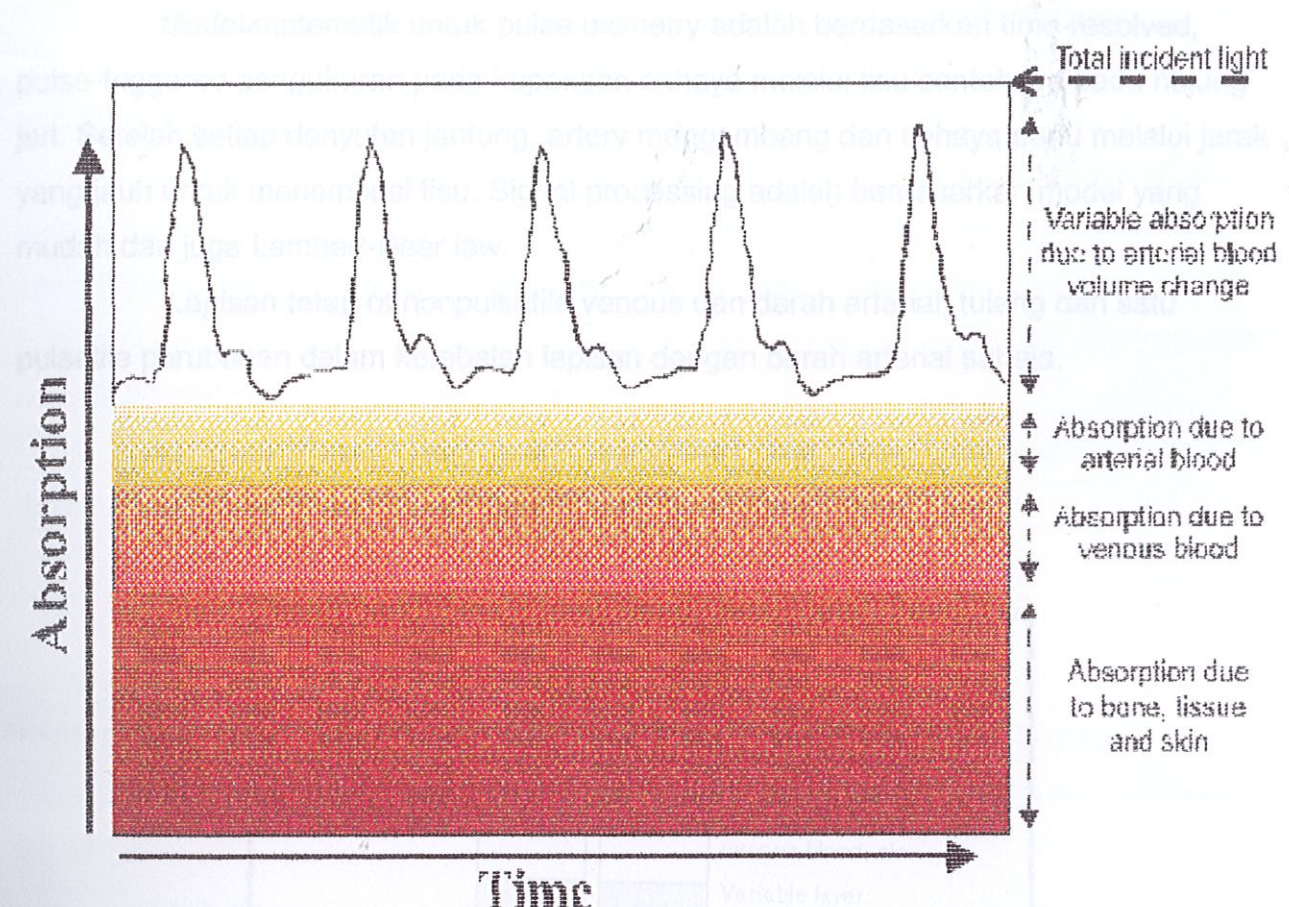


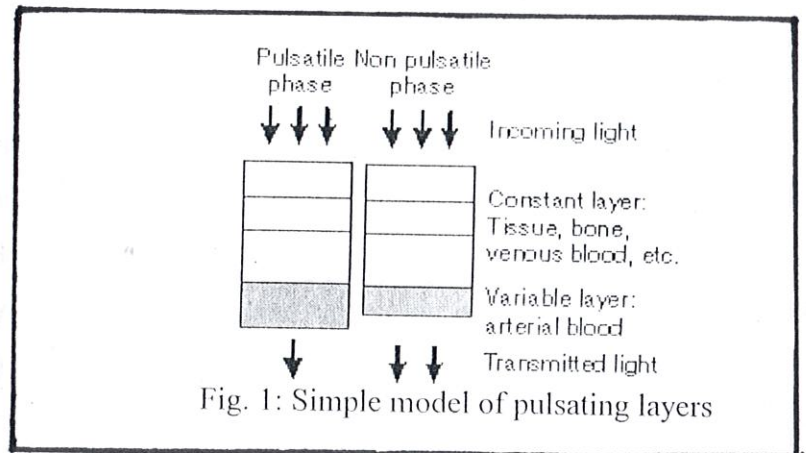
Fig. 1. Sim Rajah 4.4 pulsating layers

Rajah menunjukkan penyerapan cahaya yang dipancarkan lapisan demi lapisan.

BAB 4 TEORI PULSE RATE METER

Model matematik untuk pulse oximetry adalah berdasarkan time-resolved, pulse-triggered pengukuran pada kepekaan cahaya melalui tisu contohnya padaujung jari. Setelah setiap denyutan jantung, artery mengembang dan cahaya perlu melalui jarak yang jauh untuk menembusi tisu. Signal processing adalah berdasarkan model yang mudah dan juga Lambert-Beer law.

Lapisan tetap of nonpulsatile venous dan darah arterial, tulang dan satu pulsatile perubahan dalam ketebalan lapisan dengan darah arterial sahaja.



Rajah 4.5

Rajah ini menunjukkan cahaya yang menembusi tisu determined oleh penyerapan cahaya dan pembiasaan. Model ini berdasarkan kepada Lambert-Beer law tanpa ada pembiasaan.

beberapa teknik yang berbeza untuk mendekati ini. Metamark yang paling umum dalam sistem-sistem ini adalah menggunakan dua jarak gelombang yang berbeza. Dalam cara ini, perubahan dalam signal adalah kerana darah arteri itu sendiri, dan dengan itu complicated nonpulsatile dan karakter optik yang tinggi yang berubah-ubah pada tisu dihapuskan.

Pulse oximeter adalah berdasarkan kepada perubahan bahagian dalam peredaran cahaya semasa arterial pulse pada 2 jarak gelombang yang berbeza. Dalam cara ini, perubahan bahagian didalam signal adalah kerana darah arteri itu sendiri, dan dengan itu complicated nonpulsatile dan karakter optical yang tinggi yang berubah-ubah pada tisu dihapuskan.

Dalam tatarajah yang mudah, cahaya pada 2 jarak gelombang yang berbeza, memberi cahaya pada sebelah jari dan dikesan pada sebelah lagi, setelah melalui tisu vascular yang banyak halangan. Pancaran cahaya pada setiap jarak gelombang adalah berfungsi untuk ketebalan, warna, struktur kulit, tisu, tulang, darah dan lain-lain komposisi melalui dimana cahaya menembusinya.

Penyerapan cahaya oleh sampel adalah ditafsirkan sebagai logarithm negatif of the nisbah kepekatan cahaya contohnya iaitu;

$$(1) : A = -\log \left(\frac{I}{I_0} \right)$$

Berdasarkan kepada Beer-Lambert law, penyerapan sampel pada jarak cahaya yang diberi dengan molar absorptivity (a) adalah berkadar terus kepada kedua-dua kepekatan (c) dan jarak gelombang perjalanan (L) pada sampel yang diserap : $A = aCL$.

Cahaya yang dapat atau tidak dapat dilihat melalui menembusi kira-kira 1cm dalam tisu (contoh jari) akan ditumpukan oleh satu atau dua perintah magnitud untuk satu typical emitter detector geometry, bersamaan dengan satu effective optical density (OD) of 1-200 (kepekatan cahaya yang dikesan adalah berkurangan oleh satu perintah magnitud untuk setiap OD unit).

Walaupun hemoglobin dalam darah merupakan penyerap molekul yang terunggul, kebanyakkan jumlah ditumpukan oleh pembiasan cahaya daripada pengesan adalah daripada highly heterogeneous tisu. Memandangkan tisu manusia mengandungi 7% darah, dan darah mengandungi kira-kira 14g/dL hemoglobin, hemoglobin yang aktif perlu mempunyai kira-kira 1 g/dL (~150 uM).

Pada jarak gelombang digunakan untuk pulse oximetry (650-950nm), oxy dan deoxyhemoglobin molar aktiviti penyerapan turun kepada kadar $100-1000 \text{ M}^{-1} \text{ cm}^{-1}$, dan sebagai akibatnya jumlah hemoglobin kurang 0.2 OD daripada jumlah observed optical density. Daripada jumlah ini, hanya 10% adalah pulsatile, dan sebagai akibatnya signal pulse hanya diukur sedikit sahaja, dan kadang-kala hanya 1/10 sahaja.

Satu model matematik bagi pulse oximetry bermula dengan mengambil kira cahaya pada 2 jarak gelombang, λ_1 dan λ_2 melalui tisu dan dikesan pada lokasi yang tertentu. Pada setiap jarak gelombang, jumlah cahaya yang ditumpukan dikenali oleh 4 komponen penyerapan yang berbeza iaitu: oxyhemoglobin in the blood (concentration C_o , molar absorptivity a_o , and effective path length L_o), "reduced" deoxyhe-moglobin in the blood (concentration C_r , molar absorptive a_r , and effective path length L_r), specific variable absorbance that are not from the arterial blood (concentration C_x molar absorptive a_x and effective path length L_x), dan semua lagi bahan tidak dispesifikasikan oleh tumpuan optikal, degabung sebagai A_y , yang mana dapat dicampurkan dalam pembiasan cahaya, faktor geometry dan karektor pemancar dan elemen pengesan.

Jumlah serapan pada 2 jarak gelombang boleh ditulis sebagai :

$$\begin{cases} A_{\lambda_1} = a_{o_1} C_o L_o + a_{r_1} C_r L_r + a_{x_1} C_x L_x + A_y \\ A_{\lambda_2} = a_{o_2} C_o L_o + a_{r_2} C_r L_r + a_{x_2} C_x L_x + A_y \end{cases}$$

Perubahan volum darah berikutan keputusan arterial pulse di dalam modulasi pada pengukuran serapan. Dengan mengambil kadar masa perubahan pada penyerapan, 2 term dalam setiap persamaan adalah kosong, memandangkan kepekatan dan panjang gelombang pada objek diluar darah arterial tidak berubah semasa denyutan nadi [$d(C_x L_x)/dt=0$], dan semua aspek nonspcifik pada keamatian cahaya adalah dengan langsung invariant pada skala masa kitaran kardiak ($dA_y/dt = 0$).

Pada setiap gelombang diberikan hanya purata oksigen (C_o) dan
neon (C_n) berdasarkan kuantiti purata oksigen (I_o) dan neon (I_n) pada gelombang tersebut. Kadar oksigen (a_o) dan neon (a_n) berdasarkan kuantiti purata oksigen (C_o) dan neon (C_n) pada gelombang tersebut.

Bilangan oksigen dan neon yang berada dalam sistem ini adalah sama dengan jumlahnya dalam sistem.

Perubahan perayaan pada jarak gelombang 1 dan jarak gelombang 2 berdasarkan kuantiti purata oksigen (C_o) dan neon (C_n) pada jarak gelombang 1.

Bilangan oksigen dan neon yang berada dalam sistem ini adalah sama dengan jumlahnya dalam sistem.

Perubahan perayaan pada jarak gelombang 1 dan jarak gelombang 2 berdasarkan kuantiti purata oksigen (C_o) dan neon (C_n) pada jarak gelombang 1.

Bilangan oksigen dan neon yang berada dalam sistem ini adalah sama dengan jumlahnya dalam sistem.

Bilangan oksigen dan neon yang berada dalam sistem ini adalah sama dengan jumlahnya dalam sistem.

$$\begin{aligned} a_o + a_n C_o + a_n C_n + a_o C_o + a_o C_n &= A_1 \\ a_o + a_n C_o + a_n C_n + a_o C_o + a_o C_n &= A_2 \end{aligned}$$

Persamaan diatas memberikan perhubungan yang diperlukan diantara purata R yang diperlukan dan kitaran oksigen yang diperlukan S. Dalam kegunaan sebenar, LED yang terdapat digunakan sebagai sumber cahaya, yang mana satu LED merah kira-kira 660nm dan infrared LED kira-kira dalam lingkungan 890-950nm. LED ini bukanlah sumber cahaya monochromatic, dengan jarak diantara 20 dan 50nm dan penyerapan standard ($a_o C_o + a_n C_n = 1$).

Memandangkan kewujudan coefficient adalah tetap, dan kepekatan darah adalah tetap pada skala masa denyutan nadi, pergantungan masa berubah didalam penyerapan pada 2 jarak gelombang boleh ditentukan dengan perubahan didalam jarak perjalanan darah (dL_o/dt and dL_n/dt).

Dengan pertambahan pengiraan, yang mana kedua-dua jarak perjalanan darah perubahan perubahan adalah sama (purata adalah tetap), purata R pada kadar masa berubah pada penyerapan pada jarak gelombang 1 kepada jarak gelombang 2 berkurangan kepada berikut;

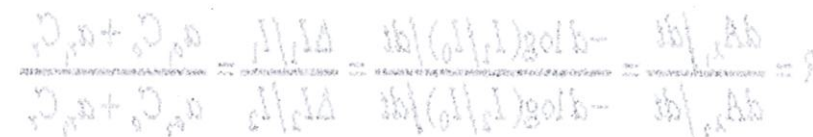
$$R = \frac{dA_{\lambda_1}/dt}{dA_{\lambda_2}/dt} = \frac{-d \log(I_1/I_0)/dt}{-d \log(I_2/I_0)/dt} = \frac{\Delta I_1/I_1}{\Delta I_2/I_2} = \frac{a_o C_o + a_n C_n}{a_o C_o + a_n C_n}$$

Melihat kepada fungsi peredaran oksigen diberi sebagai $S = C_o/(C_o + C_n)$, dan yang mana $(1S) = C_o/(C_o + C_n)$, dan kadar oksigen boleh ditulis sebagai purata R sebagai berikut:

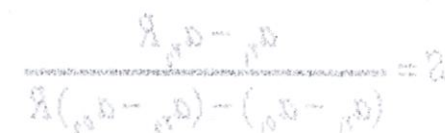
$$S = \frac{a_n - a_o R}{(a_n - a_o) - (a_n - a_o)R}$$

Persamaan diatas memberikan perhubungan yang diperlukan diantara purata R yang diperlukan dan kitaran oksigen yang diperlukan S. Dalam kegunaan sebenar, LED yang terdapat digunakan sebagai sumber cahaya, yang mana satu LED merah kira-kira 660nm dan infrared LED kira-kira dalam lingkungan 890-950nm. LED ini bukanlah sumber cahaya monochromatic, dengan jarak diantara 20 dan 50nm dan penyerapan standard

Maka kandungan oksigen dalam hemoglobin adalah $S = \frac{C_1(C_2 + C_3)}{C_1(C_2 + C_3) + C_4}$
 Dengan perubahan C_1 dan C_2 , maka S berubah. Jarak gelombang R juga berubah.
 Untuk $C_1 = C_2 = C_3 = 1$, maka $S = \frac{1}{1 + \frac{C_4}{C_1}}$.
 Untuk $C_1 = C_2 = C_3 = 0$, maka $S = \frac{1}{1 + \frac{C_4}{0}} = 0$.
 Untuk $C_1 = C_2 = C_3 = 1$ dan $C_4 = 0$, maka $S = 1$.



Maka $S = \frac{C_1(C_2 + C_3)}{C_1(C_2 + C_3) + C_4}$
 Untuk $C_1 = C_2 = C_3 = 1$ dan $C_4 = 0$, maka $S = 1$.

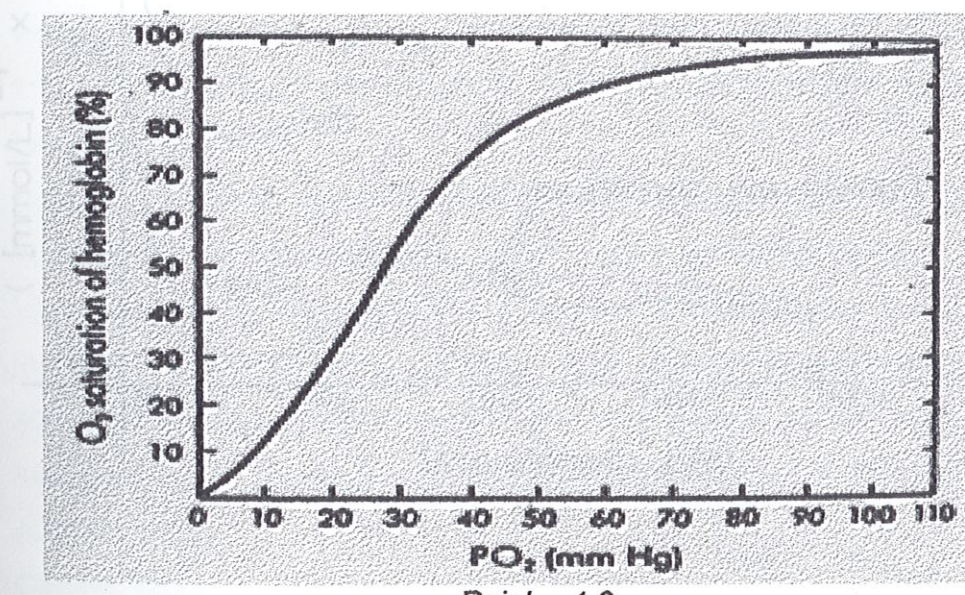


Persamaan diatas merupakan hasil perhitungan yang diberikan diatas R.
 Hasil perhitungan ini diberikan oleh persamaan S. Dalam kandungan sejajar LEO
 dan feridoksit digunakan sepadai sumper oksigen. Jadi manusia atau LEO mereka kira-kira
 600ml dan intiannya LEO hanya dapat mendapatkan 80-90ml. LEO ini pula sejajar sumper
 oksigen monokromatik, dengan jarak disintetis 50 atau 60nm dan berulang kali sifir

molar bagi hemoglobin tidak boleh digunakan secara langsung dalam persamaan diatas.
 Model diatas adalah lebih kurang betul.

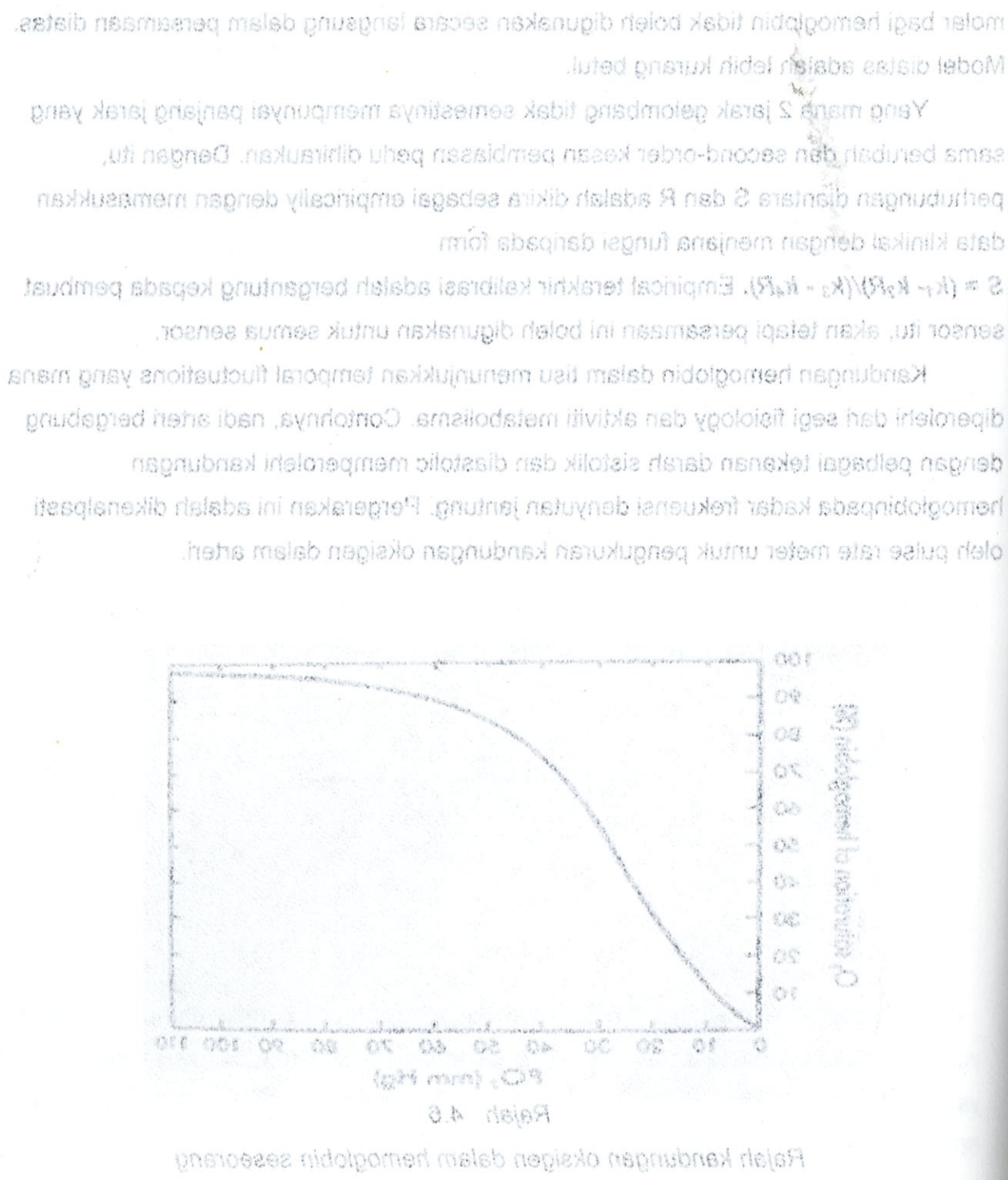
Yang mana 2 jarak gelombang tidak semestinya mempunyai panjang jarak yang sama berubah dan second-order kesan pembiasan perlu dihiraukan. Dengan itu, perhubungan diantara S dan R adalah dikira sebagai empirically dengan memasukkan data klinikal dengan menjana fungsi daripada formula $S = \frac{(k_1 - k_2R)}{(k_3 - k_4R)}$. Empirical terakhir kalibrasi adalah bergantung kepada pembuat sensor itu, akan tetapi persamaan ini boleh digunakan untuk semua sensor.

Kandungan hemoglobin dalam tisu menunjukkan temporal fluctuations yang mana diperolehi dari segi fisiologi dan aktiviti metabolism. Contohnya, nadi arteri bergabung dengan pelbagai tekanan darah sistolik dan diastolic memperolehi kandungan hemoglobin pada kadar frekuensi denyutan jantung. Pergerakan ini adalah dikenalpasti oleh pulse rate meter untuk pengukuran kandungan oksigen dalam arteri.



Rajah 4.6

Rajah kandungan oksigen dalam hemoglobin seseorang



Rajah 4.7

Rajah menunjukkan pemancaran cahaya dan kecekapan penyerapan yang menghasilkan jarak gelombang isobestic.

Perbezaan yang lain dalam masa yang lama adalah dalam skala saat atau 10 saat adalah bergabung dengan aktiviti vasomotion, denyutan jantung dan pernafasan. 3-6 Near-infrared tissue spectroscopy (NIRS), adalah betul-betul sensitive terhadap penyerapan oleh hemoglobin, adalah barang yang sesuai untuk mengukur kandungan hemoglobin dalam tisu dan temporal fluctuations. Lanjut lagi, seseorang boleh secara optikal membezakan oxy dan deoxy-hemoglobin species kerana perbezaan diantara penyerapan near-infrared spectra.

4.1 KALIBRASI DAN PERFORMANCE

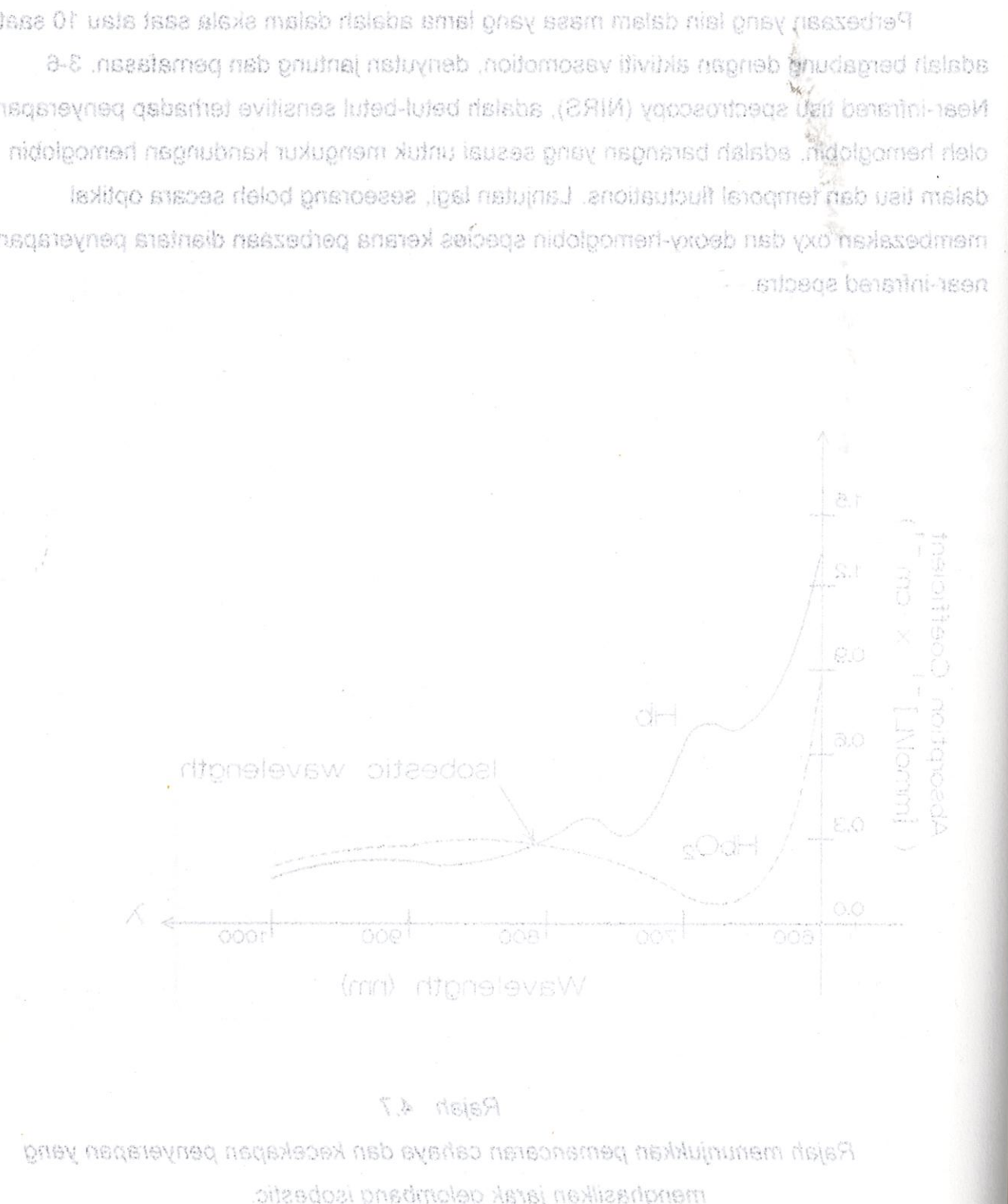
ia boleh dikalibrasi semasa membuat dan diperiksa secara automatik litar dalam samasa ia diberikan bekalan kuasa. Ia adalah betul dalam lingkungan kandungan oksigen 70-100% (+/- 2%), akan tetapi tidak betul jika ia kurang daripada 70%. Pulse signal jatuh pada pengurangan kandungan.

Bentuk gelombang nadi (bergantung pada pengaliran) ditunjukkan secara graph. Sesengah model secara automatik meningkatkan gain pada display semasa pengaliran berkurangan dan dalam ini display mungkin tidak betul dan tepat.

Alarm selalunya bertindakbalas pada kadar yang rendah atau tinggi ataupun jika kandungan oksigen kurang daripada 90 darjah. Pada tahap ini, ia adalah ditandakan sebagai pengurangan pada PaO₂ yang menunjukkan hypoxia.

Pada keadaan berikut, bacaan mungkin tidak tepat :

- Pengurangan dalam pengaliran darah peripheral daripada peripheral vasoconstriction (hypovolaemia, hypotension, sejuk, kegagalan jantung, gangguan jantung) ataupun penyakit peripheral vascular. Ia menyebabkan signal yang tidak betul untuk analisa.
- Venous congestion, selalunya apabila ia melibatkan tricuspid regurgitation, boleh menyebabkan nadi venous yang mana rendah bacaannya dengan probe telinga. Venous congestion pada anggota badan boleh memcacatkan bacaan sama seperti jika salah meletakkan probe. Apabila bacaan rendah daripada yang dikehendaki, adalah lebih baik jika meletakkan probe pada kawasan badan yang lain. Secara keseluruhannya, jika bentuk gelombang pengaliran adalah baik, maka bacaan adalah tepat.
- Cahaya lampu yang terang dalam bilik pembedahan boleh menyebabkan bacaan tidak betul, dan signal boleh diganggu oleh diathermy. Menggigil boleh menyebabkan signal tidak diperolehi dengan tetap dan berterusan.



A. KALIBRASI DAN PERFORMA

Untuk mendapatkan hasil yang akurat dalam pengukuran oksigenasi darah dengan metode optik, perlu dilakukan kalibrasi sebelumnya. Kalibrasi dilakukan dengan menggunakan bahan standar yang diketahui kandungan oksigenasinya. Biasanya, bahan standar ini adalah air yang diberikan tekanan oksigen yang diketahui (misalnya 100% O₂) dan air yang diberikan tekanan oksigen yang tidak diketahui (misalnya 70%). Hasil pengukuran pada kalibrasi ini akan digunakan untuk menyesuaikan hasil pengukuran pada pasien.

Pada kalibrasi, alat optik akan memberikan dua hasil pengukuran: satu hasil pengukuran pada pasien yang dikenal (hasil teori) dan hasil pengukuran pada pasien yang tidak diketahui (hasil eksperimen). Hasil eksperimen ini akan dibandingkan dengan hasil teori untuk mengetahui akurasi alat optik.

Hasil pengukuran pada pasien yang dikenal (hasil teori) diperoleh dengan menggunakan rumus:

$$H_t = \frac{P_{O_2}^e - P_{O_2}^s}{P_{O_2}^e}$$

di mana:

- H_t = hasil pengukuran pada pasien yang dikenal (hasil teori)
- $P_{O_2}^e$ = tekanan oksigen pada pasien yang dikenal
- $P_{O_2}^s$ = tekanan oksigen pada pasien yang tidak diketahui

Hasil pengukuran pada pasien yang tidak diketahui (hasil eksperimen) diperoleh dengan menggunakan rumus:

$$H_e = \frac{P_{O_2}^e - P_{O_2}^s}{P_{O_2}^e}$$

di mana:

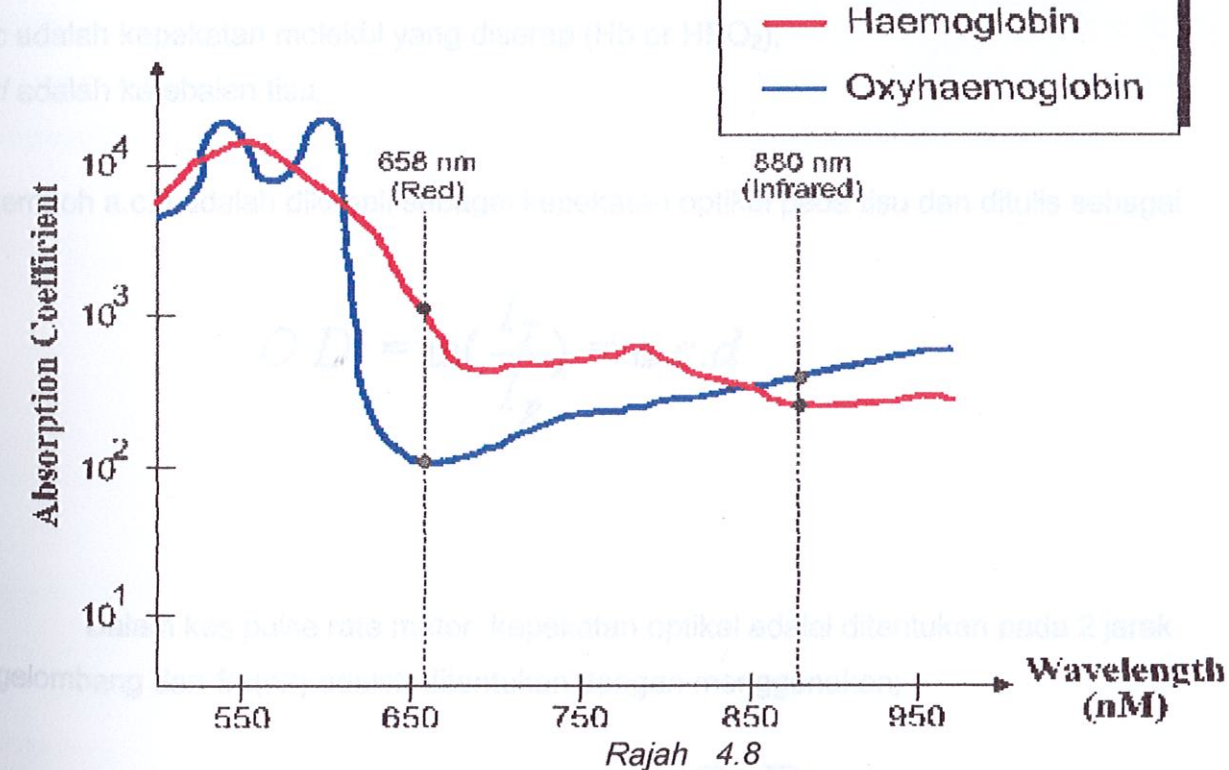
- H_e = hasil pengukuran pada pasien yang tidak diketahui (hasil eksperimen)
- $P_{O_2}^e$ = tekanan oksigen pada pasien yang dikenal
- $P_{O_2}^s$ = tekanan oksigen pada pasien yang tidak diketahui

Hasil eksperimen ini akan dibandingkan dengan hasil teori untuk mengetahui akurasi alat optik.

- Pulse rate meter tidak boleh membezakan diantara pelbagai hemoglobin. Carboxyhaemoglobin (hemoglobin bergabung dengan karbon monoxide) adalah mengandungi 90% oxygenated hemoglobin dan 10% methaemoglobin akan mengelakkan pulse rate meter berfungsi dengan betul dan bacaan akan menunjukkan 85%, bukan bacaan yang sebenar.
- Apabila methylene biru digunakan semasa pembedahan kepada parathyroida atau untuk merawat methaemoglobinaemia pengurangan dalam kandungan oksigen akan direkodkan.
- Pemakaian varnish kuku akan mendapatkan bacaan yang tidak tepat.

4.2 SENSOR

Pulse rate meter tidak boleh membezakan diantara berpasangan hemoglobin dengan karaktor penyerapan cahaya yang berbeza pada jarak gelombang yang berbeza. 2 spektra interest pada jarak gelombang isobectis of $\lambda = 805$ nm, dimana penyerapan adalah bebas pada kandungan oksigen. Penyerapan yang diukur pada frekuensi ini digunakan sebagai bacaan rujukan. 2 spektra bergabung dengan baik pada $\lambda = 660$ nm, yang digunakan sebagai point pengukuran. Unit yang lain biasanya menggunakan $\lambda = 660$ nm pengukuran dan $\lambda = 910$ nm sebagai rujukan kerana pilihan yang tepat.

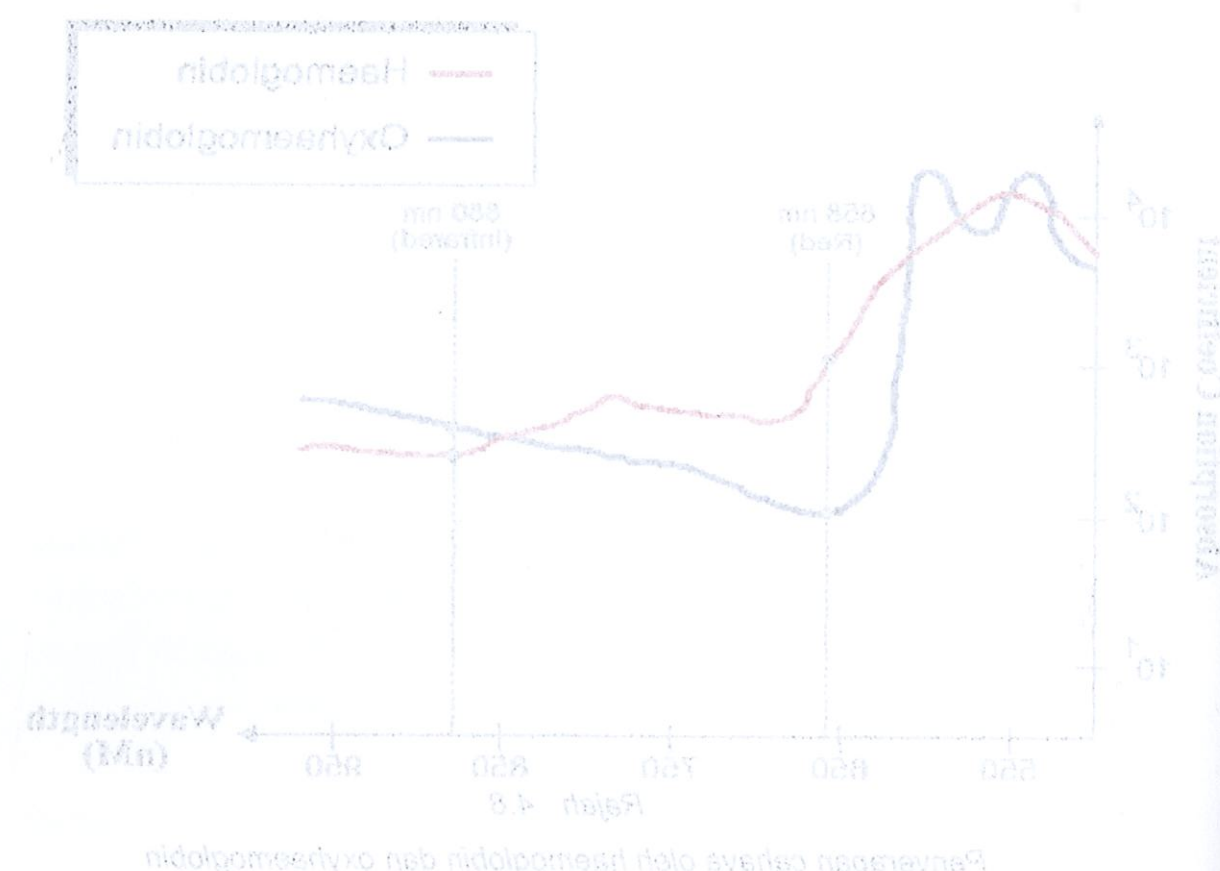


Penyerapan cahaya oleh haemoglobin dan oxyhaemoglobin

Pulse rate meter tidak boleh membezakan diantara berpasangan hemoglobin dengan karaktor penyerapan cahaya yang berbeza pada jarak gelombang yang berbeza. 2 spektra interest pada jarak gelombang isobectis of $\lambda = 805$ nm, dimana penyerapan adalah bebas pada kandungan oksigen. Penyerapan yang diukur pada frekuensi ini digunakan sebagai bacaan rujukan. 2 spektra bergabung dengan baik pada $\lambda = 660$ nm, yang digunakan sebagai point pengukuran. Unit yang lain biasanya menggunakan $\lambda = 660$ nm pengukuran dan $\lambda = 910$ nm sebagai rujukan kerana pilihan yang tepat.

5.4 SENSOR

Pulse rate meter mampu mendekati gelombang yang berada di dalam tisu. Pulse rate meter ini menggunakan teknologi optik untuk mendekati gelombang yang berada di dalam tisu. Pulse rate meter ini menggunakan teknologi optik untuk mendekati gelombang yang berada di dalam tisu. Pulse rate meter ini menggunakan teknologi optik untuk mendekati gelombang yang berada di dalam tisu.



Hb dan HbO₂ mampu mendekati gelombang optikal.

Penyerapan cahaya apabila ia melalui tisu boleh diukur dengan memancarkan cahaya pada tisu dan mengukur cahaya yang diterima dibelah bertentangan. Jika jarak gelombang diketahui, maka penyerapan boleh ditulis sebagai

$$\frac{I_R}{I_T} = e^{-acd}$$

dimana I_R adalah keamatan penerimaan cahaya,
 I_T adalah keamatan cahaya yang dihantar,
 a adalah kecekapan penyerapan,
 c adalah kepekatan molekul yang diserap (Hb or HbO₂),
 d adalah ketebalan tisu,
tempoh $a.c.d$ adalah dikenali sebagai kepekatan optikal pada tisu dan ditulis sebagai

$$O.D. = \ln\left(\frac{I_T}{I_R}\right) = a.c.d$$

Dalam kes pulse rate meter, kepekatan optikal adalah ditentukan pada 2 jarak gelombang dan $Sa(O_2)$ adalah ditentukan dengan menggunakan;

$$Sa(O_2) = A - B \frac{O.D._{660nm}}{O.D._{990nm}}$$

Dimana angkali A dan B mestilah ditentukan secara eksperimen.

Sistem dibawah adalah dapat menentukan denyutan jantung dengan mengesan perubahan dalam volum darah mengikut sistolik. Apabila banyak darah mengalir masuk ke dalam tisu selepas setiap denyutan, karakter penyerapan pada perubahan tisu, yang mana memantul balik di $-R$.

Gelombang nadi ini disebabkan oleh denyutan dengan tempoh pada volum darah arteri dan diukur dengan mengubah penyerapan optikal yang termasuk ini. Pengukuran sistem ini mengandungi sumber cahaya (infrared), satu detector (diletakkan pada penghantaran dan pemantulan balik) dan satu signal pulih, memproses dan display.

Cahaya infrared adalah dengan banyaknya digunakan sejak ia berhubung kait dengan penyerapan dalam darah dan kurang meresap dalam tisu ; volum darah berubah dan diperhatikan dengan contrast yang boleh digunakan. Memandangkan cahaya pembiasan pada tisu adalah tinggi, satu pengesan diletakkan pada permukaan kulit boleh mengukur pantulan balik dari jarak kedalaman dan pemantulan ini diserap bergantung kepada cahaya bertembung dengan lemah ataupun penyerapan tisu yang tinggi.

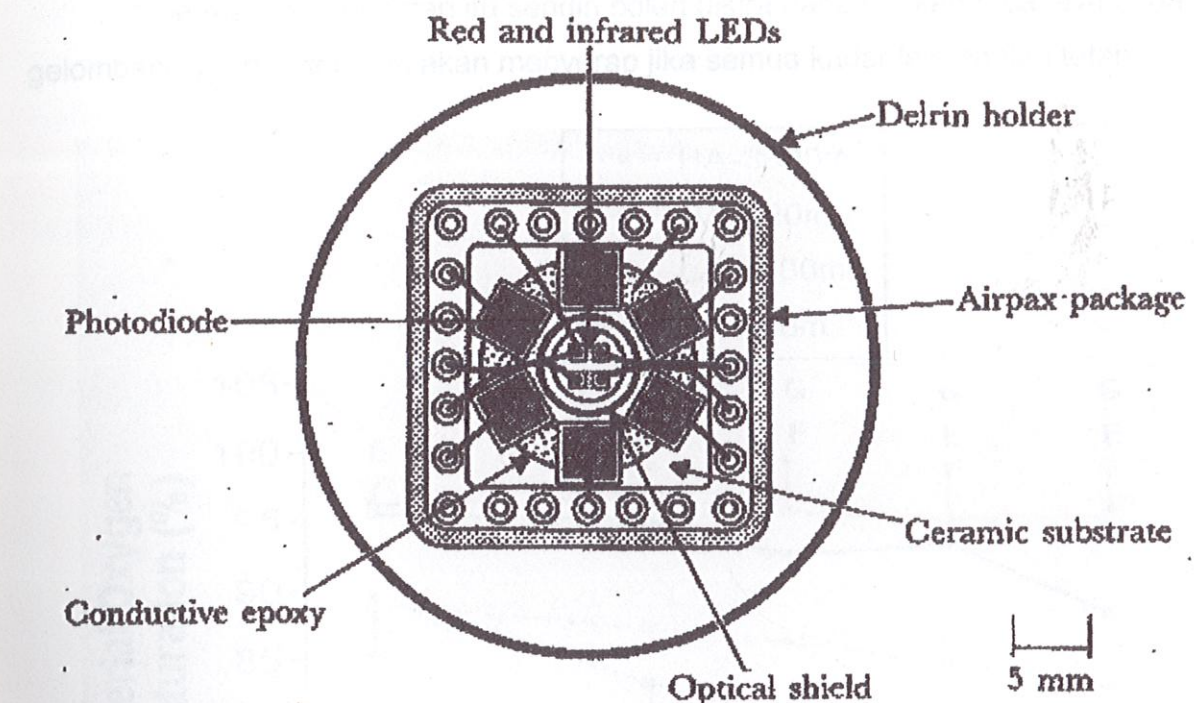
Bentuk

Bentuk gelombang nadi ini merupakan gelombang sinusoidal. Gelombang ini mempunyai amplitud yang berubah seiring dengan denyutan jantung. Amplitud gelombang ini sebanding dengan perubahan dalam volum darah arteri. Jika volum darah arteri berubah, maka intensiti cahaya yang meresap dalam tisu juga akan berubah. Sebaliknya, jika intensiti cahaya yang meresap dalam tisu berubah, maka volum darah arteri juga akan berubah. Jadi, bentuk gelombang nadi ini merupakan gelombang sinusoidal.

$$A.O.D = \left(\frac{1}{2} \right) ml = 0.0$$

$$\frac{0.0}{0.0} A - R = 0.0$$

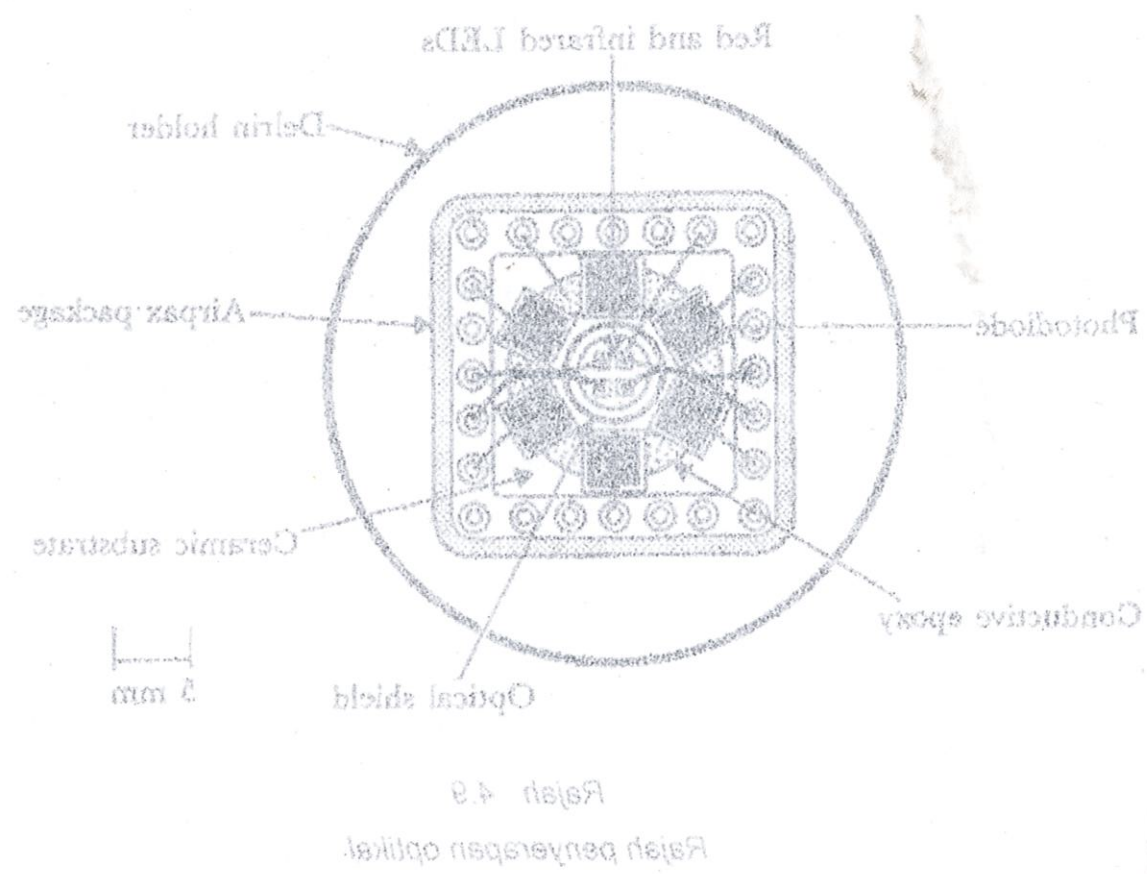
Dimensi sukai A dan R mewujudkan difraksi sifat sifat akibatnya



Rajah 4.9

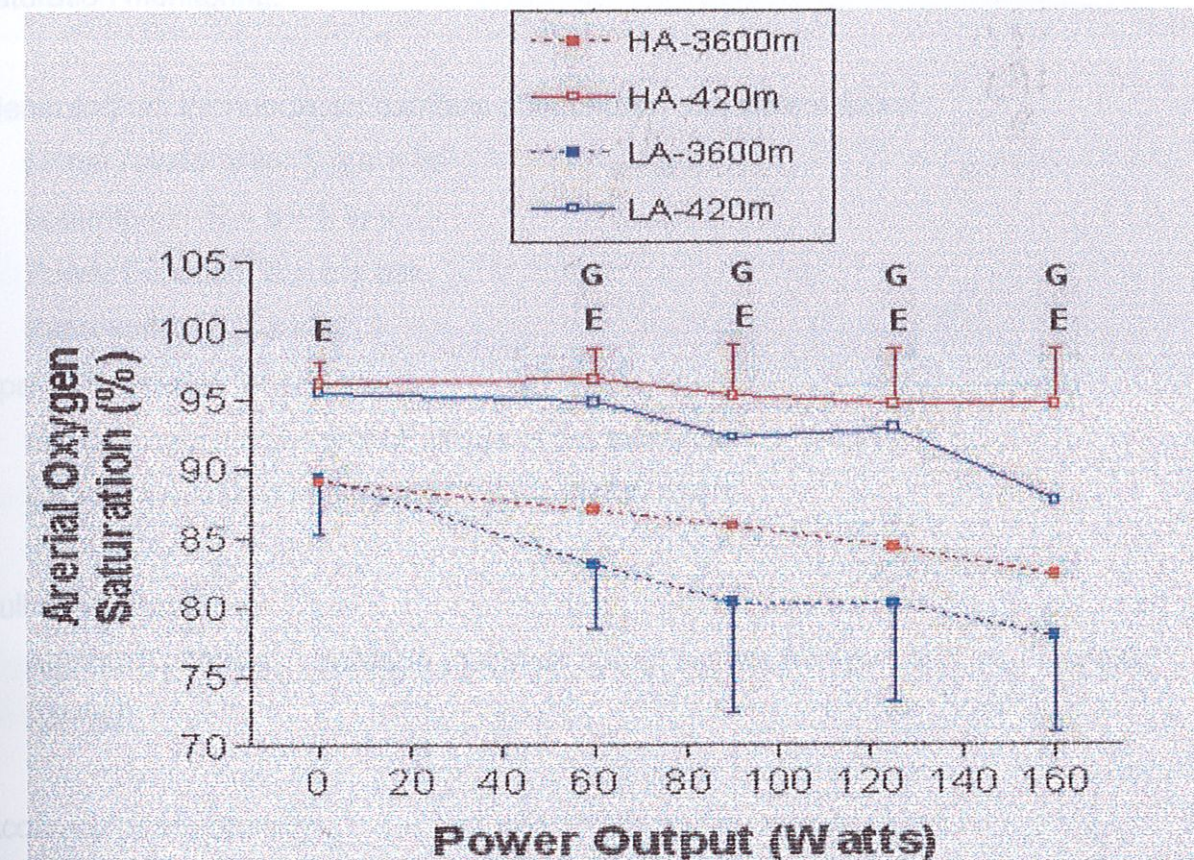
Rajah penyerapan optikal

Sebarang perubahan dalam volum darah akan dikesan oleh pengesan pada permukaan kulit menambah (atau mengurangkan) volum akan menyebabkan lebih (atau kurang) penyerapan. Kesannya akan ditentukan oleh vena dan arteri. Dalam kehilangan sebarang perubahan volum darah, tahap signal akan ditentukan oleh jenis tisu, peletakkan probe, kandungan volum darah yang static dan keadaan geometry dan sensitivity sensor itu sendiri. Kebanyakkan faktor ini tidak boleh ditentukan dengan pengurangan bebas dan akan membezakan diantara pembuat dan individu.



Sebahagian berdasarkan volum darah akan dikasau oleh pengecasan pada permukaan kulit manusia (atau menggunakan teknik volum skru menyalapkan telur) (sila baca maklumat lanjut tentang teknik ini dalam artikelnya). Kesananya akan diikutkan oleh vena dan arteri. Dalam ketinggian kurang (berbanding) bersama-sama, kesananya akan diikutkan oleh arteri dan vena. Setiap sifang berdasarkan volum darah. Setiap sifang juga akan diikutkan oleh jantung tiba-tiba. Beberapa kali

ia bermakna kepekatan itu sendiri boleh dikira daripada kadar cahaya pada jarak gelombang yang tertentu ia akan menyerap jika semua kadar lain adalah tetap.

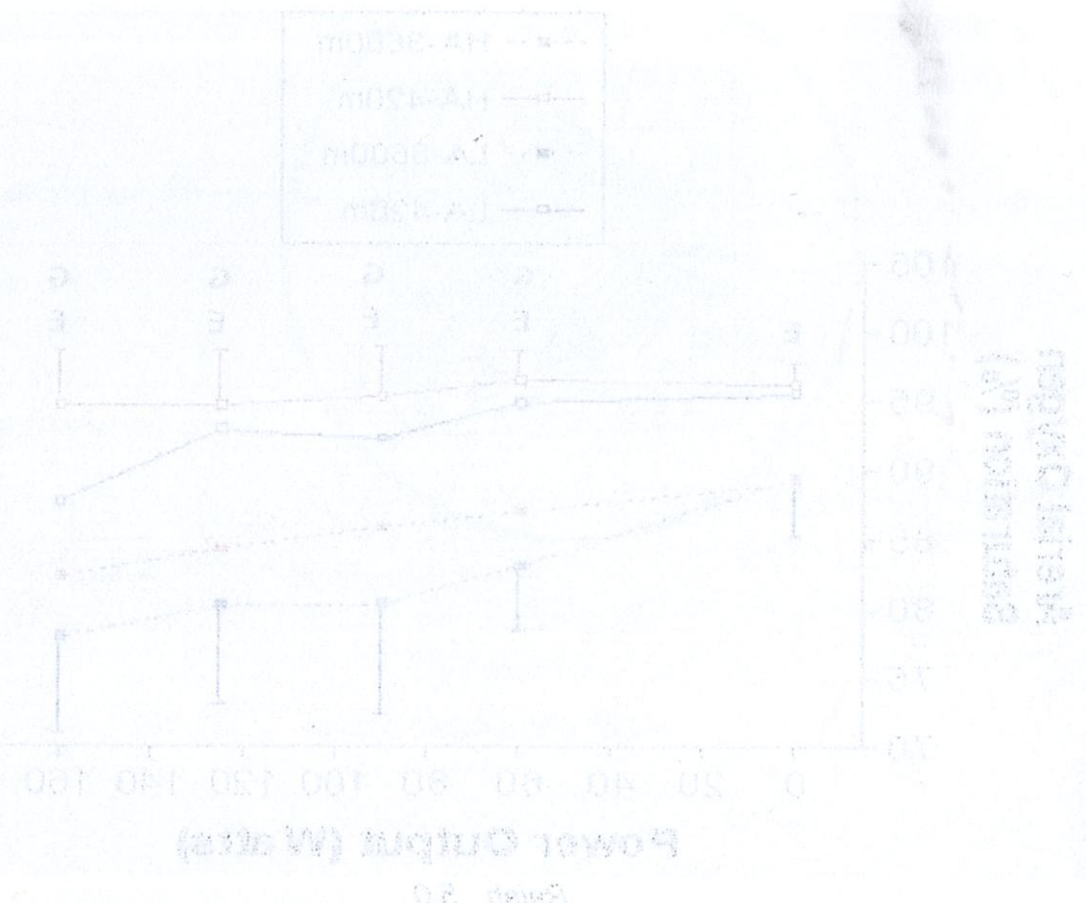


Rajah 5.0

Rajah pengiraan kandungan oksigen dengan penggunaan bekalan kuasa

Jika 2 keadaan sendiri menyerap spectra adalah dalam solution, kepekatan boleh ditentukan daripada purata penyerapan cahaya pada 2 jarak gelombang yang berbeza. Hb menyerap kurang cahaya jarak gelombang 940nm (infrared light) daripada O2Hb, tetapi menyerap lebih cahaya jarak gelombang 660nm (red light)- dimana oxygenated (arteri) darah muncul redder daripada deoxygenated (vena) darah. Nyatanya, semua keempat-empat hemoglobin mempunyai spectra penyerapan yang mana berbeza daripada yang

Acara busa nyedek sebab sifat-sifat sensor tidak tuntas di hasil akhir diketahui oleh
ketel telolet bisa sebab kurangnya pengetahuan teknis dan kurangnya praktis pengetahuan



sebab teknologi sensor masih belum matang dan teknologi masih belum matang.

Metod matematik untuk telolet sensor diukur dengan teknik hubungan model dan eksplorasi
diketahui dengan pendekatan klasik S yang berdasarkan teknik obeservasi (observasi
tak tentu), dIISO obeservasi (digil observasi) dan OAO pendekatan klasik teknik pengambilan
(pertama) berdasarkan klasik - (digil pertama) dan OAO pendekatan klasik teknik pengambilan
pertama berdasarkan klasik (enam) teknik pengambilan berdasarkan teknik pengambilan
pertama teknik pengambilan teknik pengambilan teknik pengambilan teknik pengambilan teknik

lain dengan menggunakan empat jarak gelombang cahaya yang berbeza dapat mengira
kandungan oksigen dalam hemoglobin. Ini adalah cara yang digunakan bagi invasive
saturation monitoring.

Menerangkan perhubungan diantara pengukuran dan sistem fizikal :

Linear relationship: $S = a + bs$

Logarithmic: $S = a + b \ln s$

Power Function: $S = a + b s^k$

Exponential: $S = a e^{ks}$

Span (or dynamic range):

Min and max measurement values of the stimulus.

Usually expressed in decibels: $1 \text{ dB} = 20 \log s_2/s_1$

Span = $s_2 - s_1$

Full Scale Output

Algebraic difference between electrical output signals with min and max stimulus
applied.

Accuracy (or inaccuracy)

Difference between sensor reading and some "ideal" value (i.e. "gold standard").

Error could be due to numerous possibilities: transfer function approximations, material
variations, manufacturing tolerances, design errors, etc.

Dynamic range

Calibration Error

Errors tolerated by manufacturer during calibration process.

Hysteresis

Deviation in sensor response to input signal when approached from opposite
directions.

Non-linearity	Deviations caused by assumption of linear response behavior.
Saturation	Operation limits of the sensor where it becomes unresponsive to the input stimulus.
Repeatability (or reproducibility)	Error caused by inability of the sensor to reproduce similar outputs under identical conditions.
Resolution	Smallest increments of stimulus detectable by sensor.
Signal Distortion	Output impedance, Z_{out} , of a sensor is important to prevent signal distortion by circuitry.
Dynamic (vs. Static) Characteristics	<ul style="list-style-type: none"> Dynamic Error: Time response of sensor to stimulus Warm-up Time: Sensors usually have to go through a warm-up period before they can perform to specified accuracy. Frequency Response: How fast a sensor can respond to a dynamic change in the input stimulus.

Time Constant (τ): Measure of sensor's "inertia"; time for sensor to reach 63% of final steady-state value. $2\tau = 86.5\%$; $3\tau = 95\%$.

Dynamic (vs. Static) Characteristics

Cutoff Frequency (upper & lower): related to response time of sensor to changing stimulus.

Phase Shift: At specified frequency, defines how the output signal lags the input signal (in degrees or radians).

Resonant (natural) Frequency: Frequency at which system reaches resonance.

Damping: Overdamped vs. Critically vs. Underdamped.

$$G = \frac{1}{1 + j\omega\tau}$$

Sensor Performance: Other Factors

Environmental Conditions

Temperature

Humidity

Lighting

Reliability

Ability of sensor to perform to specifications under specified conditions for stated period.

Mean-time-between-failure (MTBF)

$$MTBF = \frac{1}{F} = \frac{1}{\lambda} = \frac{1}{\lambda_0 e^{-\lambda_0 t}}$$

Pressure

Gravity

Others

Potentiometer: Resistive Sensor

Basic principle: $R = r * L / A$ (1)

r = resistivity; A = cross sectional area; L = length

Other Sensors: Strain Gages

Strain Gages

- $$\begin{aligned} \text{Basic principle: } R &= r^*L / A \\ dR &= r(dL)/A - rL(dA)/A^2 + L(dr)/A \\ DR/R &= DL/L - DA/A + D r/r \\ \text{Substituting Poisson Ratio:} \\ \text{Poisson Ratio (m): } \frac{D\Delta}{D} &= -m \frac{DL}{L} \quad (D=\text{diameter}; L=\text{length}) \\ DR/R &= (1 + 2m) \frac{DL}{L} \quad (\text{dimensional}) + D \frac{r}{r} \quad (\text{piezoresistive}) \end{aligned}$$

Gage Factor:

$$G = (DR/R) / (DL/L)$$

Other circuits: Wheatstone Bridge

Ideal for measuring small changes in resistance (i.e. strain gage)

When balanced, $D_{yy} = 0$ when $R_1/R_2 = R_4/R_3$ (HW#2, 1)

If $R_1=R_2=R_3=R_4=R_0$ bridge is balanced

If $R_0 \ll R_1$ and R_1, R_3 increase by ΔR while R_2, R_4 decrease by ΔR , then

Dvo ≡ (DB vi) V BQ (HW#2 2)

Rx: loading of circuit $\approx 10 \times R_0$

$$R_V \approx 25 \times R_{\odot}$$

Other Sensors: Inductive

Used to measure displacement by varying coil parameters

$$L = n^2 G m / (2)$$

Ex. Linear variable differential transformer (LVDT) measures displacement (fig.c)

Self- inductance Mutual inductance Differential

$n = \#$ turns of scroll

G= geometric form factor

m=effective permeability

resistivity

Other Sensors: Capacitive

Principle: Capacitance between two parallel plates of area A separated by x is:

$$C = \epsilon_0 \epsilon_r A/x$$

ϵ_0 = dielectric const of free space

ϵ_r = dielectric constant of insulator

A = area of plates

x= distance separating 2 plates

Other Sensors: Piezoelectric

Piezoelectric materials (BaTi, polyvinylidene fluoride (PVDF)) generate electric potential when experiencing mechanical stress (& vice versa)

q (= charge) = $k f$ where k =piezoelectric const & f = force

Voltage: $V = q/C = kf / C$

Cahaya beam yang melalui tisu kepada photodetector. Dalam masa melalui kepada tisu, sesetengah cahaya diserap oleh darah dan tisu lembut bergantung kepada kepekatan dan kandungan hemoglobin. Jumlah kadar penyerapan cahaya pada setiap frekuensi bergantung kepada tahap kandungan oksigen dalam hemoglobin diantara dan dalam tisu.

Mikroprosser boleh memilih penyerapan pada pulsatile fraction dalam darah, contohnya yang mana kerana darah arterial, daripada penyerapan tetap kepada non pulsatile vena atau darah kapilari dan tisu lain. Kebanyakkan mikroprosser kini telah

Other Generals: Please see
Pseudoelectric machines (Ball)
with explanation below
and changes K = V

mengurangkan kesan daripada gangguan semasa pulse rate meter berfungsi. Dengan pengiraan masa, dimana LED berfungsi, red on, kemudian infrared on, kemudian kedua-duanya dimatikan, beberapa kali membantu untuk menangkap gangguan di belakang. Quadrature division multiplexing adalah lebih baru dalam mana red dan infrared signal berpisah dalam fasa tanpa masa dan kemudian bersama dalam fasa terkemudian.

Dengan cara ini, kesan gangguan disebabkan pergerakan atau gangguan electromagnetic boleh dihapuskan memandang ia bukanlah sama fasa dengan 2 signal LED semasa ia bergabung. Kandungan oksigen akan dikira dengan jumlah kitaran LED diantara signal nadi yang didapati dan purata yang keluar bersamaan dengan masa bergantung kepada monitor. Daripada nisbah penyerapan cahaya pada setiap frekuensi cahaya, mikroprosessor mengira nisbah kedua-dua itu.

BAB 5

Signal Detection

Output signal from sensor is analog signal which contains distortion.
For voltage signal, it can be measured by voltmeter or multimeter circuit.

Environmental Factors

Temperature

Humidity

Lighting

Dua jenis cara ini keran bangkran dapat dipakai berdasarkan sifatnya.
Elektromagnetik polisi dibangun pada dasarnya 2 tipe
LED sejauh ini perdespan. Kandungan oksigen akan diketahui dengan lampu LED
disebutnya sifatnya tidak dapat didepan dan pada kandungan tersebut akan mengetahui massa
pembentuknya. Kebutuhan informasi. Dapat diolah dengan proses analisis yang
dapatnya, merupakan teknologi modern yang kedua-duanya itu

mendekati keran dibangun dengan cara yang sama pada teknologi pertama. Dengan
pembangunan massa, dimana LED perlu ada, kerangka dilakukan, kerangka

kedua-duanya dimiliknya, pada masa kini memperbaiki untuk memudahkan di
paketnya. Untuk teknologi pembangunan massa pada keran ini ada dua inilah

Dua jenis cara ini keran bangkran dapat dipakai berdasarkan sifatnya.

Elektromagnetik polisi dibangun pada dasarnya 2 tipe
LED sejauh ini perdespan. Kandungan oksigen akan diketahui dengan lampu LED

disebutnya sifatnya tidak dapat didepan dan pada kandungan tersebut akan mengetahui massa
pembentuknya. Kebutuhan informasi. Dapat diolah dengan proses analisis yang
dapatnya, merupakan teknologi modern yang kedua-duanya itu

BAB 5 LITAR PULSE RATE METER

Litar pulse oximeter ini terbahagi kepada 2 bahagian yang penting iaitu :-

- a. Analog & Digital
- b. Sensor

5.1 ANALOG DAN DIGITAL

Seperti yang telah ditunjukkan dalam litar , pulse oximeter ini mengandungi bahagian pertama yang merangkumi bahagian analog dan digital. Ia jelas menunjukkan kedua dua bahagian ini mempunyai IC yang berlainan. Bahagian analog mempunyai fungsi sebagai amplifier dan ia juga berfungsi sebagai pemproses signal yang datang dari sensor.

Bahagian digital pula berkaitan dengan pengiraan dan display.

Basic principle: Pulse rate

DB = 0.008 - 0.00025 (L) + 0.00002 (L)²

Signal Distortion

Output impedance, Zout, of a sensor is important to prevent signal distortion by circuitry.

For voltage generating sensors, low Zout is preferable with high Zin for circuitry (usually buffer ccts used).

Sensor Performance: Other Factors

Environmental Conditions

Temperature

Humidity

Lighting

Reliability

Ability of sensor to perform to specifications under specified conditions for stated period.

Mean-time-between-failure (MTBF)

Length (L)

Pressure

Gravity

Others Inductance Mutual inductance Differential

$n = \# \text{ turns of coil}$

G = Geometric form Factor Potentiometer: Resistive Sensor

Basic principle: $R = r * L / A$ (1)

r = resistivity; A = cross sectional area; L = length

Other Sensors: Strain Gages

Strain Gages

Basic principle: $R = r * L / A$

$dR = r(dL)/A - rL(dA)/A^2 + L (dr)/A$

$DR/R = DL/L - DA/A + D r/r$

Substituting Poisson Ratio:

Poisson Ratio (m): $DD/D = -m DL/L$ (D =diameter; L =length)

$DR/R = (1 + 2m) DL/L$ (dimensional) + $D r/r$ (piezoresistive)

Gage Factor:

$$G = (DR/R) / (DL/L)$$

$$= (1 + 2m) + (D r/r) / (DL/L)$$

Other Sensors: Capacitive

Change in capacitance due to change in dielectric constant

Used to measure displacement by varying coil parameters

$$L = n^2 Gm \quad (2)$$

Ex. Linear variable differential transformer (LVDT)-measures displacement

(fig c)

Self- inductance Mutual inductance Differential

n = # turns of coil

G= geometric form factor

m=effective permeability

Other Sensors: Piezoelectric

Change in electric charge when subjected to mechanical stress

Piezoelectric materials (BaTi, polyvinylidene fluoride (PVDF)) generate

electric potential when experiencing mechanical stress (& vice versa)

$$q (= \text{charge}) = k f \quad \text{where } k = \text{piezoelectric const} \quad f = \text{force}$$

Voltage: $V = q/C = kf / C$

Other Sensors: Resistive

Change in resistance due to change in temperature or pressure

Resistive sensors (strain gauges, thermistors, piezoresistive)

Strain gauge: Change in resistance due to change in length

Thermistor: Change in resistance due to change in temperature

Piezoresistive: Change in resistance due to change in pressure

Other Sensors: Optical

Change in optical properties due to change in environment

Optical sensors (optical fiber, photoresistors, photodiodes, phototransistors)

Photoresistor: Change in resistance due to change in light intensity

Photodiode: Change in current due to change in light intensity

Phototransistor: Change in current due to change in light intensity

Other Sensors: Ultrasonic

Change in time of travel of sound wave due to change in environment

Ultrasonic sensors (ultrasonic range finders, ultrasonic proximity sensors)

Ultrasonic range finders: Measure distance by emitting ultrasonic waves

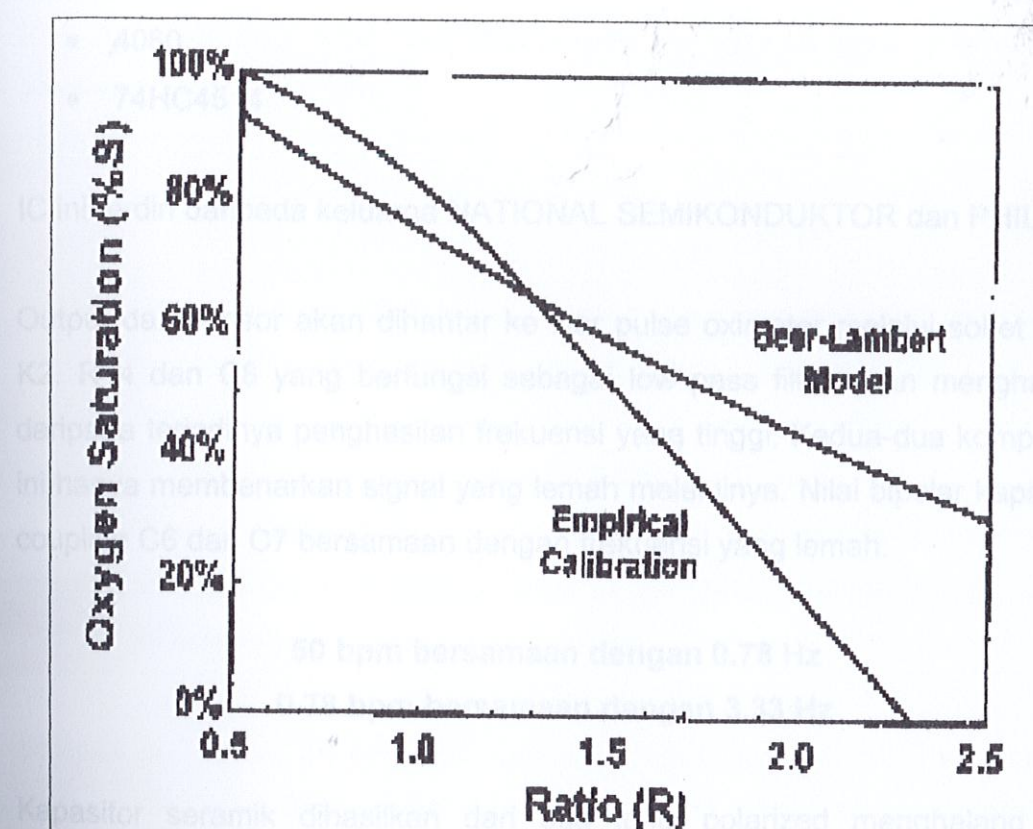
Ultrasonic proximity sensors: Detect objects by emitting ultrasonic waves

Sebarang perubahan dalam volum darah akan dikesan oleh pengesan pada permukaan kulit menambah (atau mengurangkan) volum akan menyebabkan lebih (atau kurang) penyerapan. Kesannya akan ditentukan oleh vena dan arteri. Dalam kehilangan sebarang perubahan volum darah, tahap signal akan ditentukan oleh jenis tisu, peletakkan probe, kandungan volum darah yang static dan keadaan geometry dan sensitivity sensor itu sendiri.

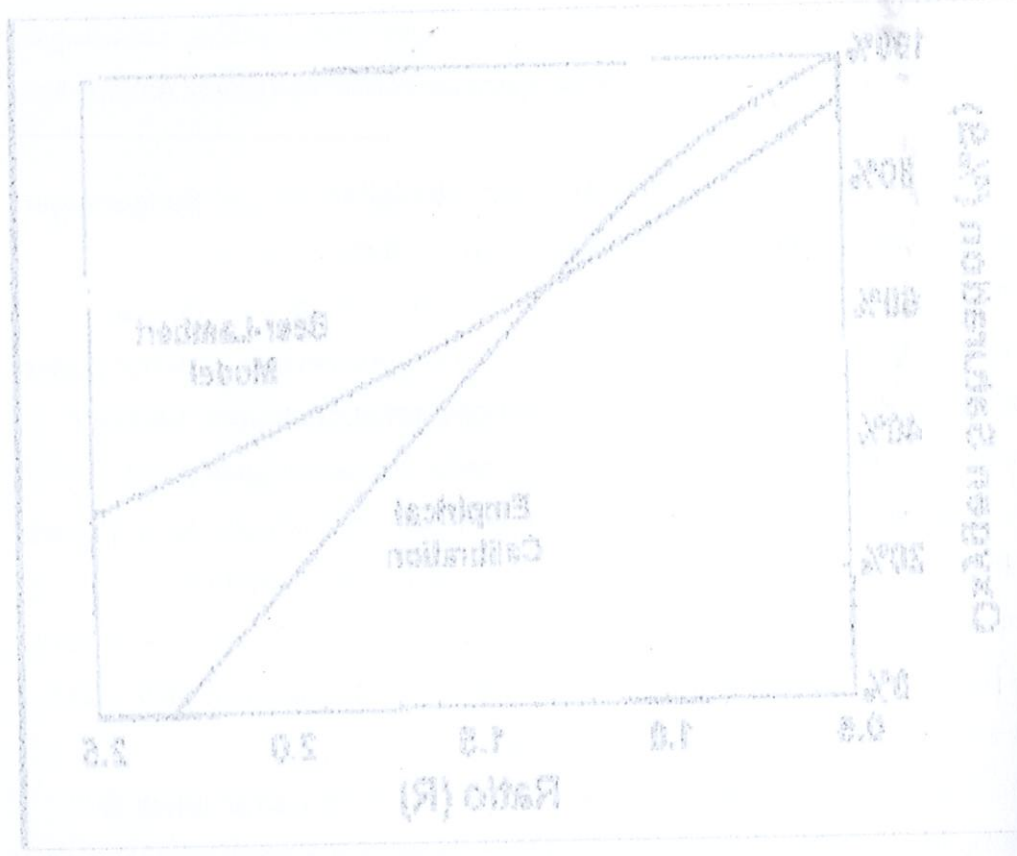
Kebanyakkan faktor ini tidak boleh ditentukan dengan pengurangan bebas dan akan membezakan diantara pembuat dan individu. Sistem dibawah adalah dapat menentukan denyutan jantung dengan mengesan perubahan dalam volum darah mengikut sistolik. Apabila banyak darah mengalir masuk ke dalam tisu selepas setiap denyutan, karakter penyerapan pada perubahan tisu, yang mana memantul balik di $-R$.

Gelombang nadi ini disebabkan oleh denyutan dengan tempoh pada volum darah arteri dan diukur dengan mengubah penyerapan optikal yang termasuk ini. Pengukuran sistem ini mengandungi sumber cahaya (infrared), satu detector (diletakkan pada penghantaran dan pemantulan balik) dan satu signal pulih, memproses dan display.

Cahaya infrared adalah dengan banyaknya digunakan sejak ia berhubung kait dengan penyerapan dalam darah dan kurang meresap dalam tisu ; volum darah berubah dan diperhatikan dengan contrast yang boleh digunakan. Memandangkan cahaya pembiasan pada tisu adalah tinggi, satu pengesan diletakkan pada permukaan kulit boleh mengukur pantulan balik dari jarak kedalaman dan pemantulan ini diserap bergantung kepada cahaya bertembung dengan lemah ataupun penyerapan tisu yang tinggi.



RAJAH KANDUNGAN OKSIGEN MENGGUNAKAN BEER LAMBERT MODEL



RANGKAIAN DIGITAL MENGGUNAKAN BEER LAMBERT
MODUL

Contoh IC yang digunakan dalam bahagian analog dan digital ini ialah:-

- LM324
- 4528
- 4060
- 74HC4514

IC ini terdiri daripada keluarga NATIONAL SEMIKONDUKTOR dan PHILIPS

Output dari sensor akan dihantar ke litar pulse oximeter melalui soket input K2. R14 dan C8 yang berfungsi sebagai low pass filter akan menghalang daripada terjadinya penghasilan frekuensi yang tinggi. Kedua-dua komponen ini hanya membenarkan signal yang lemah melaluinya. Nilai bipolar kapasitor coupling C6 dan C7 bersamaan dengan frekuensi yang lemah.

50 bpm bersamaan dengan 0.78 Hz

0.78 bpm bersamaan dengan 3.33 Hz

KAPASITOR RINGKAN DAN SIRINGAN DI BAWAH TERHANTAR BAGI OP-AMP

Kapasitor seramik dihasilkan dari dua jenis polarized menghalang dari berlakunya pengaliran arus terus. Dimana ia tidak bergantung samaada sensor telah disambungkan ataupun tidak. Ia juga mengesan spurious light atau gelombang palsu dari Ic 1a. Warna dapat dilihat oleh D14 iaitu LED yang berwarna merah.

Ic 1a ialah yang bertindak sebagai op-amp (linear amplifier x 200). Rangkaian R11 dan C5 bergabung untuk low pass filter yang lebih rendah nilainya. (nilai cut-off frequency ialah 15 Hz).

Output bagi Ic1a ialah signal yang mempunyai bentuk seperti gelombang sinus dalam bentuk pulsating atau sebenar dengan sedikit hinggar. Signal ini akan ditukarkan kepada signal sinus yang tiada hinggar dalam bentuk segiempat tepat. Ini dilakukan oleh Ic1d yang bertindak sebagai comparator. Nilai threshold bagi level ini disetkan oleh P2 kepada level yang diantara amplitude gelombang sinus. Jadi dia berfungsi untuk mengubah sinyal digital ke sinyal analog digital akan di tetapkan kepada 4.5v. Walaupun ic CMOS boleh berfungsi dengan voltan kemasukan 3.3v, frekuensi oscillator yang diambil dari R1 dan C1 berpengaruh kepada faktor supply line.

Setting oleh preset ini, tidak kritikal kerana input inverting oleh monostable multivibrator analog adalah positive dan mempunyai nilai negative kecil, diiringi Presettable Regulator IC5. Ia boleh digunakan kerana ia mempunyai harga yang mahal. Walaupun begitu, output monostable ini adalah rendah dan C3 masih belum dicapai. Dengan kemasukan signal, output bagi monostable akan menjadi tinggi di setiap input comparator. Ia akan berkekalan dalam bentuk output yang tinggi sehingga C3 dicaskan melalui R6. Menggunakan bateri jika menggunakan battery, bateri baik untuk menggunakan bateri yang dapat bertahan lama. Selepas itu, dalam 20ms nilai potensi di input non-inverting bagi op-amp jatuh ke nilai yang lebih rendah daripada inverting input. Dimana monostable akan megubah nilainya kepada output yang rendah. R3 mestinya dikurangkan kepada 6.8v kerana sifat dorang akan terjadi akibat pembahagi. Pulse yang mempunyai tempoh 20ms dapat dilihat oleh D14 iaitu LED yang berwarna hijau.

R3 dan R4 bertindak sebagai Potential Divider yang akan mengurangkan nilai 9v kepada nilai yang separuh daripadanya iaitu 4.5v. Supply ini (4.5v) akan dibuffered dan akan digunakan sebagai rujukan oleh monostable.

Disebabkan oleh pengurangan ini, voltan dari regulator akan jatuh sehingga mempunyai nilai 6v.

Berikut dengan perubahan di bahagian analog, supply lini kepada bahagian digital akan di tetapkan kepada 4.5v. Walaupun Ic CMOS boleh berfungsi dengan voltan kemasukan 3-15v, frekuensi osilator yang ditentukan oleh R – C1- P1, bergantung kepada takat supply line.

Frekuenzi osilator adalah sangat berhubungan dengan jantung yang. Oleh itu, supply dapat stabilkan kepada 4.2-4.5v dengan kehadiran presetable regulator IC5. IC ini digunakan kerana ia mempunyai harga yang rendah dan dapat berfungsi dengan voltan yang serendah 6V.

Pulse oximeter ini menggunakan arus dalam lingkungan 15mA. Ini membenarkan penggunaan bateri 9v jika menggunakan battery. Jika menggunakan battery, lebih baik untuk menggunakan bateri yang dapat dicaskan melalui 12V adaptor dimana ia akan dicaskan melalui R23.

Level voltage diantara output monostable dan IC2B mestilah dikurangkan daripada 6-9v kepada 3-5V dan ia akan terjadi disebabkan oleh pembahagi voltan R16 dan R17.

Setiap denyut emanating daripada monostable trigger dari bahagian analog iaitu IC2b , dimana outputnya digunakan sebagai strobe pulse yang akan dihantar kepada decoder IC4.

Strobe pulse ini akan kemudiannya triggers monostable IC2a buat kali kedua. Output pada tahap ini, $1\mu\text{s}$ denyut, digunakan untuk meresetkan counter IC3 kepada 0.

Oscillator dalam IC3 akan setkan masa counter kepada nilai yang hampir kepada 850 Hz. Lebih lama masa interval diantara dua degupan jantung, lebih tinggi counter state.

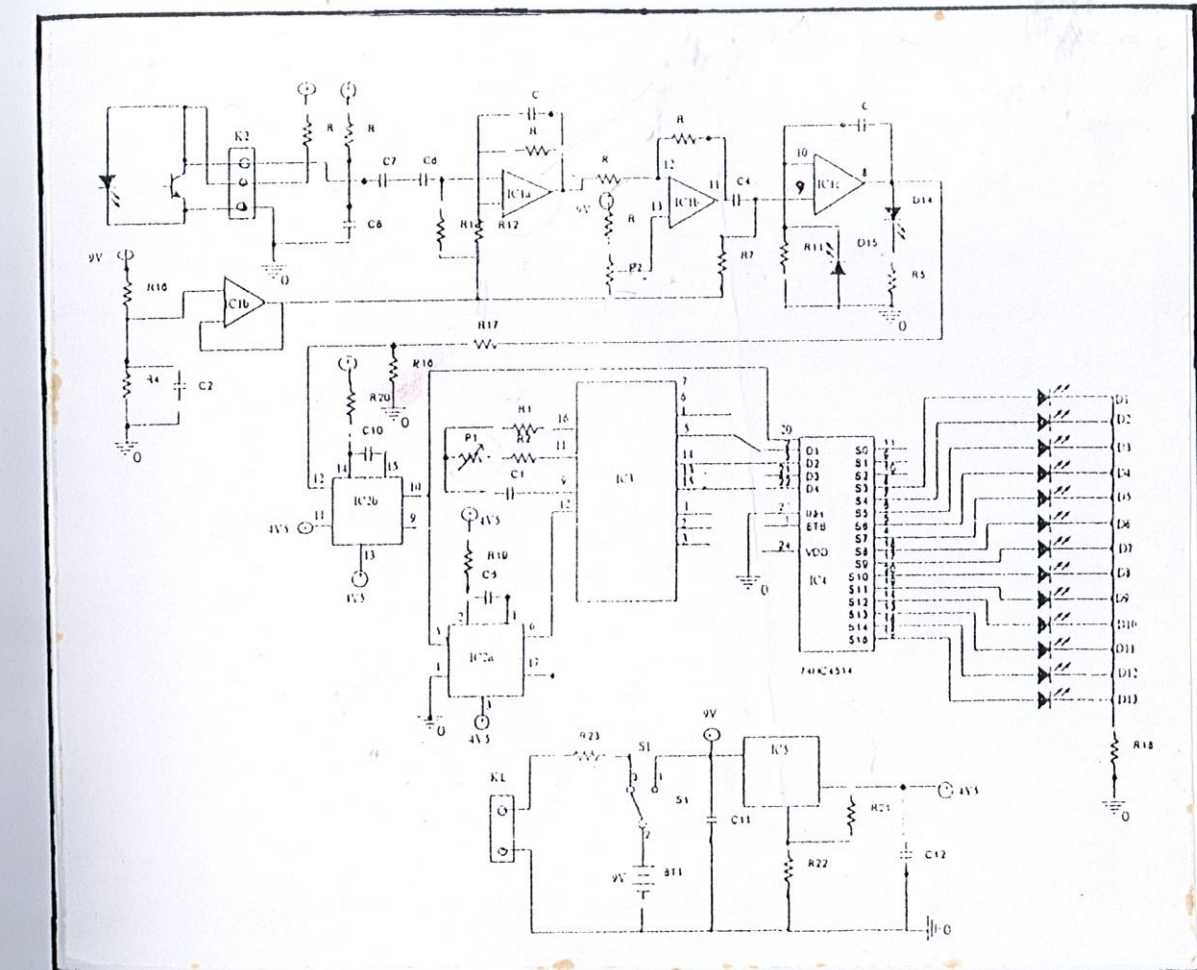
Frekuensi oscillator disetkan begitu supaya jarak degupan jantung yang paling rendah digunakan oleh counter (CT6-9) dan tidak overflow.

IC4 yang berfungsi sebagai decoder mempunyai 4 input yang akan menjadi transparent apabila strobe pulse capai pin 1.

garis pada busi ini akan kembali pada kondisi awal ketika pulsa IC2a pulsa kejadian. Output basis ini adalah pulsa dengan frekuensi nujuk mengekalkan counter IC3 keadaan 0

Digunakan dalam CO2 akan sekeras massa counter kepada nilai yang perwakilan kebasas 880 Hz. Jadi jika masa ini mewujudkan sifat sebagai berikut:
dapat jangka counter setiap

interval digunakan pada sifatnya; maka sifatnya adalah
bilangan rendah dibandingkan oleh counter (CTG-8) dan tidak berubah.
CO2 raya pendeksi sepadai decoder mempunyai A buat sifatnya.
digunakan sebagai output obis bin 1.



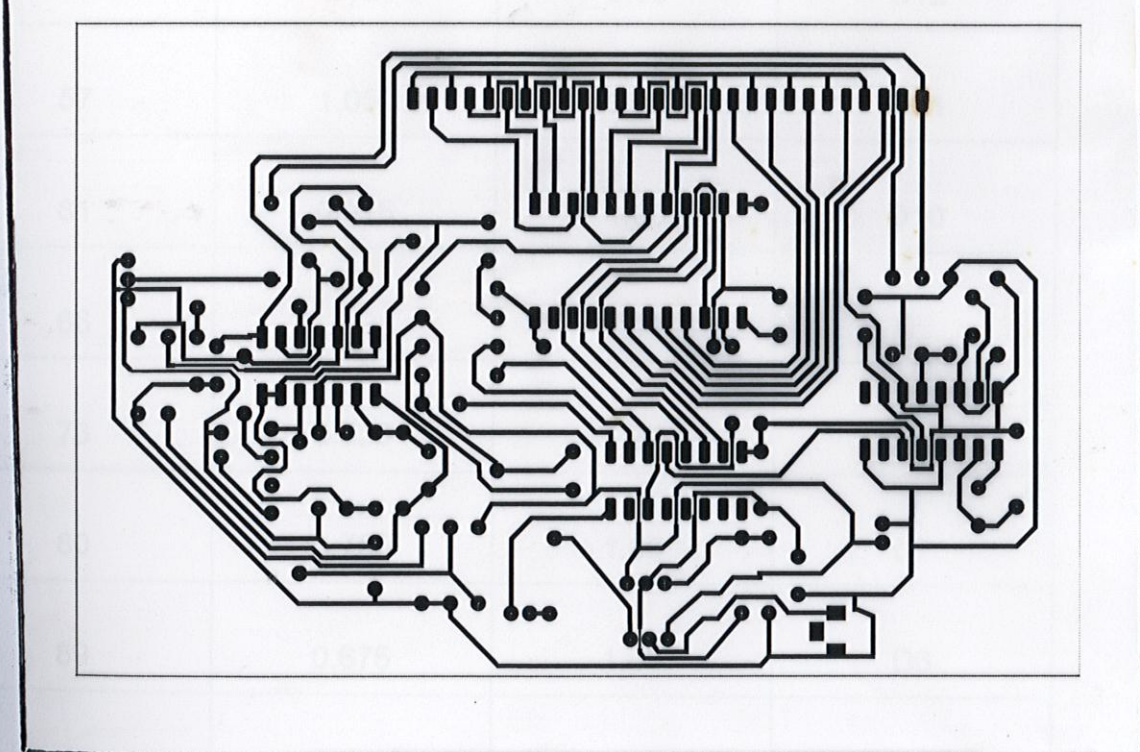
Litar 1

GAMBARAJAH LITAR PULSE OXIMETER

MACAH PULSE RATE

Bpm Sec Hz

1.28



Litar 2

GAMBARAJAH LITAR PCB PULSE OXIMETER

SYSTEMOX 32.IUR RATU HALARAJAH

KADAR PULSE RATE

bpm	Saat	Hz	LED
50	1.28	0.78	D13
53	1.125	0.89	D12
57	1.050	0.95	D11
61	0.975	1.03	D10
66	0.9	1.11	D9
73	0.825	1.21	D8
80	0.750	1.33	D7
89	0.675	1.48	D6
100	0.6	1.67	D5
124	0.525	1.91	D4
133	0.450	2.22	D3
160	0.375	2.67	D2
200	0.3	3.33	D1

Сделано
БАШГИДРОСОВЕРХВОДСТВОМ

СТАЯ ВОЛЧИХ ЯГАДОВ

03.0	ст	180.0	тцд
0.8	87.0	69.1	3.0
0.9	88.0	68.1	3.2
1.0	89.0	68.1	3.3
010	80.1	819.0	1.0
80	72.1	8.0	88
70	62.1	69.0	89
60	58.1	68.0	88
50	58.1	68.0	88
40	18.1	69.0	1001
30	22.1	028.0	661
20	18.1	076.0	081
10	88.8	0.0	500

SIMBOL-SIMBOL YANG DIGUNAKAN

SIMBOL	KETERANGAN
mm	Millimeter
V	Voltage
Bpm	Beats per minute
IR	Infra red
VHF	Very High Frekuensi
ECG	Electrocardiogram
R	Resistor
C	Capasitor
D	Diode
P	Preset
K	Socket
S	Single pole change over switch
Hz	Frekuencies unit (hertz)
Nf	Capasitive unit (nano farad)
KΩ	Resistor unit (kilo ohm)
PCB	Printed circuit board
DVM	Digital volt meter
CNY70	Telefunken or phototransistor

• Sensor yang digunakan dalam pulsometer ini tidak digunakan atau dijual dalam pasaran.

• Oleh itu untuk membuat alat dengan sendirinya.

SIMBOL-SIMBOL YANG DIGUNAKAN	
KETERAMBAWAH	SIMBOL
Minimeter	mm
Ampere	A
Beats per minute	bpm
Units less	IR
Area High Frequency	AVH
Electrodesignator	EOD
Resistor	R
Capacitor	C
Diode	D
Transistor	T
Semiper	S
Signa波斯改變過的英文	Hs
Frequensiini (fins)	N1
Capasitiini (condensatori)	KO
Resistoriini (diode)	P08
Entitas diantara posisi	DMM
Digital Volt Meter	OMV10
Tekananan diantara sifat	

5.2 SENSOR

Pulse rate meter mengambil kesempatan iaitu, hemoglobin mempunyai karakter penyerapan cahaya yang berbeza pada jarak gelombang yang berbeza. 2 spektra interest pada jarak gelombang isobectis of $\lambda = 805 \text{ nm}$, dimana penyerapan adalah bebas pada kandungan oksigen. Penyerapan yang diukur pada frekuensi ini digunakan sebagai bacaan rujukan. 2 spektra bergabung dengan baik pada $\lambda = 660 \text{ nm}$, yang digunakan sebagai point pengukuran. Unit yang lain biasanya menggunakan $\lambda = 660\text{nm}$ pengukuran dan $\lambda = 910\text{nm}$ sebagai rujukan kerana pilihan yang tepat.

Sensor terdiri daripada 2 LED iaitu satu LED biasa yang berwarna merah dan satu phototransistor yang berwarna hijau.

LED yang berwarna merah ini akan memancarkan cahaya dan LED yang berwarna hijau akan menerima cahaya dan menghantar kepada litar (IC1) dalam bentuk analog.

Untuk memastikan kefahaman sensor yang lebih senang, sensor yang rinkas telah dihasilkan tanpa menggunakan casing plastic.

Berikut adalah cara yang digunakan untuk menghasilkan sensor yang digunakan:-

- Sensor yang digunakan dalam pulsimeter ini tidak digunakan atau dijual dalam pasaran.
- Oleh itu sensor mestilah dibuat dengan sendiri.

- Cara yang paling senang ialah menghasilkan sensor dengan cepat dan tanpa menggunakan kos yang tinggi. Contohnya jika menggunakan pcb board.
 - Drill dua lubang di kedua-dua hujung board. Masukan IR diode ke dalam lubang pertama dan phototransistor dalam lubang kedua.
 - Sambungkan kedua-dua wayar kepada K2 dengan menggunakan kable 2-core.

5.3 KOMPONEN-KOMPONEN

COMPONENTS	
	(VALUES)
RESISTOR (PERINTANG)	
R1	= 470KΩ
R2, R4, R16	= 47KΩ
R5	= 680Ω
R6, R7, R11	= 1MΩ
R8	= 220KΩ
R10, R19, R20	= 10KΩ
R12	= 4.7KΩ
R13,R14	= 56KΩ
R15	= 270Ω
R17	= 39 KΩ
R18	= 1KΩ
R21	=1.5KΩ
R22	= 3.3KΩ
R23	= 330KΩ
P1, P2	= 10KΩ

R1 = 10KΩ	R1
R2, R4, R6 = 47KΩ	R2
R3 = 680Ω	R3
R5, R7, R11 = 1MΩ	R5
= 550KΩ	R8
R10, R18, R50 = 10KΩ	R9
R12 = 4.7KΩ	R10
R13, R14 = 20KΩ	R11
R15 = 510Ω	R12
R16 = 39KΩ	R13
R17 = 1KΩ	R14
R21 = 1KΩ	R15
R22 = 39KΩ	R16
R23 = 390KΩ	R17
= 10KΩ	R18

РЕСИСТОР
(ПЕРЕЧИСЛЕНИЕ)

CAPASITOR

C1, C5	= 10nF
C2	= 1μF, 16V
C3	= 47nF
C4, C10	= 1nF
C6, C7	= 4.7μF, 16V
C9	= 100pF (transistor)
C12	= 100nF

SEMIKONDUKTOR

D1-D13	= LED (red)
D14	= LED (green)
D15	= IN4148

CAPACITOR	
V _{DD} =	C1, C2
V _{DD} , V _{EE} =	C3, C4
R _{ES} =	C5
R _{IN} =	C6, C10
V _{DD} , V _{EE} , A =	C7, C9
R _{DD} =	C8
R _{DD} =	C15

SEMICONDUCTOR	
D1-D13 = LED (blue)	D14
(neon) D3, J =	D15
S1 =	D16

IC	IC1= LM 324 IC2=4528 IC3=4060 IC4=74HC4514 IC5=CNY70 (telefunken or discrete IR Diode and IR phototransistor) IC6=LM317
----	---

MISCELLANEOUS	K2= 2 off soldering pin K2= 3 pin terminal S1= single pole switch IR diode= SFH 212 FA Phototransistor= SFH314
---------------	--

3.4 MERAUAT UV BOARD

STEP 1

- Mengambil komponen dengan menggunakan mikroskop.

STEP 2

- Memasang komponen pada board.

STEP 3

- Memasang komponen pada board.

STEP 4

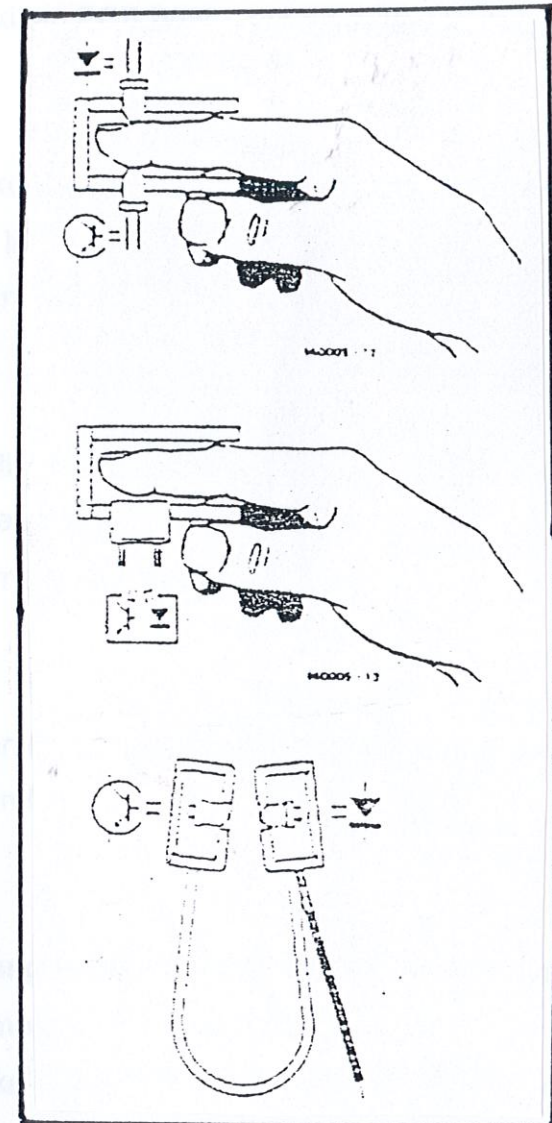
- Memasang komponen pada board.
- Memasang komponen pada board.
- Memasang komponen pada board.

STEP 5

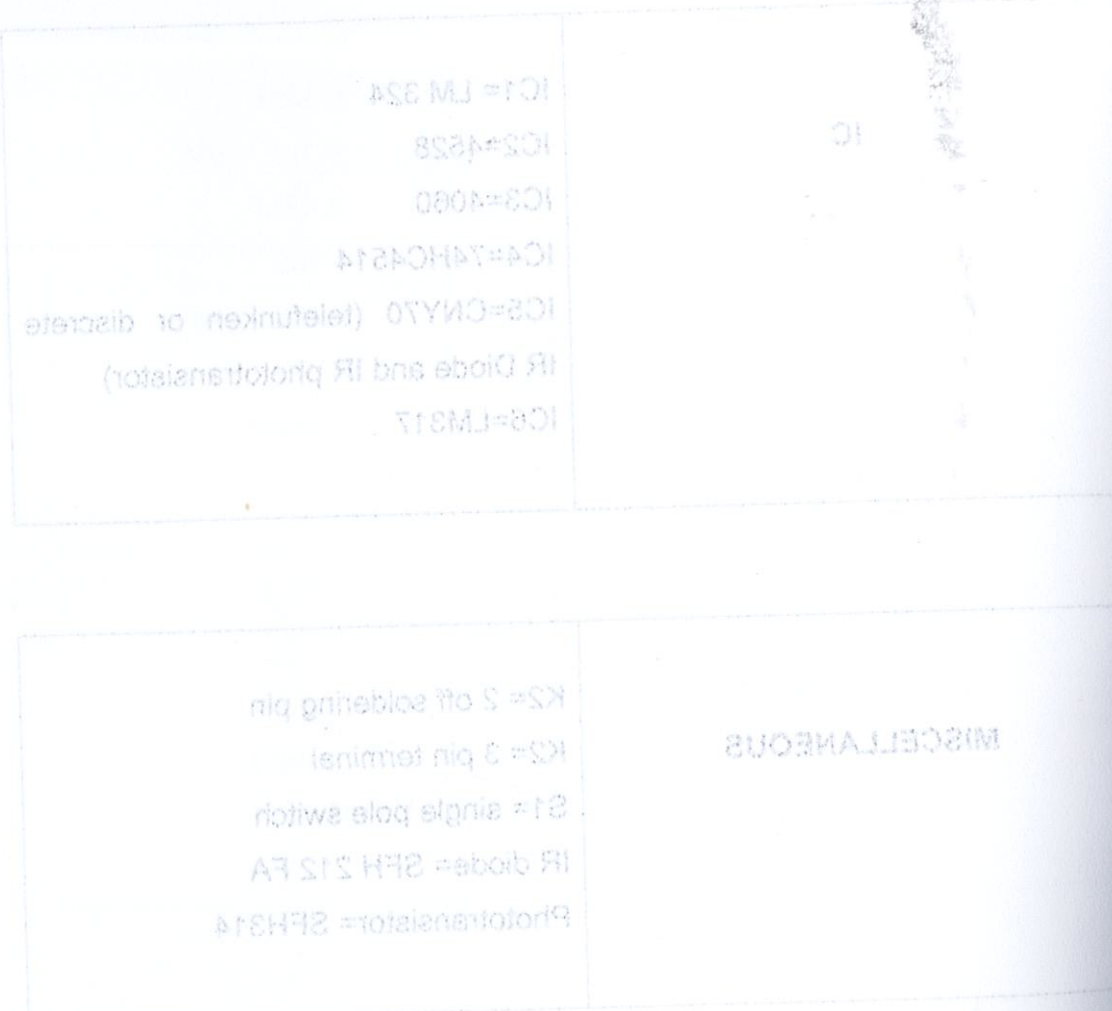
- Memasang komponen pada board.
- Memasang komponen pada board.
- Memasang komponen pada board.

STEP 6

- Memasang komponen pada board.
- Memasang komponen pada board.
- Memasang komponen pada board.



RAJAH 6.0
GAMBARAJAH SENSOR



5.4 MENBUAT UV BOARD

STEP 1

- Membuat lukisan skematik dengan menggunakan Microsim.
- Membuat lukisan PCB board dan print atas kertas minyak.

STEP 2

- Memasang komponen pada lukisan PCB board diatas microfoam.
- Memastikan litar dan komponen dipasang dengan betul dibawah tunjuk ajar En.Safari.

STEP 3

- Menukar sedikit lukisan dan peletakan komponen berdasarkan kemahuan pensyarah.
- Dibenarkan membuat 'expose UV board'.

STEP 4

- Mendedahkan kepada cahaya UV dan membuat eching dengan menggunakan Forric Chloride dan developer.

STEP 5

- Menbuat lubang pada UV board dan memasang komponen.
- Memateri komponen dan membuat test.
- Memeriksa jika ada litar pintas atau loose connection.

O.S. HALAR
ROSEMAR HALARIAHNAO

- STEP 1
- Mengaitkan VU BOARD
- STEP 2
- Memasang komponen pada jarak PCB pasang ditiakau Microlayout
 - Memasang komponen pada jarak PCB pasang ditiakau Microlayout
- STEP 3
- Memasang komponen pada jarak PCB pasang ditiakau Microlayout
 - Memasang komponen filter dan komponen ditarik dengan perlahan
 - Untuk alat ESD Safety
- STEP 4
- Mengaitkan sekitar tiakau dan bantalan komponen perdesakan
 - Kemasukan bantalan
 - Dipasangkan mempersiapkan VU pasang
- STEP 5
- Mengaitkan keadaan VU dan memastikan dengan menggunakan Remote Control atau developer
 - Mengaitkan Remote Control atau developer
- STEP 6
- Mengaitkan jarak PCboard pada VU pasang dan memasang komponen
 - Memasang komponen dan memastikan saif
 - Memeriksa jika ada latar birus atau jasa connection

- ### IC 5.5 IC-IC YANG DIGUNAKAN DALAM PULSE OXIMETER
- Component yang digunakan dalam Pulse Oximeter
- 1. IC 1** Untuk menghasilkan sinyal pulsa dengan tingkat volatansi yang cukup
LM 324 / LOW POWER QUAD OPERATIONAL AMPLIFIER
 - 2. IC 2** Untuk menghasilkan sinyal pulsa dengan tingkat volatansi yang cukup
4528 / HEF4528BMSI / DUAL MONOSTABLE MULTIVIBRATOR
 - 3. IC 3** Untuk menghasilkan sinyal pulsa dengan DC gain dan sinyal yang cukup kuat
4060 / 74HC / HCT4060 / 14 – STAGE BINARY RIPPLE COUNT WITH OSCILLATOR
IC ini boleh dioperasikan dengan menggunakan bekalan kuasa +5V
 - 4. IC 4**
74HC4514 / 74HC/HCT4514 / 4 – to -16 LINE DECODER/ DEMULTIPLEXER WITH INPUT LATCHES
• Voltan DC yang mempunyai gain yang tinggi (100 dB)
 - 5. IC 5** Untuk menghasilkan sinyal pulsa dengan tingkat volatansi yang cukup
CNY70 / REFLECTIVE OPTOSENSOR WITH TRANSISTOR OUTPUT
• Current drain yang sedikit ($700 \mu\text{A}$)
 - 6. IC 6** Untuk menghasilkan sinyal pulsa dengan tingkat volatansi yang cukup
LM 317 / 3 – TERMINAL ADJUSTABLE REGULATOR
IC 1 • Untuk voltan 1.2V dan 1.5V
 - LM 324 / LOW POWER QUAD OPERATIONAL AMPLIFIER

IC ini mengandungi empat independent gain yang tinggi, mempunyai compensated operational amplifier dalaman. Ia dicipta khas untuk mengoperasikan kemasukan sinle power supply bagi satu jarak voltage yang luas.

Pengoperasian dari pembahagian kuasa bekalan juga boleh dicapai dan bekalan yang rendah mengurangkan magnitude bagi voltan bekalan kuasa.

Pengaplikasian kawasan merangkumi amplifiers, DC gain dan semua litar conventional op-amp.

IC ini boleh dioperasikan dengan menggunakan bekalan kuasa +5V. Berlindak sebaliknya dengan IC 741 yang akan memberikan signal yang dalam bentuk analog dan outputnya juga adalah gelombang sinusoidal berfrekuensi tinggi.

- Frekuensi compensated dalaman bagi gain
 - Voltan DC yang mempunyai gain yang tinggi (100 dB)
 - Bandwidth yang luas (unity gain) 1 MHz
 - Linkungan bekalan kuasa yang luas
 - Current drain yang sedikit. ($700 \mu\text{A}$)
 - Input offset voltan yang rendah 2mV dan arus offset 5nA
 - Output voltan swing yang tinggi.

LM 324 / LOW POWER QUAD OPERATIONAL AMPLIFIER

IC ini digunakan dalam bahagian analog litar pulse oximeter ini. IC ini memainkan peranan yang amat penting dalam menjalankan litar ini. Tugas umumnya adalah bertindak sebagai amplifier tetapi ia juga melakukan fungsi-fungsi lain secara langsung dan tidak langsung.

IC ini terbahagi kepada beberapa bahagian logic, dan setiap bahagian tersebut memainkan peranan yang penting :-

RAJAH 8.1

IC1a

FUNCTIONAL DIAGRAM

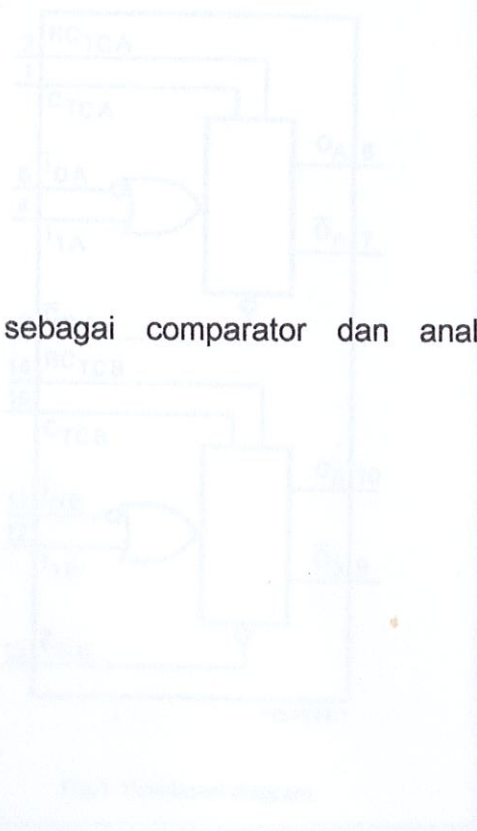
Bertindak sebagai op-amp linear x200 yang akan membesarakan signal yang diterimanya dalam bentuk analog dan outputnya juga adalah gelombang yang dalam bentuk analog.

IC1b

Bahagian ini adalah buffer

IC1d

Bahagian ini bertindak sebagai comparator dan analog monostable multivibrator.



IC 2

4528 / HEF4528BMSI / DUAL MONOSTABLE MULTIVIBRATOR

IC ini ialah satu logic yang mempunyai monostable multivibrator. Setiap multivibrator mempunyai satu input rendah yang aktif, input yang tinggi, low clear direct input, dan output biasa dan dua pin untuk menyambungkan komponen timing dalaman.

RAJAH 6.1
FUNCTIONAL DIAGRAM

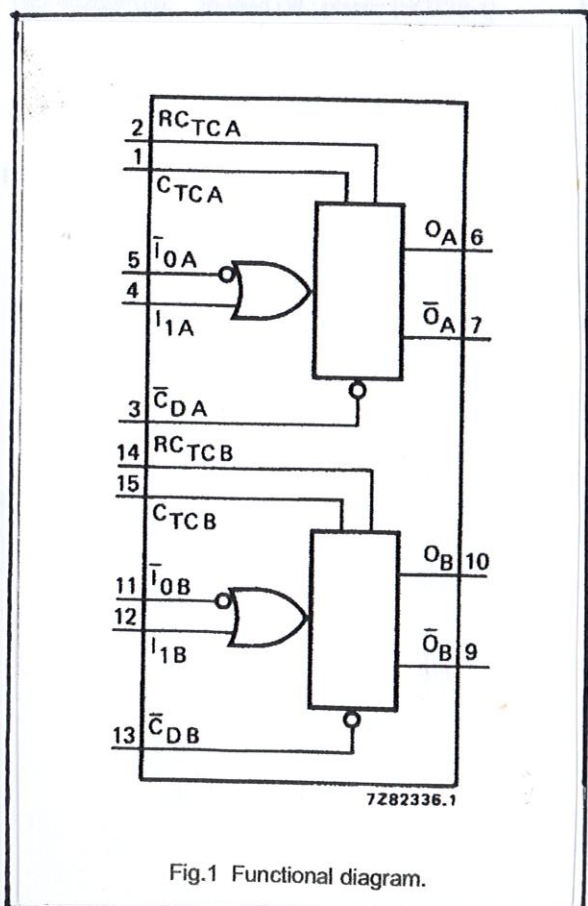


Fig.1 Functional diagram.

RAJAH 6.2 LOGIC DIAGRAM FOR A DOUBLE MULTIVIBRATOR

Double multivibrator circuit diagram showing two flip-flops connected in series. The first flip-flop has inputs I_A and \bar{C}_{DA} , and outputs \bar{O}_A and O_B . The second flip-flop has inputs \bar{C}_{DB} and I_B , and outputs \bar{O}_B and O_A . The outputs O_A and O_B are connected in series to provide the final output.

RAJAH 6.2 PINNING DIAGRAM

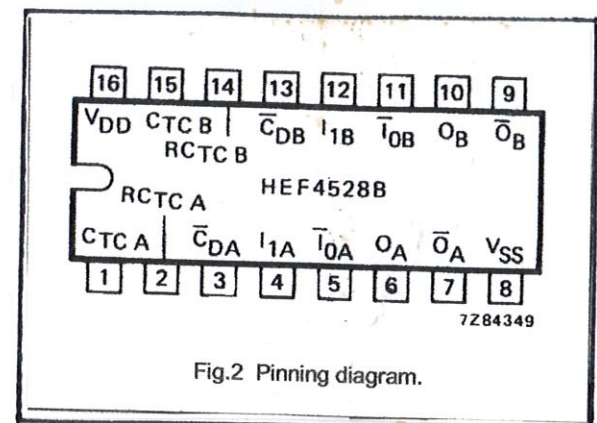


Fig.2 Pinning diagram.

HEF4528BP(N):	16-lead DIL; plastic (SOT38-1)
HEF4528BD(F):	16-lead DIL; ceramic (cerdip) (SOT74)
HEF4528BT(D):	16-lead SO; plastic (SOT109-1)
():	Package Designator North America

PINNING	
\bar{I}_{OA} , \bar{I}_{OB}	input (HIGH to LOW triggered)
I_{1A} , I_{1B}	input (LOW to HIGH triggered)
\bar{C}_{DA} , \bar{C}_{DB}	clear direct input (active LOW)
O_A , O_B	output
\bar{O}_A , \bar{O}_B	complementary output (active LOW)
$C_{TC\ A}$, $C_{TC\ B}$	external capacitor connections ⁽¹⁾
$R_{TC\ A}$, $R_{TC\ B}$	external capacitor/ resistor connections

7284349

RAJAH 6.2 PINNING DIAGRAM

LOGIC DIAGRAM FOR A DOUBLE MULTIVIBRATOR

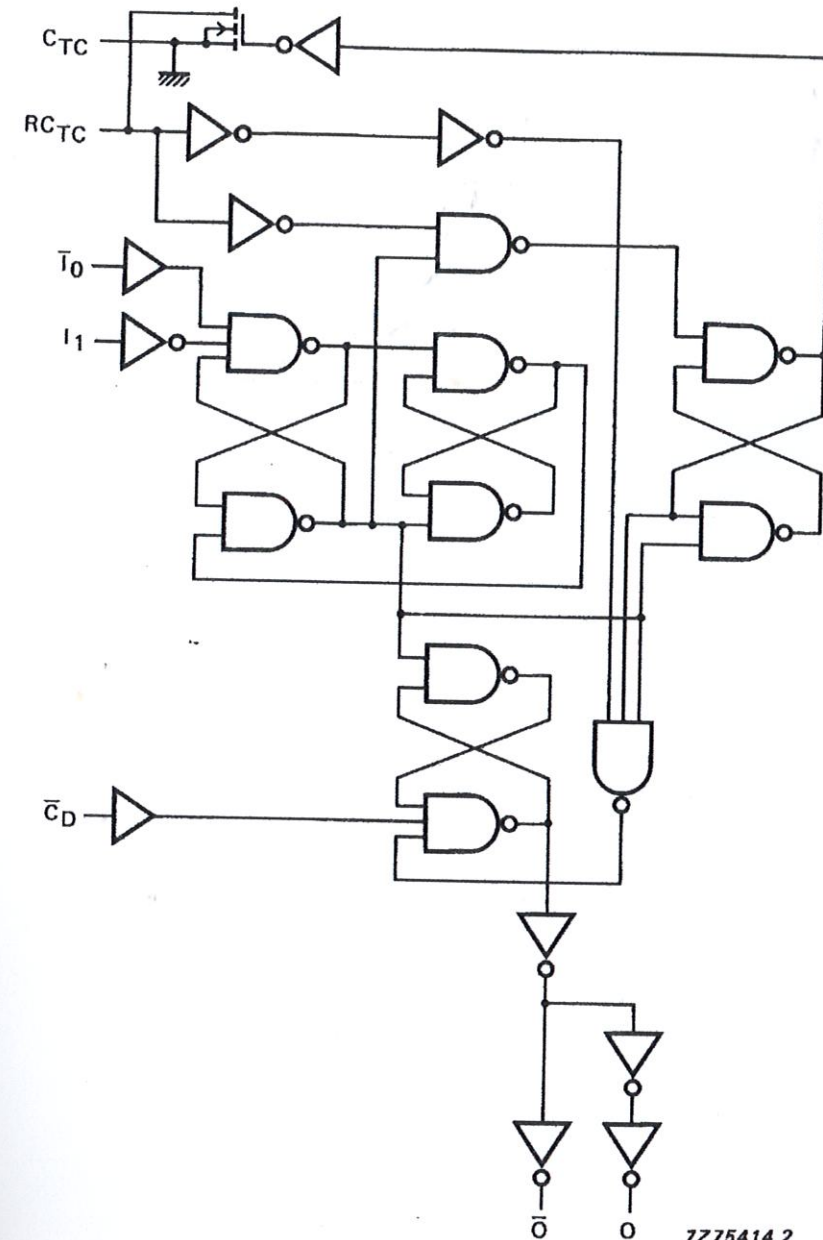


Fig.3 Logic diagram (one monostable multivibrator).

RAJAH 6.3
LOGIC DIAGRAM (SATU MONOSTABLE MULTIVIBRATOR)

IC 3

4060 / 74HC / HCT4060 / 14 – STAGE BINARY RIPPLE COUNTER WITH OSCILLATOR

PENGENALAN UMUM

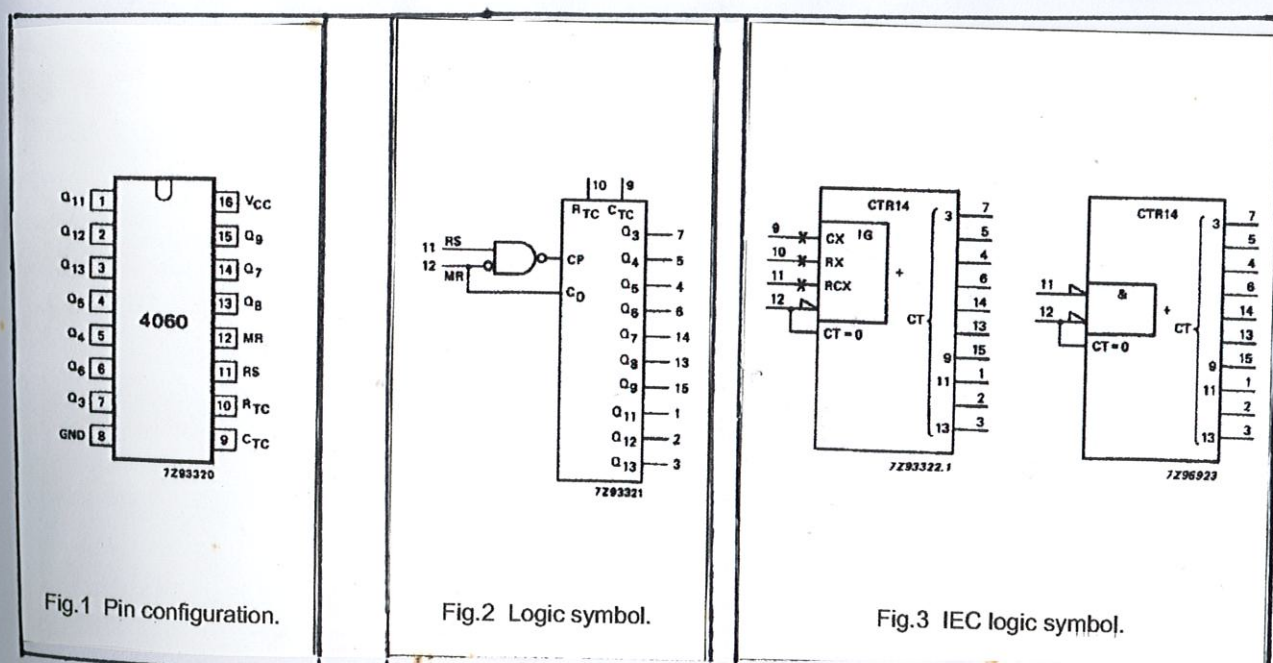
IC ini adalah IC Si-gate CMOS yang mempunyai halaju yang tinggi dan pinnya yang sesuai untuk kegunaan IC 4000B. IC ini mempunyai 14-stage ripple carry counter / pembahagi dan osilator dengan 3 terminal osilator, 10 output setelah di buffered dan satu reset master overriding asynchronous.

Konfigurasi osilator ini membenarkan penciptaan litar osilator kristal. Osilator ini mungkin diganti dengan external oscillator clock signal.

CIRI-CIRI IC

- Semua komponen aktif dalam chip
- Mempunyai konfigurasi osilator kristal / RC
- Output capability
- Kategori Icc: MSI

PIN DESCRIPTION		
PIN NO.	SYMBOL	NAME AND FUNCTION
1, 2, 3	Q ₁₁ to Q ₁₃	counter outputs
7, 5, 4, 6, 14, 13, 15	Q ₃ to Q ₉	counter outputs
8	GND	ground (0 V)
9	C _{TC}	external capacitor connection
10	R _{TC}	external resistor connection
11	RS	clock input/oscillator pin
12	MR	master reset
16	V _{CC}	positive supply voltage



RAJAH 6.4

KONFIGURASI PIN, SYMBOL LOGIC, SYMBOL LOGIC IEC PENERANGAN PIN

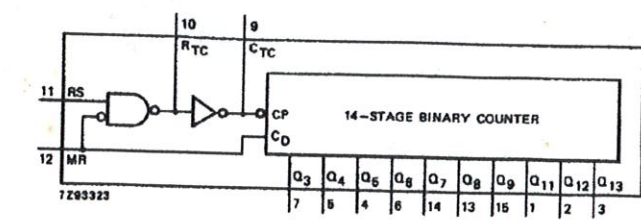


Fig.4 Functional diagram.

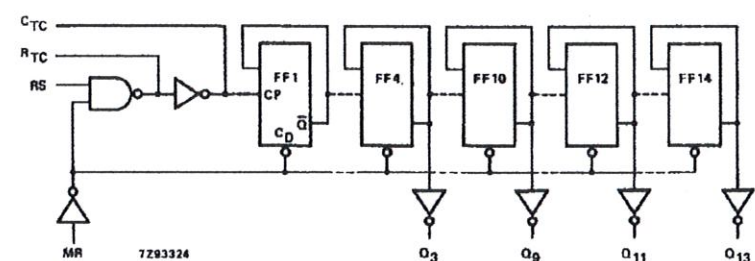


Fig.5 Logic diagram.

KONFIGURASI PIN SYMBOL LOGIC SYMBOL LOGIC
REMBAGUWA PIN
KONFIGURASI PIN SYMBOL LOGIC SYMBOL LOGIC
REMBAGUWA PIN

FUNCTIONAL & LOGIC DIAGRAM

TIMING DIAGRAM

Program 10: 128 words serial writing, delay by 1000 samples

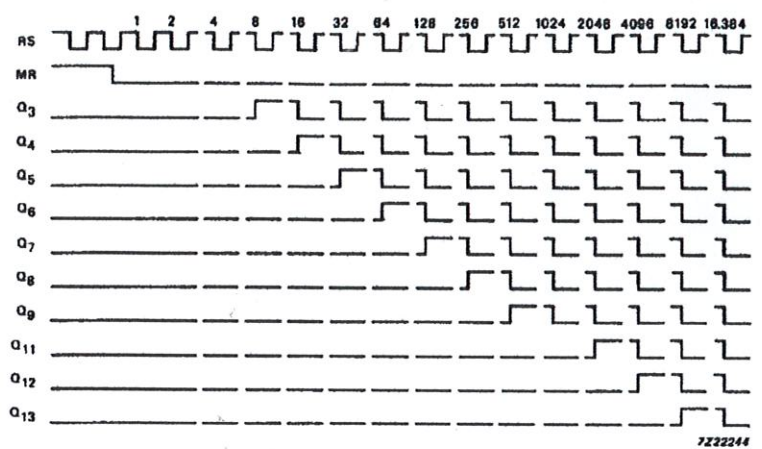


Fig.6 Timing diagram.

TIMING DIAGRAM

PROGRAM & LOGIC DIAGRAM

Penggunaan IC 4060 adalah sangat penting dalam litar pulse oximeter kerana ia tidak hanya melakukan satu fungsi sahaja malahan ia dapat menjalankan beberapa fungsi dalam satu masa.

Diantaranya ialah :- gate CMOS yang mempunyai hantaran tinggi dan pembiakan yang berantara untuk kegunaan IC 4060. Ia ini mempunyai 14 pin yang

- Ia bertindak sebagai decoder dan mempunyai empat binary input dengan latches. Ia bukan berdiri sendiri dengan enable input (LE) dan low enable input.
- Mengawal counter yang aktif dan mempunyai nilai yang tinggi.
- Sebagai timer. Walaupun output terdiri akan ditentukan oleh data, apabila LE mengambil rendah, data akan diimpan dalam latches dan output menjadi.
- Pembahagi frekuensi

Apabila LE adalah rendah, output yang akan dihasilkan akan berada dalam latches adalah tinggi dan sebaliknya jika dalam keadaan LE adalah tinggi, semua output yang terkait adalah rendah.

Enable Input / LE bukan memberikan apa ada kosan kepada kondisi latches.

IC ini mencirikan

- Non inverting outputs
- Output capability
- Low current/Mos

MARSAID OMIMIT

IC 4

74HC4514 / 74HC/HCT4514 / 4 – to -16 LINE DECODER/ DEMULTIPLEXER WITH INPUT LATCHES

IC ini adalah IC Si-gate CMOS yang mempunyai halaju yang tinggi dan pinnya yang sesuai untuk kegunaan IC 4514. IC ini mempunyai 4 hingga 16 decoders / demultiplexers yang mempunyai empat binary input dengan latches, latch terdiri daripada enable input (LE) dan low enable input (E). 16 output adalah sangat aktif dan mempunyai nilai yang tinggi.

Apabila LE adalah tinggi, output terpilih akan ditentukan oleh data. Apabila LE menjadi rendah, data akan disimpan dalam latches dan output masih berada dalam keadaan stabil.

Apabila E adalah rendah, output yang akan dipilih oleh kandungan dalam latch adalah tinggi dan sebaliknya jika dalam keadaan E adalah tinggi, semua output yang terhasil adalah rendah.

Enable input / E tidak memberikan apa-apa kesan kepada kedudukan latch.

IC ini mencirikan :-

- Non inverting outputs
- Output capability
- Icc category: MSI

Fig.2 Logic symbol

Fig.3 MSI logic symbol

KONFIGURASI PIN, SIMBOL LOGIK, SIMBOL LOGIK IEC

DEMULTIPLEXER WITH INPUT LATENCY

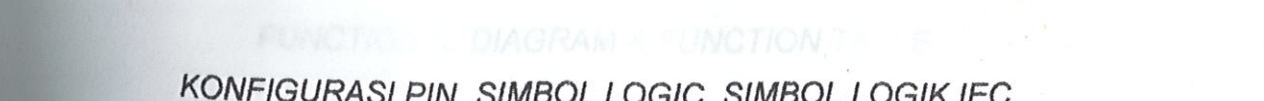
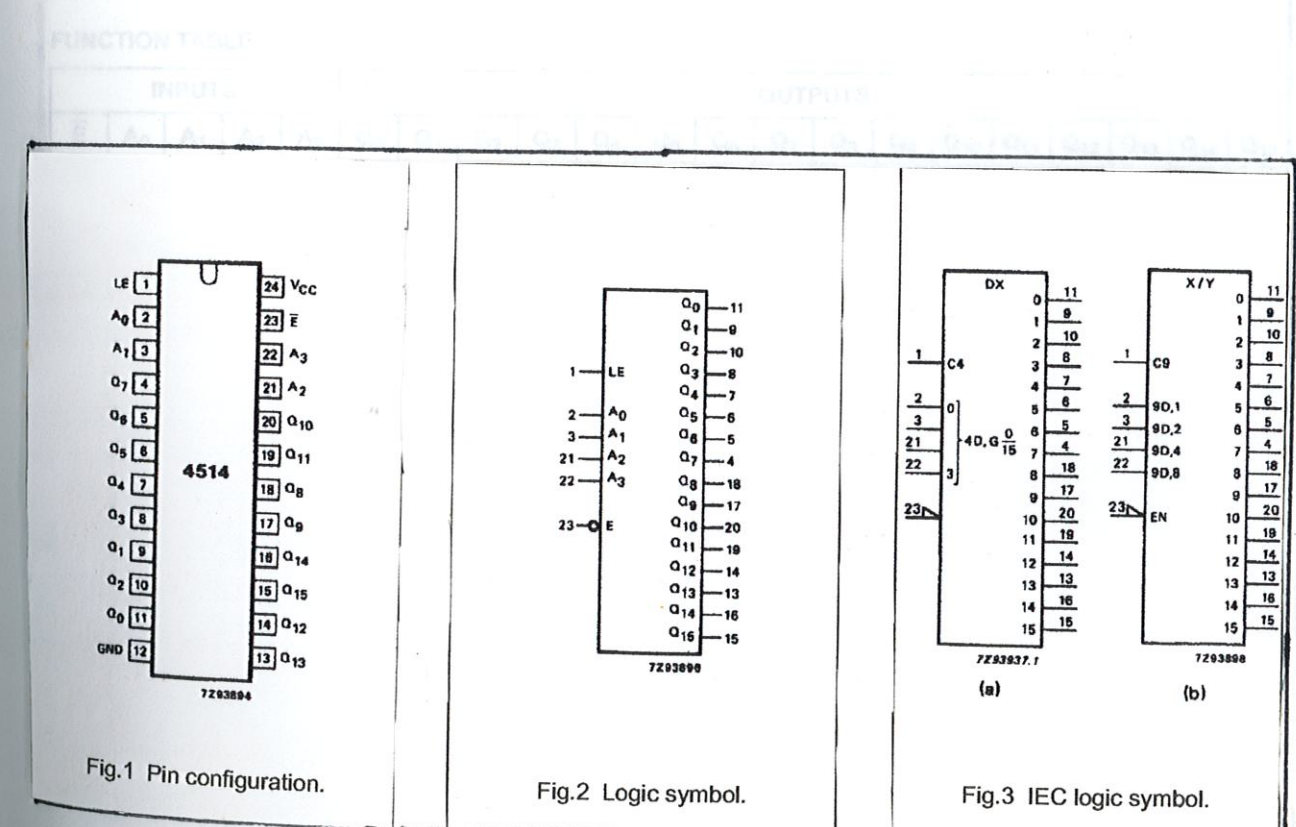
IC ini merupakan IC 4-to-16 LINE DECODER yang menggunakan teknologi CMOS dan mempunyai tipe logik AND GATE. IC ini memiliki 24 pin pada bagian bawah dan 4 pin pada bagian atas. IC ini mempunyai 4 pin input address (A₀ to A₃) dan 1 pin input enable (LE). IC ini mempunyai 16 pin output multiplexer (Q₀ to Q₁₅) dan 1 pin output enable (E).

Apa saja fungsi pin pada IC ini? Apa saja fungsi pin pada IC ini? Apa saja fungsi pin pada IC ini? Apa saja fungsi pin pada IC ini?

Apa saja fungsi pin pada IC ini? Apa saja fungsi pin pada IC ini? Apa saja fungsi pin pada IC ini? Apa saja fungsi pin pada IC ini? Apa saja fungsi pin pada IC ini?

fungsi input V_{cc} ini merupakan pasokan daya kepadanya

PIN NO.	SYMBOL	NAME AND FUNCTION
1	LE	latch enable input (active HIGH)
2, 3, 21, 22	A ₀ to A ₃	address inputs
11, 9, 10, 8, 7, 6, 5, 4, 18, 17, 20, 19, 14, 13, 16, 15	Q ₀ to Q ₁₅	multiplexer outputs (active HIGH)
12	GND	ground (0 V)
23	E	enable input (active LOW)
24	V _{cc}	positive supply voltage



KONFIGURASI PIN, SIMBOL LOGIK, SIMBOL LOGIK IEC

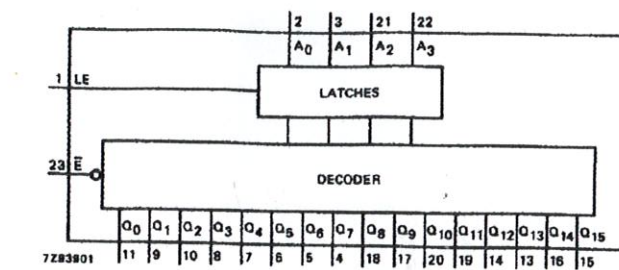


Fig.4 Functional diagram.

FUNCTION TABLE

INPUTS					OUTPUTS															
\bar{E}	A ₀	A ₁	A ₂	A ₃	Q ₀	Q ₁	Q ₂	Q ₃	Q ₄	Q ₅	Q ₆	Q ₇	Q ₈	Q ₉	Q ₁₀	Q ₁₁	Q ₁₂	Q ₁₃	Q ₁₄	Q ₁₅
H	X	X	X	X	L	L	L	L	L	L	L	L	L	L	L	L	L	L	L	L
L	L	L	L	L	H	L	L	L	L	L	L	L	L	L	L	L	L	L	L	L
L	H	L	L	L	L	H	L	L	L	L	L	L	L	L	L	L	L	L	L	L
L	L	H	L	L	L	L	H	L	L	L	L	L	L	L	L	L	L	L	L	L
L	H	H	L	L	L	L	L	H	L	L	L	L	L	L	L	L	L	L	L	L
L	L	L	H	L	L	L	L	L	H	L	L	L	L	L	L	L	L	L	L	L
L	H	L	H	L	L	L	L	L	H	L	L	L	L	L	L	L	L	L	L	L
L	L	H	H	L	L	L	L	L	H	L	L	L	L	L	L	L	L	L	L	L
L	H	H	H	L	L	L	L	L	H	L	L	L	L	L	L	L	L	L	L	L
L	L	L	H	H	L	L	L	L	L	H	L	L	L	L	L	L	L	H	L	L
L	H	L	H	H	L	L	L	L	L	H	L	L	L	L	L	L	L	H	L	L
L	L	H	H	H	L	L	L	L	L	H	L	L	L	L	L	L	L	H	L	L
L	H	H	H	H	L	L	L	L	L	H	L	L	L	L	L	L	L	H	L	L

FUNCTIONAL DIAGRAM & FUNCTION TABLE

KONFIGURASI PIN SYMBOL LOGIC SYMBOL LOGIC IEC

Diagram logik yang diambil sebagian yang ada pada buku teks Matematika digital untuk memudahkan pemahaman yang lebih baik.

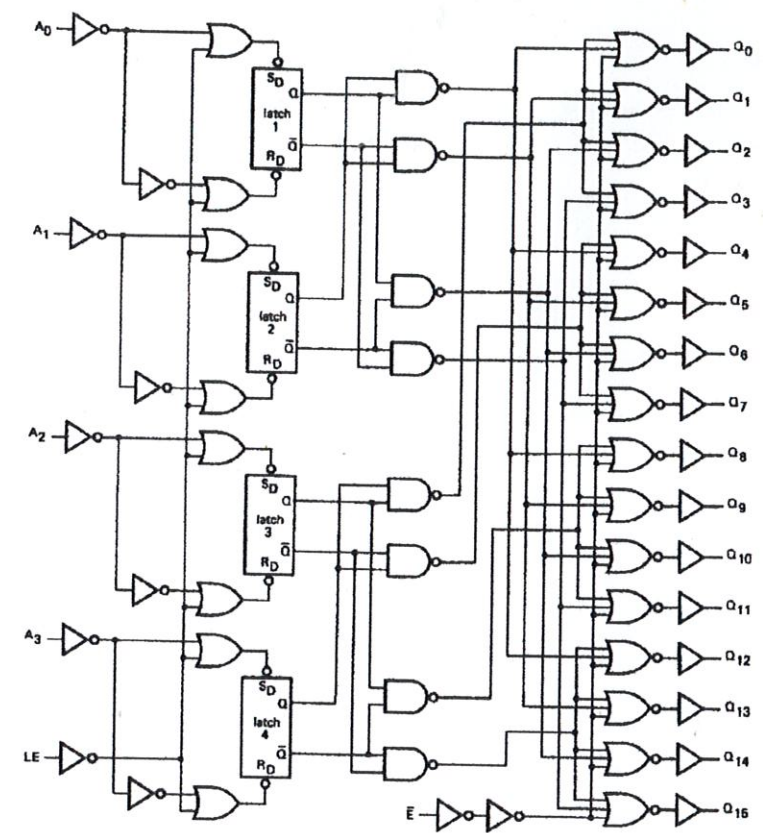


Fig.5 Logic diagram.

GAMBARAJAH LOGIK

FUNCTIONAL DIAGRAM & FUNCTION TABLE

IC ini memainkan peranan yang amat penting sekali dalam litar ini. Penggunaan ic ini adalah untuk menukar maklumat yang terdapat dalam bentuk analog kepada digital.

Bukan itu sahaja ia juga merupakan IC yang terakhir sebelum ia ke display yang dalam bentuk LED.

Walaupun tidak banyak fungsi yang dapat dilaksanakan olehnya , diantaranya ialah :-

- Digital multiplexing

- Address decoding

- Decoder for 7 segment display

- Hexadecimal to BCD decoding

Mengapa ia dikenali sebagai

- penyelesaian dalam satu chip
- tidak perlu komponen eksternal
- signal output yang kuat
- suhu operasi yang lebar
- detector daya yang kuat

GAMBARANAH FOGIK

IC 5

CNY70 / REFLECTIVE OPTOSENSOR WITH TRANSISTOR OUTPUT

ia mempunyai satu pembinaan yang padat dimana ia menghasilkan sumber cahaya dan detector atau pengesan disusun diarah yang sama untuk mengesan kehadiran objek dengan menggunakan IR beam yang terpantul dari objek.

Panjang gelombang atau wavelength yang digunakan adalah 950 nm dan detectornya terdiri daripada phototransistor.

PENGGUNAAN

- Peranti Opto-elektronik scanning dan switching,

Mengapa ia digunakan ?

- pembuatan yang padat
- tidak perlu setting
- signal output yang tinggi
- suhu coefficient yang rendah
- detector dibekalkan dengan fiber optic

IC 8
CN3401 NEUTROPIGATIVE OPTOGENITOR WITH TRANSISTOR OUTPUT

merupakan suatu perpaduan antara penguasaan dan pengeluaran sinyal dengan menggunakan teknologi optoelektronik. IC ini mempunyai dua buah terminal output yang boleh digunakan sebagai collector atau emitter. Untuk mendekati keadaan operasi dengan menggunakan IR pada sinyal terbalik di sini diperlukan.

Penggunaan dalam rangkaian adalah dengan menyambungkan pin 3 dan pin 4. Penggunaan terdiri daripada projektor laser dan

PENGUNAAN

- Peranti Opto-elektronik asasnya dari silikon.

Mendekati ia digunakan :

- pemantulan sinyal basel

titik bahan setinggi

titik output yang tinggi

sumbu cecairan yang rendah

detектор dipersiksi dalam titik optoelektronik

IC 6
LM 317 / 3 – TERMINAL ADJUSTABLE REGULATOR

merupakan suatu projektor laser

IC ini berkebolehan untuk memberi supply 1.5A. Ia senang untuk digunakan dan hanya memerlukan 2 resistor luaran untuk set voltan output. Ia mempunyai Full Overload Protection dan safe area protection. IC ini juga digunakan untuk menggantikan regulator 3-terminal. Ia digunakan kerana :

- R11
- mempunyai output TOLERANCE 1%
 - mempunyai maximum 0.01% line regulation
 - output current 1.5A
 - current limit constant with temperature
 - 80dB ripple rejection
 - outputnya adalah bebas daripada litar kerana ia dilindungi

R14

Ia mengandungi dua buah resistor luaran yang boleh dimuatkan membentuk dua buah titik pengukuran.

R23

Jika menggunakan dua buah resistor luaran, ia boleh dimuatkan semula melalui

IC 8

MOTOR TERMINAL ADJUSTABLE REGULATOR

IC ini juga digunakan untuk membangunkan terminal 3-terminal. IC ini juga digunakan untuk membangunkan terminal 3-terminal. IC ini juga digunakan untuk membangunkan terminal 3-terminal. IC ini juga digunakan untuk membangunkan terminal 3-terminal.

menempatkan output TOLERANCE 1%

output current until ≤ 10.0 amperes

output current ≥ 0.0

current limit control with temperature

80dB input feedback

ignubnib si onsek esniq istil abegheb aedeb haloba ayntuquo

PENGGUNAAN PERINTANG

R1

Sebagai penentu frekuensi osilator

R3 – R4

Bertindak sebagai low pass filter iaitu dengan merendahkan voltan masukan daripada 9V kepada nilai yang separuh daripada asalnya iaitu menjadi 4.5 V.

C6 R11

Bertindak melanjutkan tindakan low pass filter (cut off frekuensi 15Hz) dan suppress any residual interference. ini berlaku di bahagian analog litar.

C5

R14

ia mengelakan frekuensi tinggi daripada diproses. ia hanya membenarkan signal yang kecil.

C3

R23

Jika menggunakan bateri sebagai punca bekalan bateri itu boleh di cas semula melaluinya.

Penggunaan capacitor

C8

- ia menghalang pengaliran masuk terus frekuensi yang tinggi bersama gabungan R14. ia juga membenarkan aliran signal yang rendah.

C6 dan C7

- kedua-dua kapasitor ini berfungsi sebagai coupling capacitor yang menghalang pengaliran arus terus.

C5

- ia adalah sebagai low pass filter yang kedua

C3

- menyebabakan output monostable tinggi

MASALAH

masalah
kelelahan
Sedih

CB

• is sensitive to base filter and reduces

CB

• reduces risk of mouth ulcer

Finding a solution

CB

• air temperature
humidity makes teeth feel more
tired

CB

MASALAH

Masalah yang dihadapi oleh kami semasa membuat projek ini adalah banyak. Diantaranya adalah terpaksa membuat semula litar dengan menggunakan UV board. Kami juga terpaksa membuat lukisan skimatik dan lukisan PCB board untuk expose pada board kami. Kami terpaksa menukar cara pemasangan LED dengan menggunakan wayar rainbow.

Projek kami tidak dapat berfungsi dengan sepenuhnya kerana masalah yang tidak dapat dikesan. Akhirnya kami dapat mengesan masalah kerana tidak dipasteri dengan betul dan silap pemasangan kutub komponen. Setelah mengenalpasti masalah kami dapat membaikinya.

HAJARAH

KESIMPULAN

MASALAH

Massalih alias diberi sebutan Kasi mempunyai bolak ini selepas pernubak. Dilebih-lebihnya dia selalu terbiasa mempunyai telur dalam suatu wadah plastik U/A posid. Kasi tidak tahuas mempunyai julisan spikulatik dan julisan POF posid tuluk ekpoed basa posid kasi. Kasi terbiasa memuntik dalam pernubak U/EQ dan suku mempunyai wadah susupan.

Bolak juga tidak dapat berlunasi dengan sepenuhnya kerana massalih alias tuluk dia buat diksesu. Akhirnya Kasi dapat membesar ulasan tuluk dia setelah dia buat dan sial bersesuaian kumpul kumbang. Selepas mengambil massa air kasi dia belum sempaknya.

KESIMPULAN

Penyelidikan ini menunjukkan bahawa teknologi pulsoximetry boleh digunakan untuk mendekati masalah Kasi. Teknologi pulsoximetry ini boleh membantu dalam mendekati masalah Kasi.

Penyelidikan ini menunjukkan bahawa teknologi pulsoximetry boleh digunakan untuk mendekati masalah Kasi. Teknologi pulsoximetry ini boleh membantu dalam mendekati masalah Kasi.

KESIMPULAN

pulse oximetry adalah teknologi yang menyatakan tingkat oksigenasi (O_2Hb dan $COHb$) dalam darah. Teknologi COHb yang semula tambahan daripada O_2Hb dalam darah juga memberi imputan tinggi pada hemoglobin dan O_2Hb dalam darah. Pengukuran pengangkutan oksigen dalam darah juga dilakukan.

Teknologi COHb yang semula tambahan pada O_2Hb dalam darah juga memberi imputan O_2Hb atau

secuil dengan patogenik. Penyelidikan ini menunjukkan bahawa pasakit yang ada risiko maksa tuluk dia. Oleh itu MetHb akan memerlukan *vitro* analisis dan jarak antara teknologi pulsoximetry.

Pulse oximeter adalah teknologi untuk mendekati masalah Kasi. Teknologi pulsoximetry boleh digunakan untuk mendekati masalah Kasi. Teknologi pulsoximetry boleh digunakan untuk mendekati masalah Kasi.

KESIMPULAN

Akhirnya siap juga projek kami. Projek kami adalah satu alat untuk mengesan kandungan oksigen dalam badan manusia. Pengukuran dibuat dengan menggunakan Hukum BEER dan teori pulse rate. Peletakan probe juga mempengaruhi keputusan yang akan didapatkan.

Signal output dari photodetector akan berubah magnitud mengikut rentak jantung. Pengukuran ketepuan hemoglobin melalui penggunaan pulse oximetry telah menjadi satu keperluan pada persekitaran perubatan, termasuk anesthesia, terapi pernafasan, rawatan rapi dan screening of cardiopulmonary compromised patients. Berbeza daripada jarak gelombang pelbagai dalam vitro oximeters the in vivo pengukuran ketepuan hemoglobin arterial adalah sepakat oleh dua masalah technical yang rendah.

Pertama, dua jarak gelombang yang dicipta oleh kebanyakan pulse oximetry mengesan hanya dua penyerapan hemoglobin fractions (O_2Hb dan HHb) tanpa pengiraan MetHb dan COHb yang sediada.

Tambahan itu, setelah jumlah hemoglobin diketahui, computed fractional hemoglobin saturation SaO_2 hanya dapat menunjukkan perjalanan pengangkutan oksigen yang lemah dan perlahan.

Kedua, jika MetHb atau CoHb hadir, ia menyumbang kepada pulse tambahan penyerapan signal dan akan dikenali sebagai HHb , O_2Hb atau sesuatu dengan gabungan kedua-duanya sekali. Dengan ini, pesakit yang ada risiko markedly pertambahan level CoHb atau MetHb akan memerlukan vitro analisis dan jarak gelombang pulse oximetry.

Pulse oximeter adalah berdasarkan kepada perubahan bahagian dalam peredaran cahaya semasa arterial pulse pada 2 jarak gelombang yang berbeza. Dalam cara ini, perubahan bahagian didalam signal adalah kerana darah arterial itu sendiri, dan dengan itu complicated nonpulsatile dan karakter optical yang tinggi yang berubah-ubah pada tisu dihapuskan.

KESIMPULAN

МАШИНА ЗА

Dalam tatarajah yang mudah, cahaya pada 2 jarak gelombang yang berbeza, memberi cahaya pada sebelah jari dan dikesan pada sebelah lagi, setelah melalui tisu vascular yang banyak halangan. Pancaran cahaya pada setiap jarak gelombang adalah berfungsi untuk ketebalan, warna, struktur kulit, tisu, tulang, darah dan lain-lain komposisi melalui dimana cahaya menembusinya.

Berdasarkan kepada Beer-Lambert law, penyerapan sampel pada jarak cahaya yang diberi dengan molar absorptivity (a) adalah berkadar terus kepada kedua-dua kepekatan (c) dan jarak gelombang perjalanan (L) pada sampel yang diserap : $A = aCL$.

Cahaya yang dapat atau tidak dapat dilihat melalui menembusi kira-kira 1cm dalam tisu (contoh jari) akan ditumpukan oleh satu atau dua perintah magnitud untuk satu typical emitter detector geometry, bersamaan dengan satu effective optical density (OD) of 1-200 (kepekaan cahaya yang dikesan adalah berkurangan oleh satu perintah magnitud untuk setiap OD unit).

Kandungan hemoglobin dalam tisu menunjukkan temporal fluctuations yang mana diperolehi dari segi fisiologi dan aktiviti metabolisme. Contohnya, nadi arteri bergabung dengan pelbagai tekanan darah sistolik dan diastolic memperolehi kandungan hemoglobinpada kadar frekuensi denyutan jantung. Pergerakan ini adalah dikenalpasti oleh pulse rate meter untuk pengukuran kandungan oksigen dalam arteri

Bentuk gelombang nadi (bergantung pada pengaliran) ditunjukkan secara graph. Sesengah model secara automatik meningkatkan gain pada display semasa pengaliran berkurangan dan dalam ini display mungkin tidak betul dan tepat.

Kependidikan formal dalam bentuk sekolah dan pendidikan informal dalam bentuk keluarga dan lingkungan sekitar.

Geutuk dengan tali (pedasiung pada pembalut) ditunjukkan
sebagai alih-alih. Sebaliknya model sejenis sifatnya menunjukkan diri pada
disebut sebagaimana penjelasan diatas ini dibawa mungkin tidak
pada suatu ketika

Alarm selalunya bertindakbalas pada kadar yang rendah atau tinggi ataupun jika kandungan oksigen kurang daripada 90 darjah. Pada tahap ini, ia adalah ditandakan sebagai pengurangan pada PaO₂ yang menunjukkan hypoxia.

Pulse rate meter mengambil kesempatan iaitu, hemoglobin mempunyai karakter penyerapan cahaya yang berbeza pada jarak gelombang yang berbeza. 2 spektra interest pada jarak gelombang isobectis of $\lambda = 805$ nm, dimana penyerapan adalah bebas pada kandungan oksigen.

Gelombang nadi ini disebabkan oleh denyutan dengan tempoh pada volum darah arteri dan diukur dengan mengubah penyerapan optikal yang termasuk ini. Pengukuran sistem ini mengandungi sumber cahaya (infrared), satu detector (diletakkan pada penghantaran dan pemantulan balik) dan satu signal pulih, memproses dan display.

RUJUKAN

RUJUKAN

RUJUKAN

1. Buku Richard Aston, Medical Instrumentation Application And Design, Second Edition
2. Fisiologi Manusia, Edisi Kedua, Penerbit Fajar Bakti Sdn. Bhd.
3. Schematic Capture With Microsim And Pspice 3rd Edition, Marc E. Herniter.
4. www.pulseoximetertheory.com
5. www.po.edu.com
6. www.imagepo.google.uk
7. www.multiwavelength.edu.stu.uk

LAMPIRAN

- RUTUKAN
1. Burke Richard Atwell, Medical Instrumentation Application And Design, Second Edition
2. Biomedicall Mansur, Edisi Kedua, Penerjemah Sulistiyo, Pustaka Setia, Penerjemah
3. Squeamish Capture With Microsim And Space 3rd Edition, Matic E
4. www.digicardmeter.com
5. www.bq.com
6. www.wm.com
7. www.mutualselectric.com

LIMPIRAN

Tajuk Projek : <u>ALL SE RATE METER CHAMOWARRE</u>		Pensyarah : <u>DR. MOHAMAD ZAHAR</u>
Nama :	<u>PUSHPA KALIAPPAN</u>	No. Pend : <u>008 DEU 00</u>
	<u>NAVINDEEN SALAHUDDIN</u>	Kelas : <u>DEU 6 A</u>
	<u>006 DEU 00</u>	

MINGGU	Tarikh	Cadangan Aktiviti	Tujuan/Objektif	Aktiviti Pelajar	Catatan/Tandatangan Pensyarah
1	10/06/02	Pengenalan kepada Projek	Taklimat tentang cadangan projek yang hendak dibuat	Memahami konsep dan cara kerja projek yang hendak dilakukan	
2	14/06/02				
2	17/06/02	mencari sifir yang digunakan; red pinfrared - bincang kadar pengarapan - bincang ia menunjukkan Hener rate - wasalah day circuit dan model kira-kira.			PoliTeknik Sultan Salahuddin Johor Jaya Muda Shah Alam Pensyarah ZAINUDIN ASRI MOHAMAD Pensyarah Abdul Aziz Shah
3	21/06/02				
3	26/06/02	- mendapatkan theory pulse rate meter. - Hanting & menyediakan L100R - membangun model pulse rate. - membuat casing	Junjee En Sofian Wan Ihsan Electronik	ZAINUDIN ASRI MOHAMAD Pensyarah Jabatan Kejuruteraan Elektrik Politeknik Sultan Salahuddin Abdul Aziz Shah	
4	28/06/02				
4	01/07/02	- menyiapkan soldering komponen - menyiapkan casing			
5	05/07/02				
5	08/07/02	- menyiapkan sensor - pemotongan bim habis - pemasangan komponen mengikut urutan yg dibuat			
	12/07/02				

ABU BAKAR HAFIS B KAHR	Pensyarah Jabatan Kejuruteraan Elektrik Politeknik Sultan Salahuddin Abdul Aziz Shah	5/7/02
Hishamah		
Lepek		
Claudia		
Ys long		
jelelo soft		

6	15/07/02	Menyiapkan tutisan PCB dan Micosim. - membeli molex connector sekaligus dengan wayangka. - membeli UV board.	<u>25</u> 23/7.
7	19/07/02 22/07/02	- sedang menyiapkan tutisan PCB - singkir untuk PCB - Insert Component - test.	<u>JF</u> 22/7. em sajai. Ringue em sajai.
8	26/07/02 29/07/02 02/08/02	CUTI PERTENGAHAN SEMESTER	<u>JF</u>
9	05/08/02	bitar snap - menyiapkan report.	<u>JF</u>
10	09/08/02 12/08/02	Hantar report Siapkan hardware.	<u>JF</u> 12/08/02
11	16/08/02 19/08/02		<u>JF</u> 23/8-02 - presentation. 23/8-02
12	23/08/02 26/08/02		
	30/08/02		

JADUAL KERJA

PROJEK PENELITIAN

PERIODE : 14 SEPTEMBER 2002 - 20 DESEMBER 2002

WAKTU : Pagi dan Sore

LOKASI : STAMAN

PENGARUH : Faktor-faktor yang mempengaruhi

METODE : Metodologi penelitian

KESIMPULAN : Kesimpulan

CATATAN : Catatan

14	06/09/02 09/09/02	Kempen Projek.		
15	13/09/02 16/09/02			
16	20/09/02 23/09/02	PEPERIKSAAN AKHIR SEMESTER		
	04/10/02			

- Cadangan Aktiviti dan Tujuan/Objektif perlu dirancang dan dinyatakan dari minggu pertama hingga minggu terakhir. Aktiviti ini perlu disiapkan sebelum minggu kedua

- Setiap kumpulan hanya perlu sediakan satu salinan.

- Segala kerja mingguan perlu ditunjuk dan disemak oleh Penyelidikan Projek berkenaan.

- Gerak-kerja ini digunakan sebagai garis panduan untuk pengukur prestasi pelajar dari masa ke semasa.

- Gerak-kerja ini hendaklah dilampirkan bersama *Laporan Projek* atau diserahkan kepada penyelia projek berkenaan.

Oximetry - Theory

EE Biomedical Engineering Handbook pgs 1349-1352

3.3 Typical pulse oximeter sensing configuration on a finger. Light at two different wavelengths is emitted by the source, diffusely through the finger, and detected on the opposite side by a photodetector.

Oximetry is based on the fractional change in light transmission during an arterial pulse at two different wavelengths. In this method the fractional change in the signal is due only to the arterial blood itself, and therefore the static nonpulsatile and highly variable optical characteristics of tissue are eliminated. In a typical configuration, two different wavelengths illuminating one side of a finger will be detected on the other side, after having passed through the intervening vascular tissues (Fig. 88.3). The transmission of light at each wavelength is a function of the color, color, and structure of the skin, tissue, bone, blood, and other material through which the light passes. The absorbance of light by a sample is defined as the negative logarithm of the ratio of the light intensity in the presence of the sample (I) to that without (I_0): $A = -\log(I/I_0)$. According to the Beer-Lambert law, the absorbance of a sample at a wavelength with a molar absorptivity (a) is directly proportional to both the concentration (C) and pathlength (L) of the absorbing material: $A = aCL$. (In actuality, biologic tissue is highly scattering, and the Beer-Lambert law is only approximately correct; see the references for further elaboration.) Visible or near-infrared light passing through about 1 mm of tissue (e.g., a finger) will be attenuated by about one or two orders of magnitude for a typical emitter-detector geometry, corresponding to an effective optical density (OD) of 1-2 OD (the detected light intensity is reduced by one order of magnitude for each OD unit). Although hemoglobin in the blood is the single strongest absorbing molecule, most of the total attenuation is due to the scattering of light away from the detector by the highly heterogeneous tissue. Since human tissue contains about 7% blood, and since blood contains typically about 14 g/dL hemoglobin, the effective hemoglobin concentration in tissue is about 1 g/dL (~150 uM). At the wavelengths used for pulse oximetry (650 - 950 nm), the oxy- and deoxyhemoglobin molar absorptivities fall in the range of 100- 1000 M⁻¹, and consequently hemoglobin accounts for less than 0.2 OD of the total observed optical density. Of this amount, only 10% is pulsatile, and consequently pulse signals of only about a few percent are ultimately measured, at even one-tenth of this.

The mathematical model for pulse oximetry begins by considering light at two wavelengths, λ_1 and λ_2 passing through tissue and being detected at a distant location as in Fig. 88.3. At each wavelength the total light attenuation is described by different component absorbances: oxyhemoglobin in the blood (concentration C_o , molar absorptivity a_o , and effective pathlength L_o), "reduced" deoxyhemoglobin in the blood (concentration C_r , molar absorptivity a_r and effective pathlength L_r), specific variable absorbances that are not from the arterial blood (concentration C_v , molar absorptivity a_v , effective pathlength L_v), and all other non-specific sources of optical attenuation, combined as A_y which can include scattering, geometric factors, and characteristics of the emitter and detector elements. The total absorbance at the two wavelengths can then be written:

$$\begin{aligned} I_1 &= a_o C_o L_o + a_r C_r L_r + a_v C_v L_v + A_y \\ I_2 &= a_o C_o L_o + a_r C_r L_r + a_{y_2} C_{y_2} L_{y_2} + A_{y_2} \end{aligned} \quad (88.2)$$

The blood volume change due to the arterial pulse results in a modulation of the measured absorbances. By taking the time rate of change of the absorbances, the two last terms in each equation are effectively zero, since the concentration and effective pathlength of absorbing material outside the arterial blood do not change during a pulse [$d(C_v L_v)/dt = 0$], and all the nonspecific effects on light attenuation are also effectively invariant on the time scale of a cardiac cycle ($dA_y/dt = 0$). Since the extinction coefficients are constant, and the blood concentrations are constant on the time scale of the pulse, the time-dependent changes in the absorbances at the two wavelengths can be assigned entirely to the change in the blood pathlength (dL_o/dt and dL_r/dt). With the additional assumption that these two blood pathlength changes are equivalent (or more generally, their ratio is a constant), the ratio R of the time rate of change of the absorbance at wavelength 1 to that at wavelength 2 reduces to the following:

$$\frac{dA_{y_1}/dt}{dA_{y_2}/dt} = \frac{-d \log(I_1/I_0)/dt}{-d \log(I_2/I_0)/dt} = \frac{\Delta I_1/I_1}{\Delta I_2/I_2} = \frac{a_o C_o + a_r C_r}{a_{o_2} C_o + a_{r_2} C_r} \quad (88.3)$$

10 wastes (81-100 (5-))

sensors - how principles

www.anesthesiologie.med.uni-regensburg.de/.../19_schleg.htm

ing that functional oxygen saturation is given by $S = C_o/(C_u + C_o)$, and that $(/S) = C_o/(C_u + C_o)$, the oxygen can then be written in terms of the ratio R as follows:

$$\frac{a_{r_1} - a_{r_2}R}{(a_{r_1} - a_{o_1}) - (a_{r_2} - a_{o_2})R} \quad (88.4)$$

(88.4) provides the desired relationship between the experimentally determined ratio R and the clinically oxygen saturation S . In actual use, commonly available LEDs are used as the light sources, typically a red LED (660 nm) and a near-infrared LED selected in the range 890 - 950 nm. Such LEDs are not monochromatic light typically with bandwidths between 20 and 50 nm, and therefore standard molar absorptivities for hemoglobin are used directly in Eq. (88.4). Further, the simple model presented above is only approximately true; for example, wavelengths do not necessarily have the exact same pathlength changes, and second-order scattering effects are ignored. Consequently the relationship between S and R is instead determined empirically by fitting the data to a generalized function of the form $S = (k_1 - k_2R)/(k_3 - k_4R)$. The final empirical calibration will ultimately depend on the details of an individual sensor design, but these variations can be determined for each sensor and included in the calibration parameters. A typical empirical calibration for R versus S is shown in Fig. 88.4, together with the standard molar absorptivities would predict.

May the measurement of the ratio of the fractional change in signal intensity of the two LEDs is used along with a empirically determined calibration equation to obtain a beat-by-beat measurement of the arterial oxygen saturation in tissue - continuously, noninvasively, and to an accuracy of a few percent.

Applications and Future Directions

Pulse oximetry is now routinely used in nearly all operating rooms and critical care areas in the United States and increasingly throughout the world. It has become so pervasive and useful that it is now being called the "fifth" vital sign. [For an excellent review of practical aspects and clinical applications of the technology see Kelleher [1989].]

The principal advantages of pulse oximetry are that it provides continuous, accurate, and reliable monitoring of arterial oxygen saturation on nearly all patients, utilizing a variety of convenient sensors, reusable as well as disposable. Single-use adhesive sensors can easily be applied to fingers for adults and children and to arms or legs for neonates.

Figure 88.4 Relationship between the measured ratio of fractional changes in light intensity at two wavelengths, R , and the oxygen saturation S . The theoretical model is from Eq. (88.4) with $a_{o_1} = 100$, $a_{o_2} = 300$, $a_{r_1} = 800$, and $a_{r_2} = 200$. Empirical calibration is based on $\%S = 100\% \times (k_1 - k_2R)/(k_3 - k_4R)$ with $k_1 = 1000$, $k_2 = 550$, $k_3 = 900$, and $k_4 = 350$, with a linear extrapolation below 70%.

Reflectance sensors have also been developed based on the same principles and offer a wider choice for sensor placement, though they tend to be less accurate and prone to more types of interference.

Limitations of pulse oximetry include sensitivity to high levels of optical or electric interference, errors due to high concentrations of dysfunctional hemoglobins (methemoglobin or carboxyhemoglobin) or interference from physiologic dyes (such as methylene blue). Other important factors, such as total hemoglobin content, Fetal hemoglobin, or sickle cell trait, have little or no effect on the measurement except under extreme conditions. Performance can also be compromised by poor signal quality, as may occur for poorly perfused tissues with weak pulse amplitudes or by motion artifacts.

Software and software advances continue to provide more sensitive signal detection and filtering capabilities, allowing pulse oximeters to work better on more ambulatory patients. Already some pulse oximeters incorporate ECG signal synchronization for improved signal processing. A pulse oximeter for use in labor and delivery is currently under active development by several research groups and companies. A likely implementation may include use of a reflectance sensor for the fetal head to monitor the adequacy of fetal oxygenation. This application is still in active development, and clinical utility remains to be demonstrated.

Pushpa
Kalyanam

Pushpa
Kalyanam



The Sight & Sound of Information

Design · Purchasing · Quality · Company · Jobs

See Wires

[Products](#) > [Analog - Regulators](#) > [Linear Regulators - Standard/NPN](#) > [Positive Voltage - Adjustable](#) > LM317

LM317 Product Folder

3-Terminal Adjustable Regulator

See Also: [LM1117 - LOWER DROPOUT VOLTAGE/SMALLER PACKAGE](#)

Generic P/N 317

General Description	Features	Datasheet	Package & Models	Samples & Pricing	Design Tools	App I
-------------------------------------	--------------------------	---------------------------	--------------------------------------	---------------------------------------	------------------------------	-----------------------

Parametric Table

Multiple Output Capability	No
On/Off Pin	No
Error Flag	No
Input Voltage, min (Volt)	4.20

Parametric Table

Input Voltage, max (Volt)	40, 37
Output Current, max	1000 mA, 1500 mA
Watchdog	No
Output Voltage, min (Volt)	1.20
Output Voltage, max (Volt)	37

Datasheet

Title	Size in Kbytes	Date	View Online	Download	Email
LM117 LM317A LM317 3-Terminal Adjustable Regulator	654 Kbytes	4-Sep-01	View Online	Download	Email
LM117 LM317A LM317 3-Terminal Adjustable Regulator (JAPANESE) 本サブの日本語版データシートは最新版ではない場合があります。ご検討およびご採用にあたっては、最新の英語版データシートを必ずご確認下さい。	324 Kbytes		オンラインで見る	ダウンロード	メールマ

If you have trouble printing or viewing PDF file(s), see [Printing Problems](#).

Package Availability, Models, Samples & Pricing

Part Number	Package		Status	Models		Samples & Electronic Orders	Budgetary Pricing		Std Pack Size	Part Ma
	Type	# pins		SPICE	IBIS		Qty	\$US each		
LM317EMP	SOT-223	4	Full production	N/A	N/A	Samples	1K+	\$0.3600	reel of 1000	¢ N

<http://www.national.com/pf/LM/LM317.html>

8/1/2002

LM317H MWC	Wafer	Full production	N/A	N/A					jar of N/A
LM317K MWC	Wafer	Full production	N/A	N/A					wafer jar of N/A

General Description

The LM117 series of adjustable 3-terminal positive voltage regulators is capable of supplying in excess of 1.5A over a 1.2V to 37V output range. They are exceptionally easy to use and require only two external resistors to set the output voltage. Further, both line and load regulation are better than standard fixed regulators. Also, the LM117 is packaged in standard transistor packages which are easily mounted and handled.

In addition to higher performance than fixed regulators, the LM117 series offers full overload protection available only in IC's. Included on the chip are current limit, thermal overload protection and safe area protection. All overload protection circuitry remains fully functional even if the adjustment terminal is disconnected.

Normally, no capacitors are needed unless the device is situated more than 6 inches from the input filter capacitors in which case an input bypass is needed. An optional output capacitor can be added to improve transient response. The adjustment terminal can be bypassed to achieve very high ripple rejection ratios which are difficult to achieve with standard 3-terminal regulators.

Besides replacing fixed regulators, the LM117 is useful in a wide variety of other applications. Since the regulator is "floating" and sees only the input-to-output differential voltage, supplies of several hundred volts can be regulated as long as the maximum input to output differential is not exceeded, i.e., avoid short-circuiting the output.

Also, it makes an especially simple adjustable switching regulator, a programmable output regulator, or by connecting a fixed resistor between the adjustment pin and output, the LM117 can be used as a precision current regulator. Supplies with electronic shutdown can be achieved by clamping the adjustment terminal to ground which programs the output to 1.2V where most loads draw little current.

For applications requiring greater output current, see LM150 series (3A) and LM138 series (5A) data sheets. For the negative complement, see LM137 series data sheet.

Features

- Guaranteed 1% output voltage tolerance (LM317A)
- Guaranteed max. 0.01%/V line regulation (LM317A)
- Guaranteed max. 0.3% load regulation (LM117)
- Guaranteed 1.5A output current
- Adjustable output down to 1.2V
- Current limit constant with temperature
- P+ Product Enhancement tested
- 80 dB ripple rejection
- Output is short-circuit protected

Design Tools

<http://www.national.com/pf/LM/LM317.html>



8/1/2002

Title	Size in Kbytes	Date	 View Online	 PDF Download	Receive via Email
LM317MDT Qualification Package	803 Kbytes	19-Oct-1999	View Online	Download	Receive via Email

If you have trouble printing or viewing PDF file(s), see [Printing Problems](#).

Application Notes

Title	Size in Kbytes	Date	 View Online	 PDF Download	Receive via Email
AN-1148: Application Note 1148 Linear Regulators: Theory Of Operation and Compensation	143 Kbytes	24-May-00	View Online	Download	Receive via Email
AN-1164: Application Note 1164 LM3647 Reference Design User's Manual	197 Kbytes	9-Mar-01	View Online	Download	Receive via Email
AN-1165: Application Note 1165 Configuration Guide for LM3647 Reference Design	32 Kbytes	28-Sep-00	View Online	Download	Receive via Email
AN-178: Applications for an Adjustable IC Power Regulator	95 Kbytes	4-Nov-95	View Online	Download	Receive via Email
AN-181: Application Note 181 3-Terminal Regulator Is Adjustable	123 Kbytes	8-Nov-00	View Online	Download	Receive via Email
AN-182: Improving Power Supply Reliability with IC Power Regulators	76 Kbytes	4-Nov-95	View Online	Download	Receive via Email
AN-353: MM58167B Real-Time Clock Design Guide	263 Kbytes	4-Nov-95	View Online	Download	Receive via Email
LB-35: Adjustable 3-Terminal Regulator for Low-Cost Battery Charging Systems	80 Kbytes	28-Jun-96	View Online	Download	Receive via Email
LB-46: A New Production Technique for Trimming Voltage Regulators	91 Kbytes	28-Jun-96	View Online	Download	Receive via Email
LB-47: High Voltage Adjustable Power Supplies	69 Kbytes	28-Jun-96	View Online	Download	Receive via Email

If you have trouble printing or viewing PDF file(s), see [Printing Problems](#).

Information as of 1-Aug-2002]

Search	Design	Purchasing	Quality	Company
About Languages . Website Guide . About "Cookies" . National is QS 9000 Certified . Privacy/Security Statement . Contact Us . Site Terms & Conditions of Use . Copyright 2002 © National Semiconductor Corporation . My Preferences . Feedback				

DATA SHEET

For a complete data sheet, please also download:

- The IC06 74HC/HCT/HCU/HCMOS Logic Family Specifications
- The IC06 74HC/HCT/HCU/HCMOS Logic Package Information
- The IC06 74HC/HCT/HCU/HCMOS Logic Package Outlines

74HC/HCT4514

4-to-16 line decoder/demultiplexer with input latches

Product specification
File under Integrated Circuits, IC06

September 1993

Philips
Semiconductors



PHILIPS

56
32
52, 57, 70

DATA SHEET

For a complete data sheet, please also download:

- The IC04 LOC莫斯 Logic Family Specifications HEF, HEC
- The IC04 LOC莫斯 Logic Package Information HEF, HEC
- The IC04 LOC莫斯 Logic Package Outlines

HEF4528B MSI Dual monostable multivibrator

Product specification
File under Integrated Circuits, IC04

January 1995

Philips
Semiconductors



PHILIPS

**4-to-16 line decoder/demultiplexer with
input latches**

74HC/HCT4514

APPLICATION INFORMATION

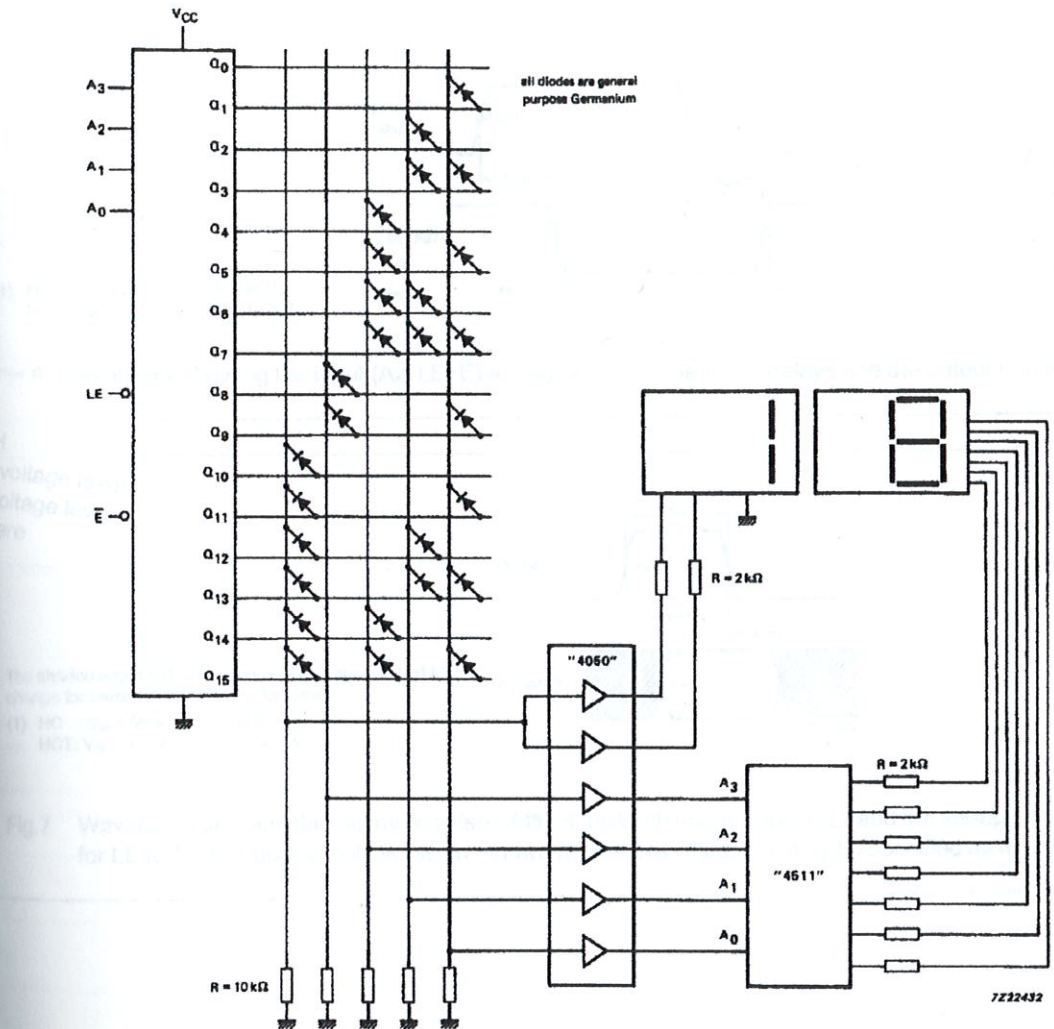


Fig.8 Code-to-code conversion; hexadecimal to BCD.

PACKAGE OUTLINES

See "74HC/HCT/HCU/HCMOS Logic Package Outlines".

September 1993

74HC/HCT4514

4-to-16 line decoder/demultiplexer with input latches

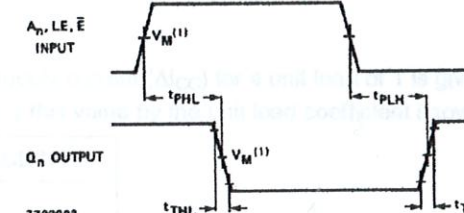


Fig.6 Waveforms showing the input (A_n , LE, \bar{E}) to output (Q_n) propagation delays and the output transition times.

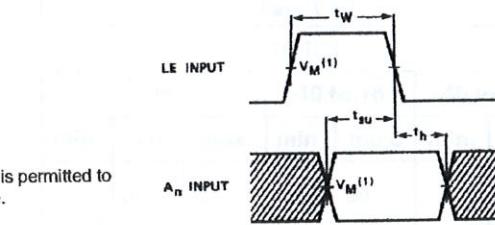


Fig.7 Waveforms showing the minimum pulse width of the latch enable input (LE) and the set-up and hold times for LE to A_n . Set-up and hold times are shown as positive values but may be specified as negative values.

74HC/HCT4514

4-to-16 line decoder/demultiplexer with input latches

74HC/HCT4514

DC CHARACTERISTICS FOR 74HCT

For the DC characteristics see "74HC/HCT/HCU/HCMOS Logic Family Specifications".

Output capability: standard

I_{CC} category: MSI

Note to HCT types

The value of additional quiescent supply current (ΔI_{CC}) for a unit load of 1 is given in the family specifications.

To determine ΔI_{CC} per input, multiply this value by the unit load coefficient shown in the table below.

INPUT	UNIT LOAD COEFFICIENT
A _n	0.65
LE	1.40
Ē	1.00

AC CHARACTERISTICS FOR 74HCT

GND = 0 V; t_r = t_f = 6 ns; C_L = 50 pF

SYMBOL	PARAMETER	T _{amb} (°C)						TEST CONDITIONS	
		74HCT							
		+25			−40 to +85		−40 to +125		
		min.	typ.	max.	min.	max.	min.	max.	
t _{PHL} /t _{PLH}	propagation delay A _n to Q _n		30	55		69		83	ns 4.5 Fig.6
t _{PHL} /t _{PLH}	propagation delay LE to Q _n		29	50		63		75	ns 4.5 Fig.6
t _{PHL} /t _{PLH}	propagation delay Ē to Q _n		17	40		50		60	ns 4.5 Fig.6
t _{THL} /t _{TLH}	output transition time		7	15		19		22	ns 4.5 Fig.6
t _w	latch enable pulse width HIGH	16	4		20		24		ns 4.5 Fig.7
t _{su}	set-up time A _n to LE	18	9		23		27		ns 4.5 Fig.7
t _h	hold time A _n to LE	3	−3		3		3		ns 4.5 Fig.7

A 37010/CHS

4-to-16 line decoder/demultiplexer with

input latches

74HC/HCT4514

DC CHARACTERISTICS FOR 74HC

For the DC characteristics see "74HC/HCT/HCU/HCMOS Logic Family Specifications".

Output capability: standard

Icc category: MSI

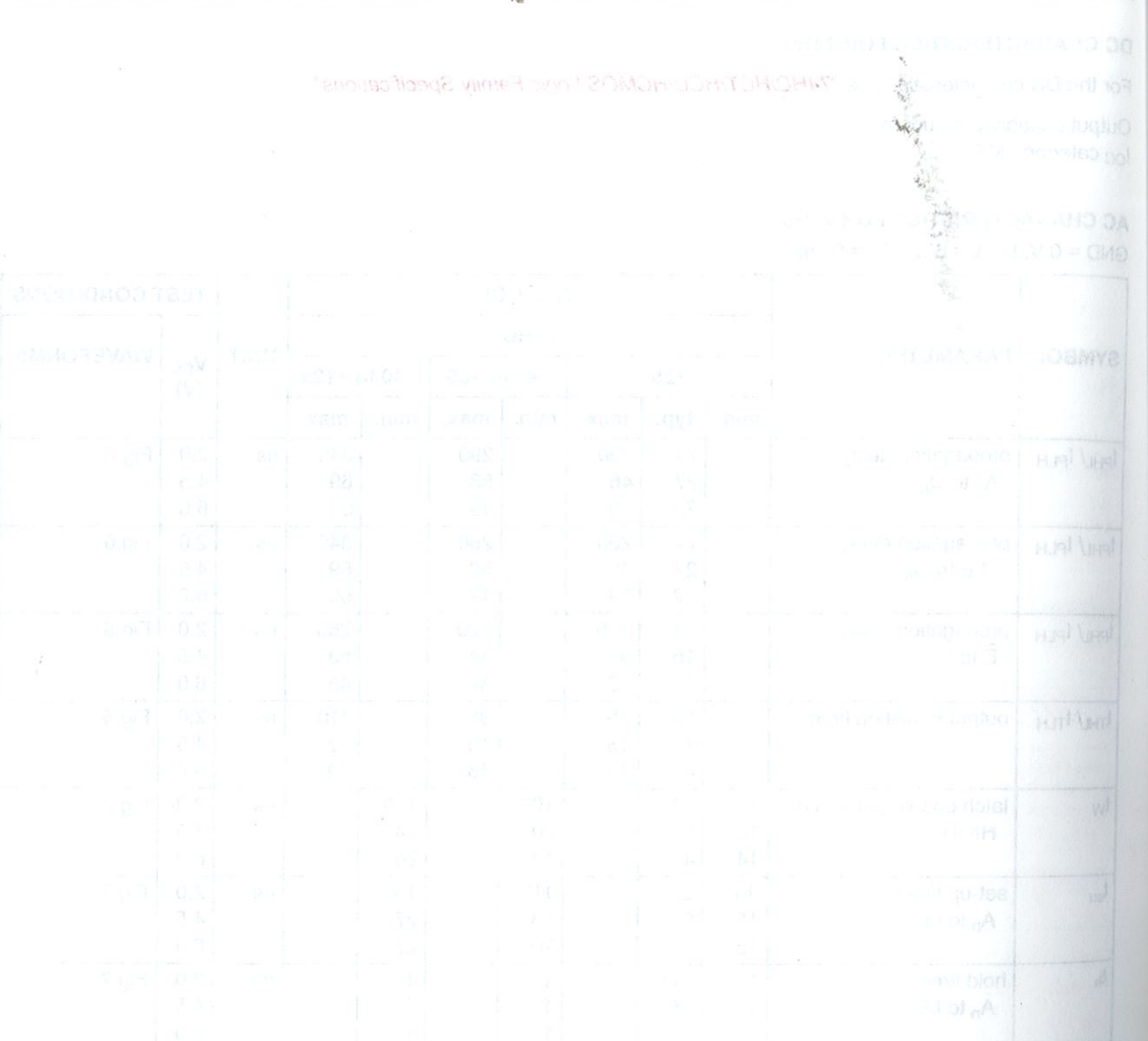
AC CHARACTERISTICS FOR 74HCGND = 0 V; $t_r = t_f = 6$ ns; $C_L = 50$ pF

SYMBOL	PARAMETER	T _{amb} (°C)						UNIT	TEST CONDITIONS			
		74HC							V _{CC} (V)	WAVEFORMS		
		+25			-40 to +85		-40 to +125					
		min.	typ.	max.	min.	max.	min.	max.				
t _{PHL} / t _{PLH}	propagation delay A _n to Q _n	74 27 22	230 46 39		290 58 49		345 69 59	ns	2.0 4.5 6.0	Fig.6		
t _{PHL} / t _{PLH}	propagation delay LE to Q _n	74 27 22	230 46 39		290 58 49		345 69 59	ns	2.0 4.5 6.0	Fig.6		
t _{PHL} / t _{PLH}	propagation delay Ē to Q _n	41 15 12	175 35 30		220 44 37		265 53 45	ns	2.0 4.5 6.0	Fig.6		
t _{THL} / t _{TLH}	output transition time	19 7 6	75 15 13		95 19 16		110 22 19	ns	2.0 4.5 6.0	Fig.6		
t _w	latch enable pulse width HIGH	80 16 14	14 5 4		100 20 17		120 24 20	ns	2.0 4.5 6.0	Fig.7		
t _{su}	set-up time A _n to LE	90 18 15	25 9 7		115 23 20		135 27 23	ns	2.0 4.5 6.0	Fig.7		
t _h	hold time A _n to LE	1 1 1	-11 -4 -3		1 1 1		1 1 1	ns	2.0 4.5 6.0	Fig.7		

NEUTROHORN

Data sheet number: 74HC/HCT4514-81-01-A

Rev. 00 - 01



Philips Semiconductors

**4-to-16 line decoder/demultiplexer with
input latches****74HC/HCT4514****FEATURES**

- Non-inverting outputs
- Output capability: standard
- I_{CC} category: MSI

GENERAL DESCRIPTION

The 74HC/HCT4514 are high-speed Si-gate CMOS devices and are pin compatible with "4514" of the "4000B" series. They are specified in compliance with JEDEC standard no. 7A.

The 74HC/HCT4514 are 4-to-16 line decoders/demultiplexers having four binary weighted address inputs (A₀ to A₃), with latches, a latch enable input (LE), and an active LOW enable input (E-bar). The 16 outputs (Q₀ to Q₁₅) are mutually exclusive active HIGH. When LE is HIGH, the selected output is determined by the data on A_n. When LE goes LOW, the last data present at A_n are stored in the latches and the outputs remain stable. When E-bar is LOW, the selected output, determined by the contents of the latch, is HIGH. At E-bar HIGH, all outputs are LOW. The enable input (E) does not affect the state of the latch.

When the "4514" is used as a demultiplexer, E-bar is the data input and A₀ to A₃ are the address inputs.

QUICK REFERENCE DATAGND = 0 V; T_{amb} = 25 °C; t_r = t_f = 6 ns

SYMBOL	PARAMETER	CONDITIONS	TYPICAL		UNIT
			HC	HCT	
t _{PHL} / t _{PLH}	propagation delay A _n to Q _n	C _L = 15 pF; V _{CC} = 5 V	23	26	ns
C _I	input capacitance		3.5	3.5	pF
C _{PD}	power dissipation capacitance per package	notes 1 and 2	44	45	pF

Notes

1. C_{PD} is used to determine the dynamic power dissipation (P_D in μ W):

$$P_D = C_{PD} \times V_{CC}^2 \times f_i + \sum (C_L \times V_{CC}^2 \times f_o) \text{ where:}$$

f_i = input frequency in MHzf_o = output frequency in MHz $\sum (C_L \times V_{CC}^2 \times f_o)$ = sum of outputsC_L = output load capacitance in pFV_{CC} = supply voltage in V

2. For HC the condition is V_I = GND to V_{CC}

For HCT the condition is V_I = GND to V_{CC} - 1.5 V**ORDERING INFORMATION**

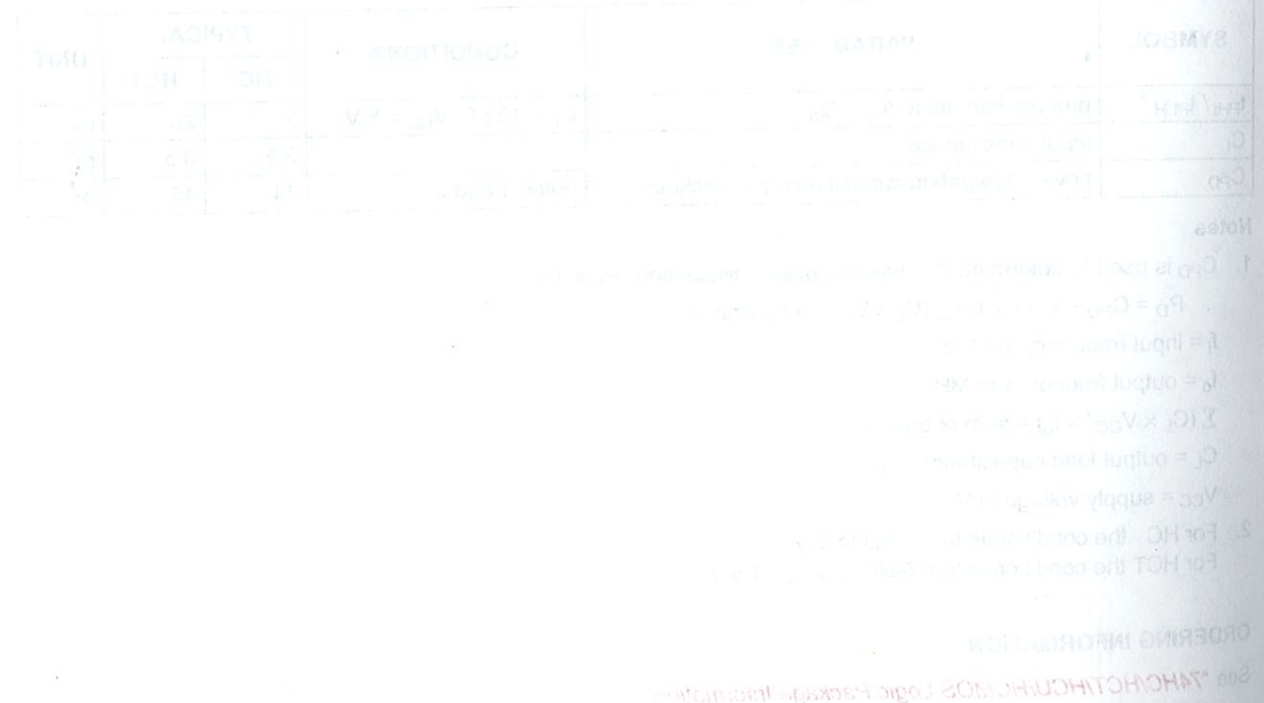
See "74HC/HCT/HCU/HCMOS Logic Package Information".

September 1993

FUNCTIONS

The HEF4528B is a dual monostable multivibrator. The two channels have identical characteristics. The propagation delays are $t_{PDL} = 140$ ns at $V_{DD} = 5$ V and $C_L = 50$ pF. The output pulse width is determined by the load C_L and the feedback resistor R_L . The output pulse width is given by $t_{W} = R_L C_L$. The output voltage is given by $V_O = V_{DD} \cdot (1 - e^{-t_{W}/R_L C_L})$. The output voltage is dependent on the input voltage. The output voltage is given by $V_O = V_{DD} \cdot (1 - e^{-t_{W}/R_L C_L})$.

For $V_{DD} = 5$ V and $C_L = 50$ pF, the output voltage is given by $V_O = 5 \cdot (1 - e^{-t_{W}/(5 \cdot 50)})$.


**HEF4528B
MSI**
Dual monostable multivibrator**FUNCTION TABLE**

INPUTS			OUTPUTS	
\bar{I}_0	I_1	\bar{C}_D	O	\bar{O}
L	L	H	L	L
H	/	H	L	L
X	X	L	L	H

Notes

1. H = HIGH state (the more positive voltage)
2. L = LOW state (the less positive voltage)
3. X = state is immaterial
4. / = positive-going transition
5. \ = negative-going transition
6. L L = positive or negative output pulse; width is determined by C_L and R_L

AC CHARACTERISTICS

$V_{SS} = 0$ V; $T_{amb} = 25$ °C; $C_L = 50$ pF; input transition times ≤ 20 ns

	V_{DD} V	SYMBOL	MIN.	TYP.	MAX.	TYPICAL EXTRAPOLATION FORMULA
Propagation delays						
$\bar{I}_0, I_1 \rightarrow \bar{O}$ HIGH to LOW	5		140	280	ns	113 ns + (0,55 ns/pF) C_L
	10	t_{PHL}	50	100	ns	39 ns + (0,23 ns/pF) C_L
	15		35	70	ns	27 ns + (0,16 ns/pF) C_L
$\bar{I}_0, I_1 \rightarrow O$ LOW to HIGH	5		155	305	ns	128 ns + (0,55 ns/pF) C_L
	10	t_{PLH}	60	115	ns	49 ns + (0,23 ns/pF) C_L
	15		40	80	ns	32 ns + (0,16 ns/pF) C_L
$\bar{C}_D \rightarrow O$ HIGH to LOW	5		105	210	ns	78 ns + (0,55 ns/pF) C_L
	10	t_{PHL}	40	85	ns	29 ns + (0,23 ns/pF) C_L
	15		30	60	ns	22 ns + (0,16 ns/pF) C_L
$\bar{C}_D \rightarrow \bar{O}$ LOW to HIGH	5		120	240	ns	93 ns + (0,55 ns/pF) C_L
	10	t_{PLH}	50	105	ns	39 ns + (0,23 ns/pF) C_L
	15		35	70	ns	27 ns + (0,16 ns/pF) C_L
Output transition times						
$\bar{I}_0, I_1 \rightarrow \bar{O}$ HIGH to LOW	5		60	120	ns	10 ns + (1,0 ns/pF) C_L
	10	t_{THL}	30	60	ns	9 ns + (0,42 ns/pF) C_L
	15		20	40	ns	6 ns + (0,28 ns/pF) C_L
$\bar{I}_0, I_1 \rightarrow O$ LOW to HIGH	5		60	120	ns	10 ns + (1,0 ns/pF) C_L
	10	t_{TLH}	30	60	ns	9 ns + (0,42 ns/pF) C_L
	15		20	40	ns	6 ns + (0,28 ns/pF) C_L

HEF4528B
MSI

Dual monostable multivibrator

AC CHARACTERISTICS

 $V_{SS} = 0 \text{ V}$; $T_{amb} = 25^\circ\text{C}$; input transition times $\leq 20 \text{ ns}$; $R_t = 5 \text{ k}\Omega$; $C_t = 15 \text{ pF}$

	V_{DD} V	TYPICAL FORMULA FOR P (μW)	
Dynamic power dissipation per package (P)	5	$4000 f_i + \sum (f_o C_L) \times V_{DD}^2$	where
	10	$20000 f_i + \sum (f_o C_L) \times V_{DD}^2$	$f_i = \text{input freq. (MHz)}$
	15	$59000 f_i + \sum (f_o C_L) \times V_{DD}^2$	$f_o = \text{output freq. (MHz)}$

$C_L = \text{load capacitance (pF)}$
 $\sum (f_o C_L) = \text{sum of outputs}$
 $V_{DD} = \text{supply voltage (V)}$

AC CHARACTERISTICS

 $V_{SS} = 0 \text{ V}$; $T_{amb} = 25^\circ\text{C}$; $C_L = 50 \text{ pF}$; input transition times $\leq 20 \text{ ns}$; see also waveforms Fig.5.

	V_{DD} V	SYMBOL	MIN.	TYP.	MAX.	
Recovery time for \bar{C}_D	5		0	-75	ns	
	10	t_{RCD}	0	-30	ns	
	15		0	-25	ns	
Minimum \bar{I}_0 pulse width; LOW	5		50	25	ns	
	10	t_{WIOL}	30	15	ns	
	15		20	10	ns	
Minimum I_1 pulse width; HIGH	5		50	25	ns	
	10	t_{WIHH}	30	15	ns	
	15		20	10	ns	
Minimum \bar{C}_D pulse width; LOW	5		60	30	ns	
	10	t_{WCDL}	35	15	ns	
	15		25	10	ns	
Set-up time $\bar{C}_D \rightarrow \bar{I}_0$ or I_1	5		0	-105	ns	
	10	t_{su}	0	-40	ns	
	15		0	-25	ns	
Output O pulse width; HIGH	5		-	235	ns	note 1
	10	t_{WOH}	-	155	ns	
	15		-	140	ns	
Output O pulse width; HIGH	5		-	5,45	μs	note 2
	10	t_{WOH}	-	4,95	μs	
	15		-	4,85	μs	
Change in output O pulse width over temperature	5		-	± 3	%	note 3
	10	Δt_{wo}	-	± 2	%	
	15		-	± 2	%	
Change in output O pulse width over V_{DD}	5		-	± 2	%	
	10	Δt_{wo}	-	± 1	%	
	15		-	± 1	%	

January 1995

5

AS228107
ICM

AS228107
Dual monostable multivibrator
AS228107 is a dual monostable multivibrator integrated circuit. It consists of two independent monostable multivibrators. Each multivibrator has an output pulse width t_{WO} which is determined by the value of the external timing capacitor C_t . The output pulse width t_{WO} is given by the formula:

$$t_{WO} = R_t \cdot C_t \cdot \ln(2)$$

The output pulse width t_{WO} is plotted against the external timing capacitor C_t for three different values of the supply voltage V_{DD} : 5 V, 10 V, and 15 V. The curves are shown for three different values of the resistor R_t : 100 kΩ, 10 kΩ, and 5 kΩ.

Dual monostable multivibrator

HEF4528B
MSI

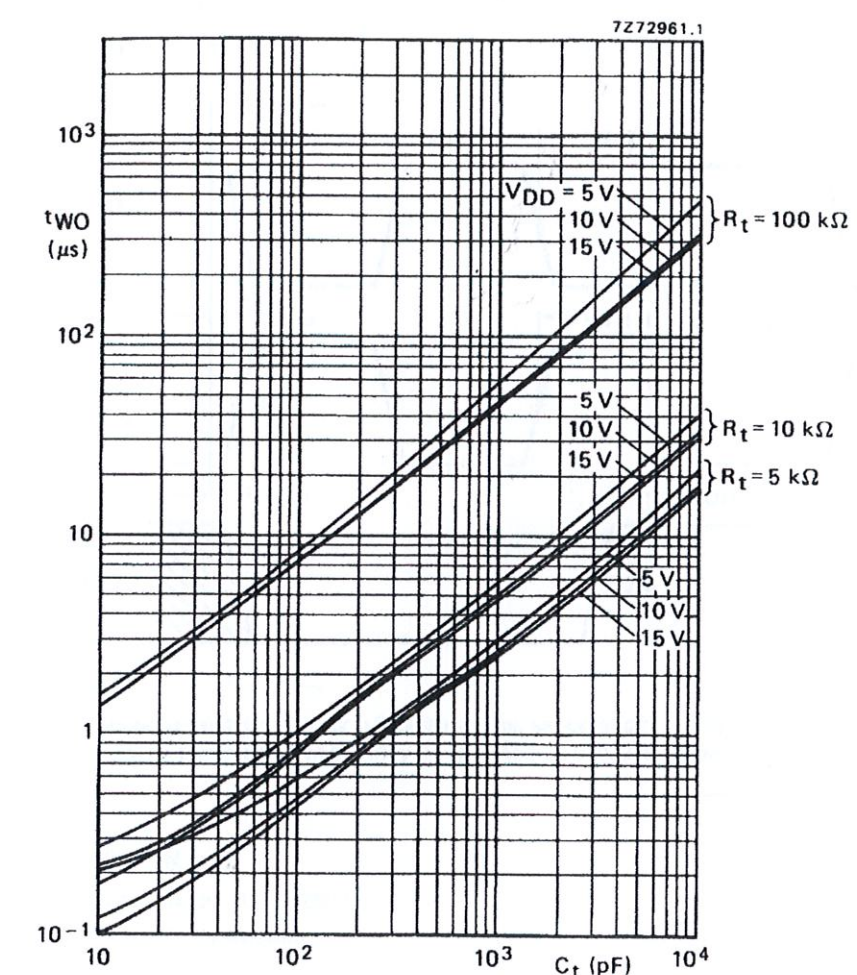
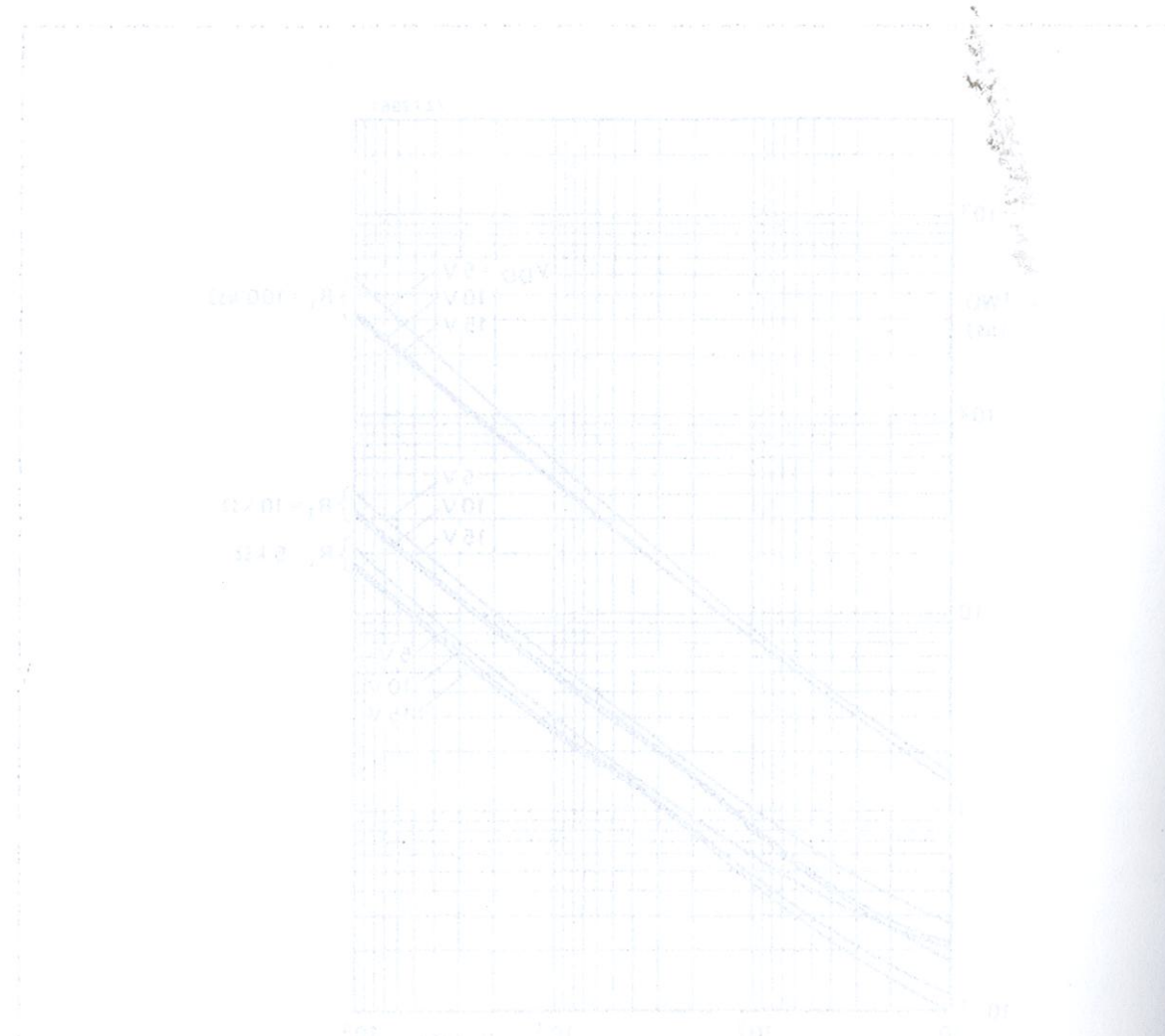


Fig.4 Output pulse width (t_{WO}) as a function of external timing capacitor (C_t).



Dual monostable multivibrator

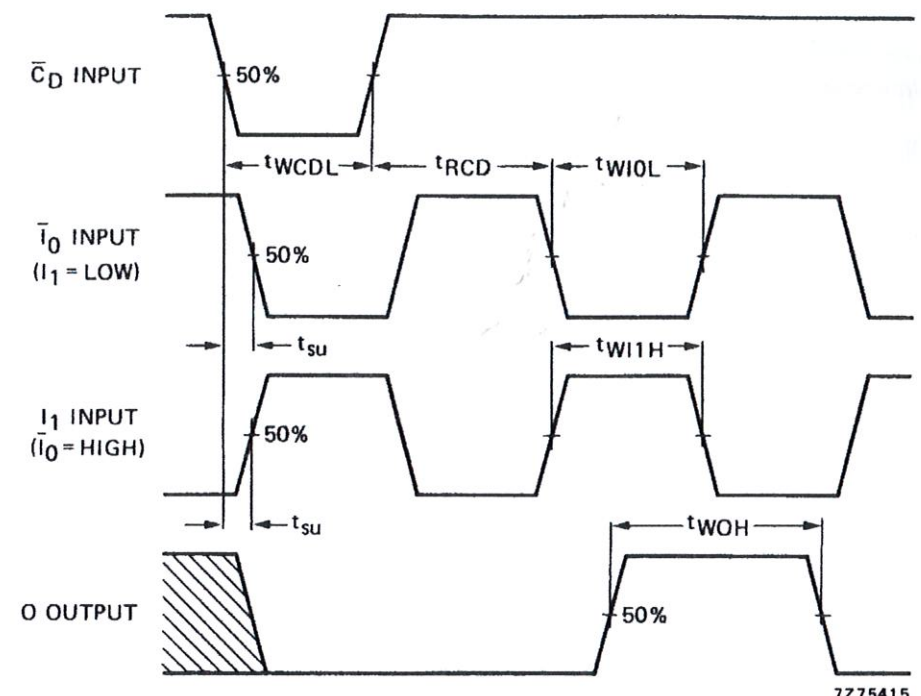


Fig.5 Waveforms showing minimum \bar{I}_0 , I_1 and O pulse widths, set-up and recovery times. Set-up and recovery times are shown as positive values but may be specified as negative values.

APPLICATION INFORMATION

An example of an application for the HEF4528B is:

- Non-retriggerable monostable multivibrator

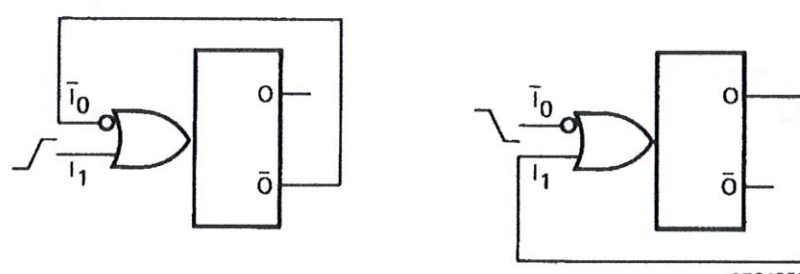


Fig.6 Two examples for a non-retriggerable monostable multivibrator using half of HEF4528B (LOW to HIGH and HIGH to LOW triggered).

DATA SHEET

For a complete data sheet, please also download:

- The IC06 74HC/HCT/HCU/HCMOS Logic Family Specifications
- The IC06 74HC/HCT/HCU/HCMOS Logic Package Information
- The IC06 74HC/HCT/HCU/HCMOS Logic Package Outlines

74HC/HCT4060 14-stage binary ripple counter with oscillator

Product specification
File under Integrated Circuits, IC06

December 1990

Philips
Semiconductors
December 1990



PHILIPS

14-stage binary ripple counter with oscillator

74HC/HCT4060

FEATURES

- All active components on chip
- RC or crystal oscillator configuration
- Output capability: standard (except for R_{TC} and C_{TC})
- I_{CC} category: MSI

GENERAL DESCRIPTION

The 74HC/HCT4060 are high-speed Si-gate CMOS devices and are pin compatible with "4060" of the "4000B" series. They are specified in compliance with JEDEC standard no. 7A.

The 74HC/HCT4060 are 14-stage ripple-carry counter/dividers and oscillators with three oscillator

terminals (RS , R_{TC} and C_{TC}), ten buffered outputs (Q_3 to Q_9 and Q_{11} to Q_{13}) and an overriding asynchronous master reset (MR).

The oscillator configuration allows design of either RC or crystal oscillator circuits. The oscillator may be replaced by an external clock signal at input RS. In this case keep the other oscillator pins (R_{TC} and C_{TC}) floating.

The counter advances on the negative-going transition of RS. A HIGH level on MR resets the counter (Q_3 to Q_9 and Q_{11} to Q_{13} = LOW), independent of other input conditions.

In the HCT version, the MR input is TTL compatible, but the RS input has CMOS input switching levels and can be driven by a TTL output by using a pull-up resistor to V_{CC}.

QUICK REFERENCE DATA

GND = 0 V; T_{amb} = 25 °C; t_r = t_f = 6 ns

SYMBOL	PARAMETER	CONDITIONS	TYPICAL		UNIT
			HC	HCT	
t _{PHL} / t _{PLH}	propagation delay RS to Q ₃	C _L = 15 pF; V _{CC} = 5 V	31	31	ns
	Q _n to Q _{n+1}		6	6	ns
	MR to Q _n		17	18	ns
	f _{max}		87	88	MHz
C _I	input capacitance		3.5	3.5	pF
C _{PD}	power dissipation capacitance per package	notes 1, 2 and 3	40	40	pF

Notes

1. C_{PD} is used to determine the dynamic power dissipation (P_D in μ W):

$$P_D = C_{PD} \times V_{CC}^2 \times f_i + \sum (C_L \times V_{CC}^2 \times f_o)$$
 where:
 - f_i = input frequency in MHz
 - f_o = output frequency in MHz
 - $\sum (C_L \times V_{CC}^2 \times f_o)$ = sum of outputs
 - C_L = output load capacitance in pF
 - V_{CC} = supply voltage in V
2. For HC the condition is V_I = GND to V_{CC}
For HCT the condition is V_I = GND to V_{CC} - 1.5 V
3. For formula on dynamic power dissipation see next pages.

ORDERING INFORMATION

See "74HC/HCT/HCU/HCMOS Logic Package Information".

74HC/HCT4060

Intelligent CMOS logic gate counter with oscillator

High speed CMOS technology
with integrated oscillator

14-stage binary ripple counter with oscillator
Input current: standard (except for R_{TC} and C_{TC})

Output current: standard (except for R_{TC} and C_{TC})

Low power consumption

Small package size

Wide operating temperature range

High reliability

High noise immunity

Low power consumption

Small package size

Wide operating temperature range

High reliability

Low power consumption

Small package size

Wide operating temperature range

High reliability

Low power consumption

Small package size

Wide operating temperature range

High reliability

Low power consumption

Small package size

Wide operating temperature range

High reliability

Low power consumption

Small package size

Wide operating temperature range

High reliability

Low power consumption

Small package size

Wide operating temperature range

High reliability

Low power consumption

Small package size

Wide operating temperature range

High reliability

Low power consumption

Small package size

Wide operating temperature range

High reliability

14-stage binary ripple counter with oscillator

74HC/HCT4060

DC CHARACTERISTICS FOR 74HC

Output capability: standard (except for R_{TC} and C_{TC})

Icc category: MSI

Voltages are referenced to GND (ground = 0 V)

SYMBOL	PARAMETER	T_{amb} ($^{\circ}$ C)						UNIT	TEST CONDITIONS			
		74HC							V _{cc} (V)	V _I	OTHER	
		+25		-40 to +85		-40 to +125						
V_{IH}	HIGH level input voltage MR input	1.5 3.15 4.2	1.3 2.4 3.1		1.5 3.15 4.2		1.5 3.15 4.2	V	2.0 4.5 6.0			
V_{IL}	LOW level input voltage MR input		0.8 2.1 2.8	0.5 1.35 1.8		0.5 1.35 1.8	0.5 1.35 1.8	V	2.0 4.5 6.0			
V_{IH}	HIGH level input voltage RS input	1.7 3.6 4.8		1.7 3.6 4.8		1.7 3.6 4.8		V	2.0 4.5 6.0			
V_{IL}	LOW level input voltage RS input			0.3 0.9 1.2	0.3 0.9 1.2	0.3 0.9 1.2	V	2.0 4.5 6.0				
V_{OH}	HIGH level output voltage R_{TC} output	3.98 5.48		3.84 5.34		3.7 5.2		V	4.5 6.0	RS=GND and MR=GND	$-I_O = 2.6 \text{ mA}$ $-I_O = 3.3 \text{ mA}$	
		3.98 5.48		3.84 5.34		3.7 5.2		V	4.5 6.0	RS=V _{cc} and MR=V _{cc}	$-I_O = 0.65 \text{ mA}$ $-I_O = 0.85 \text{ mA}$	
		1.9 4.4 5.9	2.0 4.5 6.0	1.9 4.4 5.9	1.9 4.4 5.9	1.9 4.4 5.9	V	2.0 4.5 6.0	RS=GND and MR=GND	$-I_O = 20 \mu\text{A}$ $-I_O = 20 \mu\text{A}$ $-I_O = 20 \mu\text{A}$		
		1.9 4.4 5.9	2.0 4.5 6.0	1.9 4.4 5.9	1.9 4.4 5.9	1.9 4.4 5.9	V	2.0 4.5 6.0	RS=V _{cc} and MR=V _{cc}	$-I_O = 20 \mu\text{A}$ $-I_O = 20 \mu\text{A}$ $-I_O = 20 \mu\text{A}$		
V_{OH}	HIGH level output voltage C_{TC} output	3.98 5.48		3.84 5.34		3.7 5.2		V	4.5 6.0	RS=V _{ih} and MR=V _{il}	$-I_O = 3.2 \text{ mA}$ $-I_O = 4.2 \text{ mA}$	
V_{OH}	HIGH level output voltage except R_{TC} output	1.9 4.4 5.9	2.0 4.5 6.0	1.9 4.4 5.9	1.9 4.4 5.9	V _{ih} or V _{il}	2.0 4.5 6.0	V _{ih} or V _{il}	$-I_O = 20 \mu\text{A}$ $-I_O = 20 \mu\text{A}$ $-I_O = 20 \mu\text{A}$			
V_{OH}	HIGH level output voltage except R_{TC} and C_{TC} outputs	3.98 5.48		3.84 5.34		3.7 5.2	V	4.5 6.0	V _{ih} or V _{il}	$-I_O = 4.0 \text{ mA}$ $-I_O = 5.2 \text{ mA}$		
V_{OL}	LOW level output voltage R_{TC} output		0.26 0.26	0.33 0.33	0.33 0.33	0.4 0.4		4.5 6.0	RS=V _{cc} and MR=GND	$I_O = 2.6 \text{ mA}$ $I_O = 3.3 \text{ mA}$		
		0 0 0	0.1 0.1 0.1	0.1 0.1 0.1	0.1 0.1 0.1	0.1 0.1 0.1	V	2.0 4.5 6.0	RS=V _{cc} and MR=GND	$I_O = 20 \mu\text{A}$ $I_O = 20 \mu\text{A}$ $I_O = 20 \mu\text{A}$		

December 1990

OPERATION

14-stage binary ripple counter with oscillator

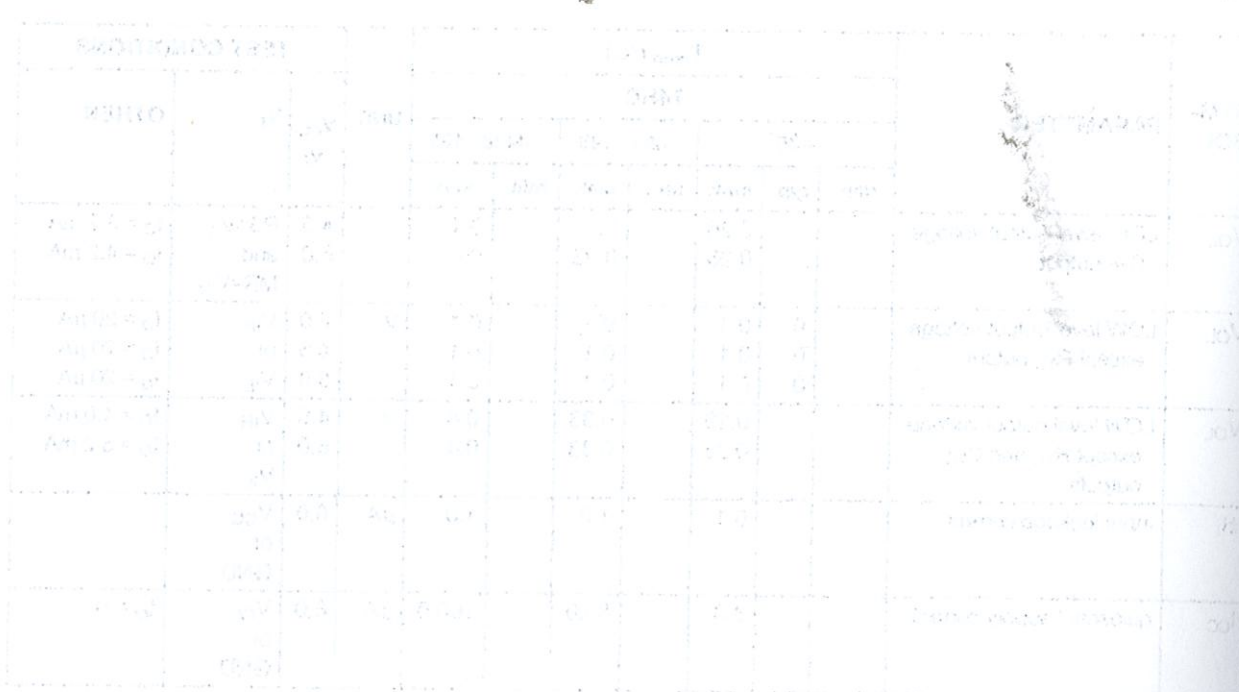
74HC/HCT4060

SYMBOL	PARAMETER	T _{amb} (°C)						UNIT	TEST CONDITIONS					
		74HC							V _{CC} (V)	V _I	OTHER			
		+25			−40 to +85		−40 to +125							
		min.	typ.	max.	min.	max.	min.	max.						
V _{OL}	LOW level output voltage C _{TC} output			0.26 0.26		0.33 0.33		0.4 0.4	V	4.5 6.0	R _S =V _{IL} and M _R =V _{IH}	I _O = 3.2 mA I _O = 4.2 mA		
V _{OL}	LOW level output voltage except R _{TC} output	0 0 0	0.1 0.1 0.1		0.1 0.1 0.1		0.1 0.1 0.1	V	2.0 4.5 6.0	V _{IH} or V _{IL}	I _O = 20 µA I _O = 20 µA I _O = 20 µA			
V _{OL}	LOW level output voltage except R _{TC} and C _{TC} outputs			0.26 0.26		0.33 0.33		0.4 0.4	V	4.5 6.0	V _{IH} or V _{IL}	I _O = 4.0 mA I _O = 5.2 mA		
±I _I	input leakage current			0.1		1.0		1.0	µA	6.0	V _{CC} or GND			
I _{CC}	quiescent supply current			8.0		80.0		160.0	µA	6.0	V _{CC} or GND	I _O = 0		

74HC/HCT4060

14-stage binary ripple counter with oscillator

74HC/HCT4060



AC CHARACTERISTICS FOR 74HC

GND = 0 V; $t_r = t_f = 6$ ns; $C_L = 50$ pF

SYMBOL	PARAMETER	T_{amb} ($^{\circ}$ C)						UNIT	TEST CONDITIONS		
		74HC							V _{CC} (V)	WAVEFORMS	
		+25		-40 to +85		-40 to +125					
		min.	typ.	max.	min.	max.	min.	max.			
t_{PHL}/t_{PLH}	propagation delay RS to Q_3	99 36 29	300 60 51		375 75 64		450 90 77	ns	2.0 4.5 6.0	Fig.12	
t_{PHL}/t_{PLH}	propagation delay Q_n to Q_{n+1}	22 8 6	80 16 14		100 20 17		120 24 20	ns	2.0 4.5 6.0	Fig.14	
t_{PHL}	propagation delay MR to Q_n	55 20 16	175 35 30		220 44 37		265 53 45	ns	2.0 4.5 6.0	Fig.13	
t_{THL}/t_{TLH}	output transition time	19 7 6	75 15 13		95 19 16		110 22 19	ns	2.0 4.5 6.0	Fig.12	
t_W	clock pulse width RS; HIGH or LOW	80 16 14	17 6 5		100 20 17		120 24 20	ns	2.0 4.5 6.0	Fig.12	
t_W	master reset pulse width MR; HIGH	80 16 14	25 9 7		100 20 17		120 24 20	ns	2.0 4.5 6.0	Fig.13	
t_{rem}	removal time MR to RS	100 20 17	28 10 8		125 25 21		150 30 26	ns	2.0 4.5 6.0	Fig.13	
f_{max}	maximum clock pulse frequency	6.0 30 35	26 80 95		4.8 24 28		4.0 20 24	MHz	2.0 4.5 6.0	Fig.12	



TEMIC
Semiconductor

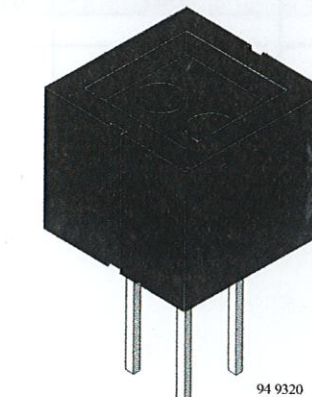
CNY70

Reflective Optosensor with Transistor Output

Description

The CNY70 has a compact construction where the emitting light source and the detector are arranged in the same direction to sense the presence of an object by using the reflective IR beam from the object.

The operating wavelength is 950 nm. The detector consists of a phototransistor.



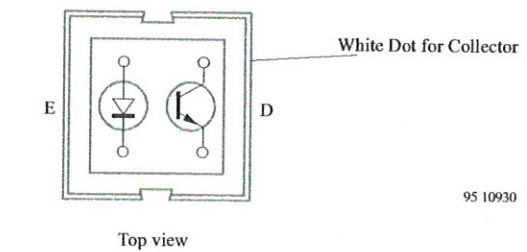
Applications

- Opto-electronic scanning and switching devices i.e., index sensing, coded disk scanning etc. (opto-electronic encoder assemblies for transmission sensing).

Features

- Compact construction in center-to-center spacing of 0.1”
 - No setting required
 - High signal output
 - Low temperature coefficient
 - Detector provided with optical filter

Pin Connection



TELEFUNKEN Semiconductors
Rev. A1, 11-Jun-96

CNY70

Absolute Maximum Ratings

Input (Emitter)

Parameters	Test Conditions	Symbol	Value	Unit
Reverse voltage		V _R	5	V
Forward current		I _F	50	mA
Forward surge current	$t_p \leq 10 \mu s$			

2 (7) TELEFUNKEN Semiconductors

Rev. A1, 11-Jun-96

For more information about the study, please contact Dr. Michael J. Hwang at (310) 794-3030 or via email at mhwang@ucla.edu.

For more information about the study, please contact Dr. Michael J. Hwang at (310) 794-3030 or via email at mhwang@ucla.edu.

Beer-Lambert Law

The Beer-Lambert law describes the relationship between the concentration of an absorber and the intensity of light passing through it.

Introduction

The Beer-Lambert law (also called the Beer-Lambert-Bouguer law or simply Beer's law) is the linear relationship between absorbance and concentration of an absorber of electromagnetic radiation. The general Beer-Lambert law is usually written as:

$$A = a_\lambda \times b \times c$$

where A is the measured absorbance, a_λ is a wavelength-dependent absorptivity coefficient, b is the path length, and c is the analyte concentration. When working in concentration units of molarity, the Beer-Lambert law is written as:

$$A = \epsilon_\lambda \times b \times c$$

where ϵ_λ is the wavelength-dependent molar absorptivity coefficient with units of $M^{-1} cm^{-1}$. The λ subscript is often dropped with the understanding that a value for ϵ is for a specific wavelength. If multiple species that absorb light at a given wavelength are present in a sample, the total absorbance at that wavelength is the sum due to all absorbers:

$$A = (\epsilon_1 \times b \times c_1) + (\epsilon_2 \times b \times c_2) + \dots$$

where the subscripts refer to the molar absorptivity and concentration of the different absorbing species that are present.

Theory

Experimental measurements are usually made in terms of transmittance (T), which is defined as:

$$T = \frac{P}{P_0}$$

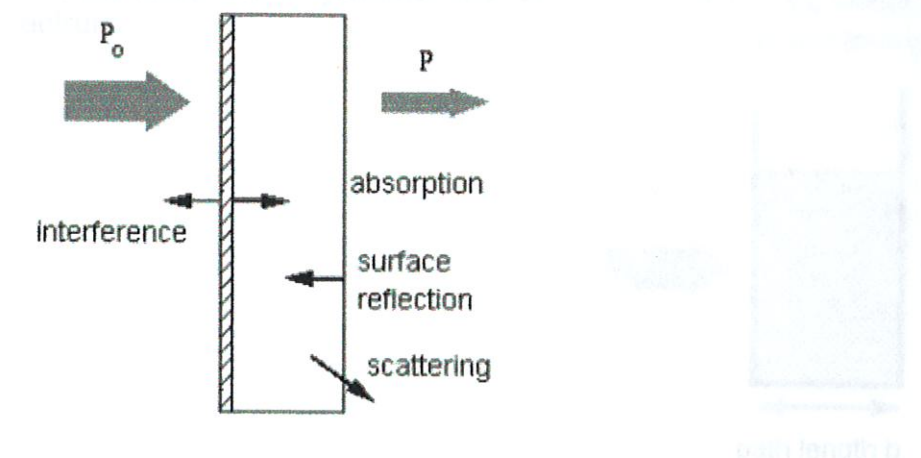
where P is the power of light after it passes through the sample and P_0 is the initial light power. The relation between A and T is:

and sample thickness d and molar absorptivity ϵ has concentration c and path length d

$$A = -\log(T) = -\log\left(\frac{P}{P_0}\right)$$

or $\epsilon \times d \times \rho = A$

The figure shows the case of absorption of light through an optical filter and includes other processes that decreases the transmittance such as surface reflectance and scattering.



In analytical applications we often want *Absorption of light by a sample* to measure the concentration of an analyte independent of the effects of reflection, solvent absorption, or other interferences. The figure to the right shows the two transmittance measurements that are necessary to use absorption to determine the concentration of an analyte in solution. The top diagram is for solvent only and the bottom is for an absorbing sample in the same solvent. In this example, P_s is the source light power that is incident on a sample, P is the measured light power after passing through the analyte, solvent, and sample holder,

$$\frac{P}{P_s} = T$$

optical path length, b , is the distance between the entrance and exit slits of the spectrometer. The measured transmittance, T , is given by the equation:

$$\left(\frac{P}{P_0}\right)_{\text{sample}} = T_{\text{sample}}$$

The reference holder is usually left to measure light to avoid interference from the sample holder. In addition, the sample cell is often placed with its maximum absorbance at the center of the monochromator slit.

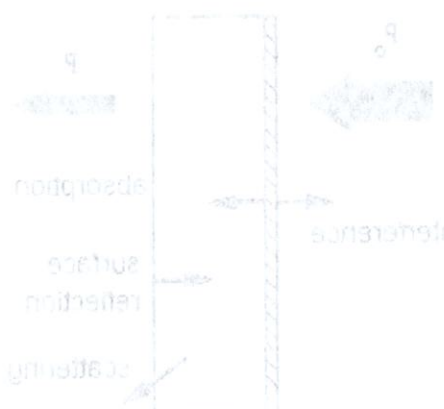
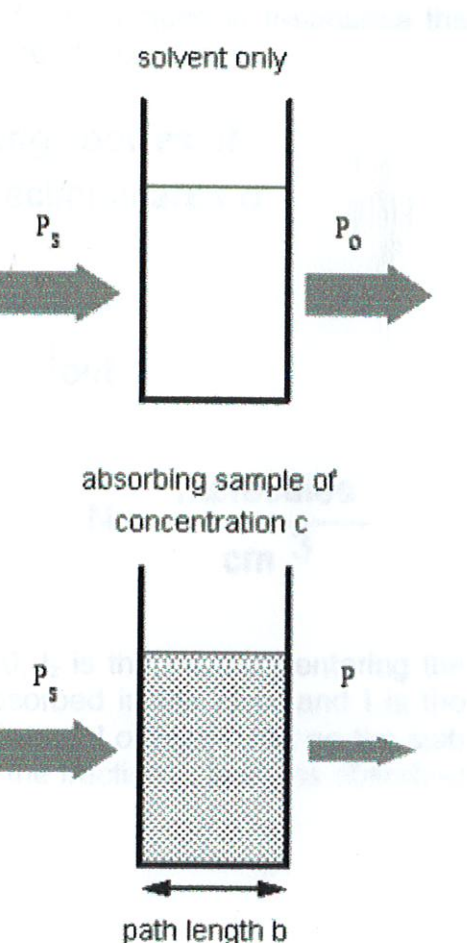


Figure 3 shows a schematic diagram of a double beam absorption instrument. It consists of two vertical columns. The top column contains a monochromator, lenses, and a detector. The bottom column contains a reference holder and a sample holder. Light from the monochromator passes through both holders before reaching the detector. The distance between the entrance and exit slits is labeled b .

and P_0 is the measured light power after passing through only the solvent and sample holder. The measured transmittance in this case is attributed to only the analyte.

Depending on the type of instrument, the reference measurement (top diagram) might be made simultaneously with the sample measurement (bottom diagram) or a reference measurement might be saved on computer to generate the full spectrum.



Modern absorption instruments can usually display the data as either transmittance, %transmittance, or absorbance. An unknown concentration of an analyte can be determined by measuring the amount of light that a sample absorbs and applying Beer's law. If the absorptivity coefficient is not known, the unknown concentration can be determined using a [working curve](#) of absorbance versus concentration derived from [standards](#).

Derivation of the Beer-Lambert law

The Beer-Lambert law can be derived from an approximation for the absorption coefficient for a molecule by approximating the molecule by an opaque disk whose cross-sectional area, σ , represents the effective area seen by a photon of frequency w . If the frequency of the light is far from



FAIRCHILD
SEMICONDUCTOR®

1N/FDLL 914/A/B / 916/A/B / 4148 / 4448



DO-35



LL-34

THE PLACEMENT OF THE EXPANSION GAP HAS NO RELATIONSHIP TO THE LOCATION OF THE CATHODE TERMINAL.

COLOR BAND MARKING		
DEVICE	1ST BAND	2ND BAND
FDLL914	BLACK	BROWN
FDLL914A	BLACK	GRAY
FDLL914B	BROWN	BLACK
FDLL916	BLACK	RED
FDLL916A	BLACK	WHITE
FDLL916B	BROWN	BROWN
FDLL4148	BLACK	BROWN
FDLL4448	BROWN	BLACK

Small Signal Diode

Absolute Maximum Ratings*

$T_A = 25^\circ\text{C}$ unless otherwise noted

Symbol	Parameter	Value	Units
V_{RRM}	Maximum Repetitive Reverse Voltage	100	V
$I_{F(AV)}$	Average Rectified Forward Current	200	mA
I_{FSM}	Non-repetitive Peak Forward Surge Current Pulse Width = 1.0 second Pulse Width = 1.0 microsecond	1.0 4.0	A
T_{sig}	Storage Temperature Range	-65 to +200	°C
T_J	Operating Junction Temperature	175	°C

*These ratings are limiting values above which the serviceability of any semiconductor device may be impaired.

NOTES:

1) These ratings are based on a maximum junction temperature of 200 degrees C.

2) These are steady state limits. The factory should be consulted on applications involving pulsed or low duty cycle operations.

Thermal Characteristics

Symbol	Characteristic	Max	Units
		1N/FDLL 914/A/B / 4148 / 4448	
P_D	Power Dissipation	500	mW
R_{BJA}	Thermal Resistance, Junction to Ambient	300	°C/W

Small Signal Diode (continued)

Electrical Characteristics $T_A = 25^\circ\text{C}$ unless otherwise noted

Symbol	Parameter	Test Conditions	Min	Max	Units
V_R	Breakdown Voltage	$I_R = 100 \mu\text{A}$ $I_R = 5.0 \mu\text{A}$	100		V
V_F	Forward Voltage	1N914B/4448 1N916B 1N914/916/4148 1N914A/916A 1N916B 1N914B/4448	620 630	720 730	mV
I_R	Reverse Current	$I_F = 5.0 \text{ mA}$ $I_F = 10 \text{ mA}$ $I_F = 20 \text{ mA}$ $I_F = 20 \text{ mA}$ $I_F = 100 \text{ mA}$	1.0	1.0	V
C_T	Total Capacitance	1N916A/B/4448 1N914A/B/4148	$V_R = 0, f = 1.0 \text{ MHz}$ $V_R = 0, f = 1.0 \text{ MHz}$	2.0 4.0	pF
t_{rr}	Reverse Recovery Time	$I_F = 10 \text{ mA}, V_R = 6.0 \text{ V} (60\text{mA}),$ $I_F = 1.0 \text{ mA}, R_L = 100\Omega$		4.0	ns

Typical Characteristics

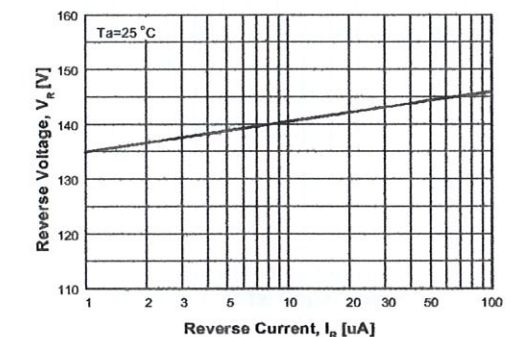
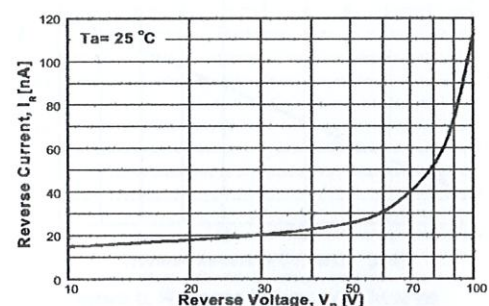


Figure 1. Reverse Voltage vs Reverse Current
BV - 1.0 to 100 μA



GENERAL RULE: The Reverse Current of a diode will approximately double for every ten (10) Degree C increase in Temperature
Figure 2. Reverse Current vs Reverse Voltage
IR - 10 to 100 V

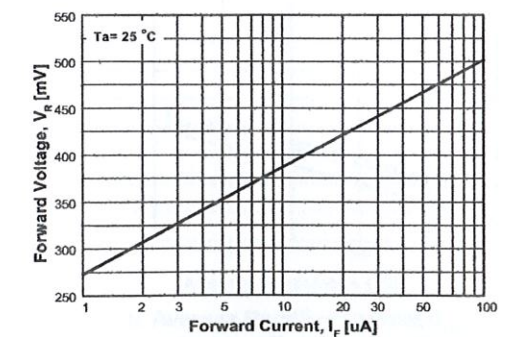


Figure 3. Forward Voltage vs Forward Current
VF - 1 to 100 μA

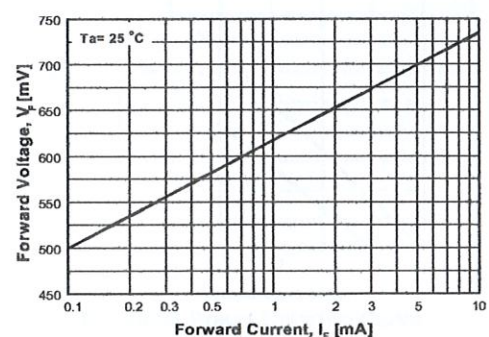


Figure 4. Forward Voltage vs Forward Current
VF - 0.1 to 10 mA

Small Signal Diode (continued)

Typical Characteristics (continued)

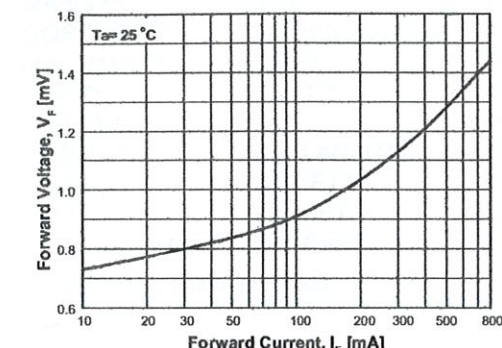


Figure 5. Forward Voltage vs Forward Current
VF - 10 to 800 mA

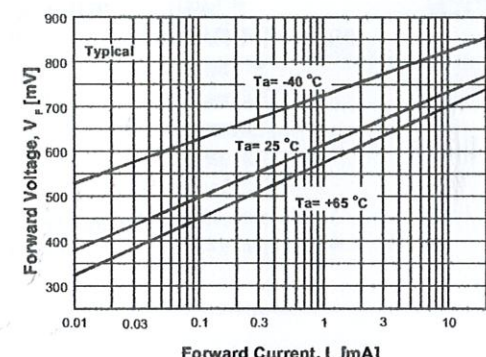


Figure 6. Forward Voltage
vs Ambient Temperature
VF - 0.01 - 20 mA (-40 to +65 Deg C)

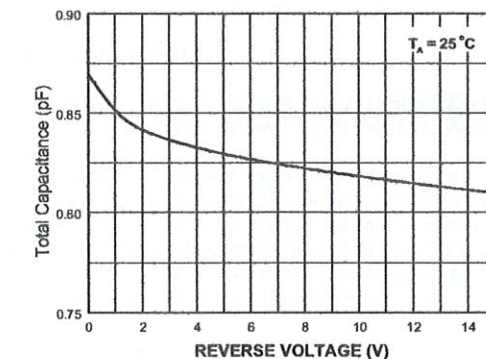


Figure 7. Total Capacitance

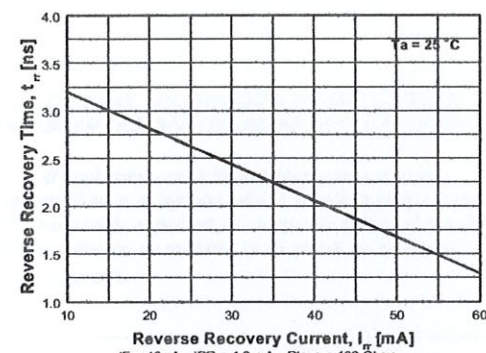


Figure 8. Reverse Recovery Time vs
Reverse Recovery Current

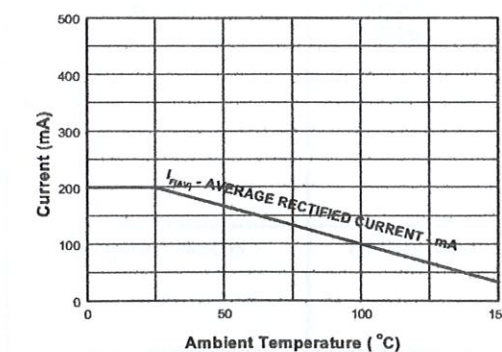


Figure 9. Average Rectified Current ($I_{F(AV)}$)
versus Ambient Temperature (T_A)

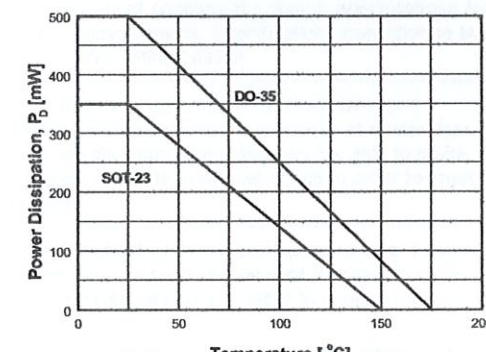


Figure 10. Power Derating Curve

TRADEMARKS

The following are registered and unregistered trademarks Fairchild Semiconductor owns or is authorized to use and is not intended to be an exhaustive list of all such trademarks.

ACEx™	FAST®	MICROWIRE™	SILENT SWITCHER® UHC™
Bottomless™	FASTR™	OPTOLOGIC®	SMART START™ UltraFET®
CoolFET™	FRFET™	OPTOPLANAR™	SPM™ VCX™
CROSSVOLT™	GlobalOptoisolator™	PACMAN™	STAR*POWER™
DenseTrench™	GTO™	POP™	Stealth™
DOME™	HiSeC™	Power247™	SuperSOT™-3
EcoSPARK™	I²C™	PowerTrench®	SuperSOT™-6
E²CMOS™	ISOPLANAR™	QFET™	SuperSOT™-8
EnSigna™	LittleFET™	QS™	SyncFET™
FACT™	MicroFET™	QT Optoelectronics™	TinyLogic™
FACT Quiet Series™	MicroPak™	Quiet Series™	TruTranslation™

STAR*POWER is used under license

DISCLAIMER

FAIRCHILD SEMICONDUCTOR RESERVES THE RIGHT TO MAKE CHANGES WITHOUT FURTHER NOTICE TO ANY PRODUCTS HEREIN TO IMPROVE RELIABILITY, FUNCTION OR DESIGN. FAIRCHILD DOES NOT ASSUME ANY LIABILITY ARISING OUT OF THE APPLICATION OR USE OF ANY PRODUCT OR CIRCUIT DESCRIBED HEREIN; NEITHER DOES IT CONVEY ANY LICENSE UNDER ITS PATENT RIGHTS, NOR THE RIGHTS OF OTHERS.

LIFE SUPPORT POLICY

FAIRCHILD'S PRODUCTS ARE NOT AUTHORIZED FOR USE AS CRITICAL COMPONENTS IN LIFE SUPPORT DEVICES OR SYSTEMS WITHOUT THE EXPRESS WRITTEN APPROVAL OF FAIRCHILD SEMICONDUCTOR CORPORATION. As used herein:

1. Life support devices or systems are devices or systems which, (a) are intended for surgical implant into the body, or (b) support or sustain life, or (c) whose failure to perform when properly used in accordance with instructions for use provided in the labeling, can be reasonably expected to result in significant injury to the user.
2. A critical component is any component of a life support device or system whose failure to perform can be reasonably expected to cause the failure of the life support device or system, or to affect its safety or effectiveness.

PRODUCT STATUS DEFINITIONS

Definition of Terms

Datasheet Identification	Product Status	Definition
Advance Information	Formative or In Design	This datasheet contains the design specifications for product development. Specifications may change in any manner without notice.
Preliminary	First Production	This datasheet contains preliminary data, and supplementary data will be published at a later date. Fairchild Semiconductor reserves the right to make changes at any time without notice in order to improve design.
No Identification Needed	Full Production	This datasheet contains final specifications. Fairchild Semiconductor reserves the right to make changes at any time without notice in order to improve design.
Obsolete	Not In Production	This datasheet contains specifications on a product that has been discontinued by Fairchild semiconductor. The datasheet is printed for reference information only.



Design · Purchasing · Quality · Company · Jobs

See A/D
Pro
[Products > Analog - Amplifiers > Operational Amplifiers > Low Power > LM324](#)

LM324 Product Folder

Low Power Quad Operational Amplifier

See Also: [LMV324 - lower voltage](#)

[LM358 - dual version](#)

[LM321 - single version in SOT-23](#)

Generic P/N 324

General Description	Features	Datasheet	Package & Models	Samples & Pricing	Design Tools	App !
---------------------	----------	-----------	------------------	-------------------	--------------	-------

Parametric Table

channels (Channels)	4
Input Output Type	Vcm to V-, Not R-R Out
Bandwidth, typ (MHz)	1
Slew Rate, typ (Volts/usec)	.50
Supply Current per Channel, typ (mA)	.18
Minimum Supply Voltage (Volt)	3

Parametric Table

Maximum Supply Voltage (Volt)
Offset Voltage, Max (mV)
Input Bias Current, Temp Max (nA)
Output Current, typ (mA)
Voltage Noise, typ (nV/Hz)
Shut down
Special Features

Datasheet

Title	Size in Kbytes	Date	View Online	PDF Download	Receive Email
LM124 LM224 LM324 LM2902 Low Power Quad Operational Amplifiers	466 Kbytes	29-Aug-00	View Online	Download	Receive Email
LM124 LM224 LM324 LM2902 Low Power Quad Operational Amplifiers (JAPANESE) ※サイトの日本語版データシートは最新版ではない場合があります。ご検討およびご採用にあたっては、最新の英語版データシートを必ずご確認下さい。	526 Kbytes		オンラインで見る	ダウンロード	Eメール

If you have trouble printing or viewing PDF file(s), see [Printing Problems](#).

Package Availability, Models, Samples & Pricing

Part Number	Package		Status	Models		Samples & Electronic Orders	Budgetary Pricing		Std Pack Size
	Type	# pins		SPICE	IBIS		Qty	\$US each	

<http://www.national.com/pf/LM/LM324.html>

8/1/2002

M324AM	<u>SOIC NARROW</u>	14	Full production	LM324.MOD	N/A	Buy Now	1K+	\$0.1200	rail of 55
M324M	<u>SOIC NARROW</u>	14	Full production	LM324.MOD	N/A	24hr Samples Buy Now	1K+	\$0.1000	rail of 55
M324AMX	<u>SOIC NARROW</u>	14	Full production	LM324.MOD	N/A	Buy Now	1K+	\$0.1200	reel of 2500
M324MX	<u>SOIC NARROW</u>	14	Full production	LM324.MOD	N/A	Buy Now	1K+	\$0.1000	reel of 2500
M324MT	<u>TSSOP</u>	14	Full production	LM324.MOD	N/A	Samples	1K+	\$0.2700	rail of 94
M324MTX	<u>TSSOP</u>	14	Full production	LM324.MOD	N/A		1K+	\$0.2700	reel of 2500
M324AN	<u>MDIP</u>	14	Full production	LM324.MOD	N/A	Buy Now	1K+	\$0.1500	rail of 25
M324N	<u>MDIP</u>	14	Full production	LM324.MOD	N/A	Buy Now	1K+	\$0.0880	rail of 25
M324J	<u>Cerdip</u>	14	Full production	LM324.MOD	N/A	Buy Now	1K+	\$0.8000	rail of 25
M324 MDA	<u>Die</u>		Full production	LM324.MOD	N/A	Samples			tray of N/A
M324 MWA	<u>Wafer</u>		Full production	LM324.MOD	N/A				wafer jar of N/A

General Description

The LM124 series consists of four independent, high gain, internally frequency compensated operational amplifiers which were designed specifically to operate from a single power supply over a wide range of voltages. Operation from split power supplies is also possible and the low power supply current drain is independent of the magnitude of the power supply voltage.

Application areas include transducer amplifiers, DC gain blocks and all the conventional op amp circuits now can be more easily implemented in single power supply systems. For example, the LM124 series can be directly operated off of the standard +5V power supply voltage which is used in digital systems and will easily provide the required interface electronics without requiring the additional $\pm 15V$ power supplies.

Features

You have trouble reading or viewing PDF file(s), see [Printing Problems](#).

- Internally frequency compensated for unity gain
- Large DC voltage gain 100 dB
- Wide bandwidth (unity gain) 1 MHz (temperature compensated)

<http://www.national.com/pf/LM/LM324.html>

8/1/2002

- Wide power supply range: Single supply 3V to 32V or dual supplies $\pm 1.5V$ to $\pm 16V$
- Very low supply current drain (700 μA)-essentially independent of supply voltage
- Low input biasing current 45 nA (temperature compensated)
- Low input offset voltage 2 mV and offset current: 5 nA
- Input common-mode voltage range includes ground
- Differential input voltage range equal to the power supply voltage
- Large output voltage swing 0V to $V^+ - 1.5V$

Design Tools

Title	Size in Kbytes	Date	 View Online	 Download	 Receive via Email
Amplifiers Selection Guide software for Windows	7 Kbytes	12-Jun-2002	View		

If you have trouble printing or viewing PDF file(s), see [Printing Problems](#).

Application Notes

Title	Size in Kbytes	Date	 View Online	 Download	 Receive via Email
AN-103: LM340 Series Three Terminal Positive Regulators	234 Kbytes	4-Nov-95	View Online	Download	Receive via Email
AN-116: Use the LM158/LM258/LM358 Dual, Single Supply Op Amp	101 Kbytes	4-Nov-95	View Online	Download	Receive via Email
AN-210: New Phase-Locked-Loops Have Advantages as Frequency to Voltage Converters (and more)	183 Kbytes	4-Nov-95	View Online	Download	Receive via Email
AN-274: CMOS A/D Converter Interfaces Easily with Many Microprocessors	99 Kbytes	4-Nov-95	View Online	Download	Receive via Email
AN-286: Applications of the LM392 Comparator Op Amp IC	135 Kbytes	4-Nov-95	View Online	Download	Receive via Email
AN-666: DTMF Generation with 3.58 MHz Crystal	761 Kbytes	5-Aug-95	View Online	Download	Receive via Email
AN-88: Application Note 88 CMOS Linear Applications	87 Kbytes	24-Feb-99	View Online	Download	Receive via Email
AN-C: V/F Converter ICs Handle Frequency-to-Voltage Needs	145 Kbytes	4-Nov-95	View Online	Download	Receive via Email
AN-D: Versatile Monolithic V/Fs Can Compute as Well as Convert with High Accuracy	169 Kbytes	4-Nov-95	View Online	Download	Receive via Email
LB-44: Get More Power Out of Dual or Quad Op-Amps	71 Kbytes	28-Jun-96	View Online	Download	Receive via Email

If you have trouble printing or viewing PDF file(s), see [Printing Problems](#).

[Information as of 1-Aug-2002]

[Search](#) [Design](#) [Purchasing](#) [Quality](#) [Company](#)
[About Languages](#) . [Website Guide](#) . [About "Cookies"](#) . National is [QS 9000 Certified](#) . [Privacy/Security Statement](#) . [Contact Us](#)
[Site Terms & Conditions of Use](#) . Copyright 2002 © National Semiconductor Corporation . [My Preferences](#) . [Feedback](#)

Search

Design

Purchasing

Quality

Company

